

Ing. Dumitru Miron

**ACTIONAREA ELECTRICA A TRAMVAIELOR  
folosind scheme cu tiristoare**

BIBLIOTECA CENTRALĂ  
UNIVERSITATEA "POLITEHNICA"  
TIMIȘOARA

Teza de doctorat în  
vederea obținerii titlului  
științific de doctor inginer

Conducător științific,  
Prof. Dr. ing. E. Seracinc

Timișoara - 1977

INSTITUTUL POLITEHNIC TIMIȘOARA	
B	A
Caiet 554964	
Volumul Ier.	
Dulap 332-14. ff	

## C U P R I N S

	<u>Pag.</u>
Cap.1. Introducere	1-12
Cap.2. Studiul sistemelor de acționare electrică a tramvaielor folosind schemele cu tiristoare	12-19
2.1. Necesitatea preocuparilor în acest demeniu.	12-13
2.2. Scheme cu tiristoare ale mutatoarelor utilizate la alimentarea motoarelor electrice de acționare a vehiculelor destinate transportului în comun urban	13-19
Cap.3 Variatorul de tensiune continuă și principalele lui utilizari aplicabile schemelor de acționare cu motoare de curent continuu cu excitare serie.	19-49
3.1. Comutatia forțată cu acumulator de energie capacitive.	19-23
3.2. Scheme de bază ale variatoarelor de tensiune continuă utilizate în acționările electrice de mare putere.	23-31
3.3. Comanda variatoarelor	32-34
3.4. Utilizarea variatorului de tensiune continuă în schemele de acționare cu motoare de curent continuu cu excitare serie	34-39
3.4.1. Variația continuă a tensiunii la bornele motorului	35-37
3.4.2. Variația prin impulsuri a rezistenței	36-37
3.4.3. Variația prin impulsuri a inductanței	37-39
3.5. Influența frecvenței de lucru a variatorului	39-48
3.5.1. Influența frecvenței asupra variatorului	39-40
3.5.2. Influența frecvenței asupra sarcinii	40-41
3.5.3. Influența frecvenței asupra sursei de alimentare	41-44
3.5.4. Influența frecvenței asupra instalațiilor de telecomunicări și de semnalizare	44-48
3.6. Condiții pentru asigurarea continuității funcționării schemelor cu variatoare	48-49

...//...

<b>Cap.4.</b>	Variatorul de tensiune continuă la schemele de pornire, modificarea turării și frânarea electrică a motoarelor de curent continuu cu excitație serie utilizate în tracțiunea electrică urbană	49-82
4.1.	Utilizarea varistorului pentru pornirea motorului de tracțiune	49-56
4.2.	Variatorul de tensiune continuă în schemele de modificare a turării motorului de tracțiune	56-64
4.3.	Utilizarea varistorului în schemele de frânare electrică	64-82
4.3.1.	Frânarea reostatică	64-74
4.3.2.	Frânarea electrică cu recuperare de energie	75-82
<b>Cap.5.</b>	Prezentarea unor scheme cu varistor de tensiune continuă utilizate în tracțiuni electrică urbană	83-90
<b>Cap.6.</b>	Studiu teoretic și experimental al unei scheme cu varistor de tensiune continuă pentru acționarea electrică a tramvaiului la noi în țară.	90-117
<b>Cap.7.</b>	Implicațiile tehnico-economice ale folosirii varistorului de tensiune continuă în schemele de acționare electrică a tramvaielor	117-125
<b>Cap.8.</b>	Rezultate obținute	126-139
<b>Concluzii</b>		140-142
<b>Anexe</b>		143-145
<b>Tabele</b>		146-152
<b>Bibliografie</b>		153-165

## CAP. I<sup>a</sup> INTRODUCERE

Introducerea tramvaiului acționat electric în transportul urban în comun a constituit un important pas în rezolvarea multor probleme tehnice referitoare la acțiunile electrice de mare putere. Experiența de aproape un secol în exploatarea acestui mijloc de transport care poate fi întîlnit în toate marile orașe ale lumii nu a făcut decât să confirme căderea în plus utilitatea tramvaiului în rezolvarea necesităților legate de transportul urban în comun. Avantajele de necontestat ale tramvaiului : capacitate mare de transport, siguranță în funcționare conducere ușoară, ușurință întreținerii, economicitatea transportului, au constituit argumentele principale prin care s-a combatut tendința semnalată cu cîțiva ani în urma de a se renunța la acest mijloc de transport în comun invocîndu-se nivelul ridicat al poluării sonore și au justificat intensificarea cercetărilor pentru realizarea de tramviale silențioase și cu capacitate de transport mare.

A fost generalizat și a devenit clasic sistemul de acționare cu motoare electrice de curent continuu cu excitare serie alimentată de la linia de contact de curent continuu, calea de rulare constituind conductorul de întoarcere a curentului electric.

Studiile întreprinse și realizările practice din diferite țări privind folosirea altor soluții de alimentare a motoarelor de acționare (rețea de curent alternativ monofazat sau trifazat), ca și folosirea altor tipuri de motoare electrice (motorul serie cu colector de curent undulat, motorul serie cu colector de curent alternativ, motorul asincron trifazat și mai recent motorul liniar) nu au putut conduce la argumente care sub aspectul tehnic și economic să justifice renunțarea la sistemul clasic [18]

Firme de renume din întreaga lume se preocupă intens pentru perfecționarea schemelor de comandă și acționare a tramvaiului care au condus la îmbunătățirea caracteristicilor de pornire, modificarea vitezei de mers și de frânare [28] .

...//...

Perfecționările aduse schemelor clasice de acționare a tramvaielor nu au putut elmina unele dezavantaje generate de aceste scheme și anume: variația în salturi a curentului motoarelor în perioadele de pornire, modificarea turăției și frânare cu repercușiuni negative asupra forței de tracțiune și a aderenței, tendința de patinaj determinată de conectarea în serie a motoarelor și a rezistențelor, consumul de energie electrică în rezistențe, trecerea de la o conexiune la alta necesită manevre care complice schema, numărul mare de contacte mecanice care constituie puncte slabe ale schemei de acționare.

Aceste considerente m-au determinat ca în cadrul tezei de doctorat să studiez posibilitatea folosirii schemelor cu tiristeare la acționarea electrică a tramvaiului și problemele ce se vor rezolva în aceasta situație.

În prezent toate firmele specializate în construcția de echipamente pentru tracțiune electrică urbană s-au sprijit la soluția de a îmbunatați sistemul actual prin folosirea variatorului de tensiune continuă pentru pornire, modificarea vitezei de mers și frânare în locul reostatului.

Primele vehicule de transport urban alimentate de la linia de curent continuu și acționate de motoare de curent continuu au intrat în exploatare în 1967 la Chicago și San Francisco [95].

Preocupări intense și realizări remarcabile au înregistrat și firmele AEG și ACEC iar în fază avansată de experimentații se găsesc RSC și URSS [33 35 41 58].

Si în vîrba noastră cercetările în acest domeniu au fost demarate în anul 1966 de către un colectiv de specialiști de la ICPE-București, care a și realizat prototipurile echipamentului de acționare cu variator de tensiune continuă pentru troleibuz și pentru tramvai.

Aceste scheme sunt prezentate în cap.5 din teză.

Diferențele între diferitele sisteme adoptate de firmele constructori sunt neesențiale din punct de vedere principal fiecare firmă cautând o simplificare cât mai multă a schemei de acționare sau a schemei variatorului paralel cu obținerea unor performanțe, tehnico-economice superioare.

Se remarcă totuși schema realizată de firma ACEC (fig.42) care permite prin manevre simple atât pornirea și modificarea vitezei de mers cît și frânarea mixtă a vehiculului.

În cadrul lucrării am studiat și posibilitatea utilizării redresoarelor comandate și a invertoarelor în acționarea electrică a tramvaiului dar am ajuns la concluzia că aceste scheme nu se justifică nici chiar în cazul era-selor în care urmează să se introducă tramvaiul pentru transportul în comun.

În aceasta situație am realizat și propus spre brevetare o schema de acționare electrică a tramvaiului folosind variatorul de tensiune continuă (fig.5a) [66]

Comparativ cu schemele utilizate de alți autori aceasta schema este mai simplă, conține un număr mai redus de contacte și de elemente semiconductoare și are o fiabilitate mai mare datorită faptului că fiecare variator poate alimenta singur cele două motoare de tracțiune. În funcționare normală variotoarele sunt comandate de către decesalat astfel că elementele filtrului de rețea se dimensionează pentru o frecvență dublă față de frecvență de lucru a variatorului.

Indiferent de schema realizată, folosirea variatorului de tensiune continuă în schemele de acționare electrică a tramvaiului prezintă următoarele avantaje : [35]

- ameliorarea condițiilor de tracțiune prin eliminarea pulsăriilor forțării de tracțiune și folosirea deplină a aderenței;
- realizarea frânării electrice cu recuperare de energie cu mai multă ușurință, fără a complica schema de acționare;
- reducerea securilor de curent la pornire;
- alimentarea individuală a motoarelor nu pune nici o problemă;
- întreținere mai ușoară și mai puțin costisitoare datorită reducerii numărului de contacte mecanice;
- se pot obține vehicule pentru mai multe sisteme de curent;
- se poate introduce mai ușor automatizarea;

- se obțin economii importante de energie electrică.

În capitolul 2 am facut un studiu asupra sistemelor de acțiune electrică a tramvaielor folosind scheme cu tiristore enumerind mai întâi schemele ce pot fi aplicate în rezolvarea acestei probleme ținând seama de motorului de acțiune și de sistemul de alimentare cu energie electrică. Deoarece multe probleme tehnico-economice privind sistemul de alimentare au fost rezolvate stabilindu-se ca fiind cele mai indicate sisteme de alimentare în currenț continuu și sistemul de alimentare în currenț alternativ monofazat [ 18 ]. Am studiat variantele de mutare posibile de utilizat în această situație evidențierind avantajele și dezavantajele fiecaruia în parte. Din aceasta analiza critică a rezultat că este indicată folosirea variatorului de tensiune continuă (Chapper) păstrîndu-se sistemul de alimentare în currenț continuu și motorul de currenț continuu cu excitație serie.

În capitolul 3 am prezentat principiul de funcționare a variatorului de tensiune continuă și sînt analizate schemele mai semnificative propuse de diversi autori [ 18, 60, 35 ]. În continuare este tratată problema comenzi variatorelor evidențierindu-se avantajele și dezavantajele fiecărei metode folosite și se prezintă principalele utilizări ale variatorului în schemele de acțiune cu măsurare de currenț continuu cu excitație serie (variația continuă a tensiunii, variația continuă a valorii rezistenței, respectiv inductanței). Se evidențiază influența frecvenței de lucru a variatorului asupra sarcinii (asupra motorului) asupra sursei de alimentare și asupra instalațiilor de telecomunicații și de semnalizare și căile de diminuare a acestei influențe [ 5 13, 40 51 ].

În capitolul 4 am analizat folosirea variatorului de tensiune continuă în schemele de pornire, modificarea turaciei și frânarea electrică a măsurelor de currenț continuu cu excitație serie utilizate în tracțiunea electrică urbană.

Contribuția mea personală în tratarea acestor probleme constă în următoarele :

- am stabilit relațiile pe baza cărora se pot determina limitele de variație ale curentului prin motor în diferite regimuri de funcționare și valorile medii ale acestor curenți în funcție de parametrii circuitului și de durată relativă de conectare.

- am analizat din punct de vedere tehnico-economic poziția rezistenței de limitare a curentului de frânare electrică recuperativa (fig.37) și am stabilit curbele din fig.38 pe baza cărora se poate stabili poziția acestei rezistențe în funcție de  $\delta$  și de parametrii circuitului de frânare.

- am făcut o analiză critică a schemelor cu variator de tensiune continuă ce pot fi folosite la pornirea, modificarea turării și frânarea electrică a motoarelor de curent continuu cu excitația serie evidențiind avantajele și dezavantajele uneia față de celalată cît și față de schemele clasice. Se evidențiază faptul că folosirea variatorului în schemele de frânare electrică este deosebit de indicată. Schemele de frânare dinamică cu variator pot fi folosite pînă la reducerea vitezei vehiculului la valori foarte mici (sub 5 km/h).

Deasemenei, frânarea electrică recuperativă se poate realiza și la turării mici ale motorului condiția  $E > U$  realizîndu-se ca urmare a tensiunii electromotoare induse în inductanțele circuitului datorită variațiilor foarte rapide ale curentului prin motor cu frecvență egală cu frecvența de lucru a variatorului [67].

In capitolul 5 am prezentat unele scheme de acționare a mijloacelor de transport în comun urban folosind variatorul de tensiune continuă. Este prezentată schema tramvaiului folosită de firma ACEC (fig. 42<sub>a</sub>) schema troleibuzului Skoda 9 Tr-T (fig.43), schema tramvaiului tip T și KT realizată de RSC (fig.44), două scheme realizate de firma Siemens (fig.47,48) precum și schema tramvaiului Timis 1 realizată de ICPE București (fig.49).

In capitolul 6 am studiat o schema conceputa de mine si propuse pentru brevetare (dosar OSIM nr.8168/18.III.1975) pentru acionarea electrica a tramvaiului la noi in vîsa (fig.50).

Cele doua motoare de tracțiune  $M_1, M_2$ , conectate in paralel sunt alimentate de la linia de contact prin doua varistori de tensiune continua  $V_1, V_2$  functionind in regim de comanda decalata.

La functionarea in regim de tracțiune varistorile sunt conectate in serie cu motoarele de tracțiune asigurindu-se o variație continuă a tensiunii de alimentare a acestora de la 30 V la 750 V prin modificarea corespunzatoare a duratei de conducție a tiristoarelor principale ale varistorilor.

La functionarea in regim de frinare motoarele funcționează in regim de generator serie autoexcitat cu preexcitare de la baterie, cu infașurările de excitație încrucișate. Frinarea este mixta, cind tensiunea liniei de contact este mai mică decât tensiunea la bornele motoarelor se realizează frinarea electrică recuperativă.

Cind tensiunea liniei de contact depășește valoarea nominală, se realizează frinarea reostatică, energia electrică furnizată de motoarele de tracțiune funcționând in regim de generator serie autoexcitat se disipa in rezistențele de frinare  $R_{1f}, R_{2f}$  in circuitul carora sunt inserate tiristoarele de frinare  $T_{31}, T_{32}$  care sunt stinse tot de catre circuitul de stingere.

In functionarea in regim de frinare varistorile se conectează in paralel cu indusurile motoarelor de tracțiune iar menținerea curentului de frinare la valoarea impusa este asigurată prin modificarea continua a raportului ciclic.

...//..,

Față de schemele cu tiristoare utilizate pînă în prezent la acționarea electrică a tramvaiului schema prezentată se caracterizează prin următoarele :

1. Varistorul de tensiune continuă (fig.51) este o variantă a varistorului utilizat de firma ACEC la care s-a adus îmbunătățiri în sensul că s-a introdus tiristorul  $T_4$ , prin care se comandă încărcarea condensatorului de stingeră. În felul acesta prin tiristorul principal trece numai curentul motorului de tracțiune și se evită solicitările suplimentare a acestuia de către curentul de încărcare a condensatorului.

2. Cele două inductanțe de nețezire  $L_{s1}$ ,  $L_{s2}$  sunt cuplate electromagnetic rezultând valori mai mici pentru aceste inductante.

3. Fiecare varistor de tensiune continuă funcționează cu frecvența fixă de 200 Hz tensiunea de alimentare a motoarelor fiind modificată prin comanda lajimii impulsurilor, Varistorele fiind comandate decalat cu o semiperioadă, frecvența ondulațiilor curentului absorbit din rețea de alimentare și a ondulațiilor tensiunii la bornele condensatorului de intrare va fi 400 Hz.

Acest lucru influențează favorabil valoarea ondulațiilor mărimilor menționate care este invers proporțională cu frecvența și conduce la valori mai mici ale inductanței și capacitatii filtrului de intrare.

4. Schema conține un numar mai mic de contacte mecanice și de elemente semiconductoare.

5. În regim de frânare motoarele funcționează în regim de generator serie autoexcitat cu înfășurările de excitație încrucișate menținindu-se sensul curentului în înfășurările de excitație.

Schemele utilizate la noi în țară pentru acționarea tramvaiului și troleibuzului să caracterizeze prin faptul că motoarele funcționează în regim de generator cu excitație separată care prezintă două dezavantaje importante și anume: un consum mai mare de energie electrică și ineficiența frânării electrice la întârterea tensiunii liniei de contact.

La aceste scheme este necesar să se controleze separat curentul în infașurarea de excitație.

6. Comparativ cu schemele utilizate pînă în prezent această schema are o fiabilitate mai ridicată datorită faptului că se realizează o schema structurală tip paralel, fiecare varistor fiind dimensionat pentru a putea să alimenteze singur ambele motoare de tracțiune.

Schemă a fost concepută și dimensionată pentru a funcționa cu următoarele caracteristici :

- tensiunea nominală 750 V
- puterea nominală unicorară  $2 \times 150$ , kW
- curentul unicorar  $2 \times 225$  A
- curentul maxim de pornire  $2 \times 350$  A
- frecvența de lucru a varistorului 200 Hz

Am dimensionat principalele elemente ale schemei (circuitul de stingere a tiristorului principal, filtrul de inițiere, inductanțele de netezire și de limitare a valorilor  $\frac{di}{dt}$ ) și în funcție de valorile calculate ale curentilor prin circuit am ales din cataloge elementele se ionductoare.

Prin schema bloc din fig.53 am evidențiat legăturile funcționale ce trebuie stabilite între elementele de bază ale schemei de comandă și cele ale schemei de acționare iar cu ajutorul standului prezentat schematic în fig.54 am determinat caracteristicile mecanice ale motorului pentru diferite valori ale raportului ciclic și am studiat comportarea motorului de tracțiune alimentat prin varistor (anexa 2).

Cu ocazia încercărilor a rezultat faptul că la frecvențe de lucru ale varistorului mai mari de 200 Hz reacția de scăpare a motorului provoacă o amortizare sensibilă a curentului astfel că se poate renunța la inductanță de netezire exterioară. Curentul prin motor este suficient de bine filtrat și influența armonnicilor curentului asupra încalzirii bobinajului nu este sensibilă. Influența armonnicilor curentului asupra comutării motorului a fost evidentiată urmărindu-se uzura periilor și a colectorului. S-a constatat că uzura periilor și a colectorului este practic

aceeași ca și în cazul alimentării motorului în curent continuu.

Faptul că în timpul pornirii curentul prin motor are o valoare constantă influențează pozitiv funcționarea colectorului. Un mare avantaj al utilizării varistorului asupra comutării este acela că motorului i se aplică întreaga tensiune a liniei de contact lumai în plină sarcină și în aceste condiții el funcționează ca un motor de curent continuu.

Din punct de vedere al fenomenelor tranzitorii provocate de intreruperile intempestive ale tensiunii de alimentare s-a constatat că în cazul alimentării prin varistor, scutul de curent la reparația tensiunii este eliminat.

La repartitia tensiunii, la bornele motorului tensiunea se aplică progresiv astfel că curentul crește exponențial pînă la valoarea de regim.

In cazul schemelor clasice tensiunis la bornele motorului se aplică dintr-o dată iar curentul prin motor crește brusc la o valoare egală cu de două-trei ori curentul de regim și apoi se stabilizează la această valoare (fig.55)

Motorul alimentat prin varistor este deci protejat contra suprăcurrentilor provocăți de fenomenele tranzitorii. Cît privesc impulsurile de tensiune suplimentare, s-a constatat că acestea nu depășesc nivelul de izolare la care se încearcă în mod normal motorul.

Alimentarea motorrelor de tracțiune prin varistor de tensiune continuă are o influență favorabilă și asupra liniei de contact. Pentru aceeași condiție de pornire, curentul absorbit din linie de contact este mai mic în cazul alimentării prin varistor comparativ cu cazul folosirii schemei clasice de pornire cu reostat.

Din punct de vedere al caracteristicilor de tracțiune se remarcă două avantaje importante și anume : regulajul continuu și forței de tracțiune în întreg domeniul:  $F$ ,  $V$  și obținerea unor caracteristici  $F = f(V)$  mai inclinate care conduc la valori mai mari  $\Delta F / \Delta V$ , mai ales în domeniul vitezelor mici (fig.56).

Comportarea motorului de curent continuu în cazul alimentării prin varistor de tensiune continuă comparativ

cu alimentarea directă de la rețeaua de curent continuu este ilustrată în tabelul anexa 2.

Valorile au fost măsurate în condiții de funcționare normală la sarcină nominală și tensiunea maximă la ieșire din variator respectiv la tensiunea nominală de 750 V.

Cu această ocazie au fost evidențiate și performanțele variatorului (tabelul anexa 1).

Din datele prezentate se constată că alimentarea motorului de curent continuu prin variator influențează foarte puțin parametrii funcționali și acestuia ca și încalzirile diferitelor lui elemente.

Supratensiunile ce apar la bornele variatorului datorită intreruperii curentului nu depășesc valorile tensiunii la care se facearcă în mod obisnuit izolația echipamentului de tracțiune.

Schemă analizată a fost înaintată prin OSIM Întreprinderii de Transporturi București în vederea utilizării sale la secționare electrică a tramvaiului de mare capacitate. Menționez desemnează că schema poate fi utilizată și la secționarea automaterului pentru metroul din București.

În capitolul 7 am analizat critic implicațiile tehnico-economice ale folosirii variatorului de tensiune continuă în schemele de secționare electrică a tramvaiului evidențierind că efecte pozitive:

- caracteristica efort-viteză mai înclinată;
- reglajul continuu al efortului de tracțiune în tot domeniul ( $F, V$ ) ;
- eliminarea șocurilor de curent la revenirea tensiunii după intrerupere intempestivă de scurtă durată;
- absorbirea unui curent mai mic din rețeaua de alimentare stătăt în timpul pornirii cît și în funcționare;
- posibilitatea folosirii frânării electrice pînă la oprirea vehiculului;
- posibilitatea folosirii frânării electrice recuperative fără a complica schema;
- reducerea consumului de energie electrică.

Am determinat relațiile care exprimă îmbunătățirea caracteristicilor de tracțiune, îmbunătățirea condițiilor de pronire și de funcționare din punct de vedere al curentului absorbit, reducerea consumului de energie electrică.

Am evidențiat deosemeni că în condițiile actuale fiabilitatea schemelor cu varistor de tensiune continuă este mai scăzută comparativ cu a schemelor clasice. Deosemeni costul echipamentului de acționare cu varistor este cu 5% mai mare.

În capitolul 8 am prezentat pe larg principalele direcții în care au fost orientate cercetările pe care le-am efectuat asupra echipamentelor din componente schemelor de acționare cu varistor de tensiune, concluziile și rezultatele experimentale obținute.

Încercările pe care le-am efectuat asupra echipamentului instalat pe troleibuz și pe tramvai împreună cu colectivul de elaborare au condus la urmatoarele rezultate : economie de energie electrică de 35 %, accelerării la pornire mai mari cu 1%, pornirea fără securi, curentul luat de la linia de contact în primul moment al pornirii mult mai mic (10 A față de 220 A).

Echipamentul cu tiristoare funcționează corect într-o gamă largă de temperaturi (-35°C ÷ + 65°C) și nu este influențat de vibrații și zdruncinături ca accelerări pîna la 3 g.

În elaborarea lucrării am studiat un bogat material documentar prezentat împarte finală a acesteia, material deosebit de util pentru cei care lucrează în domeniul proiectării și realizării instalațiilor electrice pentru tracțiune. Consider că o contribuție importantă și faptul că lucrarea, prin însuși structura și reprezinta o sinteză a principalelor probleme ce se pun la elaborarea unui sistem de acționare electrică a tramvaiului folosind scheme cu tiristoare.

...//..:

CAP.2 - STUDIUL SISTEMELOR DE ACTIONARE ELECTRICA  
▲ TRAMVAIEILOR FOLOSIND SCHEME CU TIRISTOARE

2.1. Necesitatea preoccuparilor în acest domeniu.

Printre mijloacele de transport în comun urban utilizate în marile orașe, tramvaiul ocupă un loc de frunte datorită avantajelor pe care le prezintă comparativ cu alte mijloace de transport.

Cele principale avantaje ale tramvaierilor pot fi menționate: capacitatea de transport mare, siguranța mare în funcționare, conducerea ușoara, ușurința întreținerii, economicitatea transportului etc.

Pe baza avantajelor menționate s-a putut fi combatută tendința semnalată cu cîțiva ani în urma de a se renunța în viitor la acest mijloc de transport în comun datorită poluării sonore pe care o provoacă și blecării circulației pe un anumit tronson de linie în cazul defectării unui vehicul, trecându-se la intensificarea cercetărilor pentru realizarea de tramvaie silențioase și cu capacitate de transport mare.

În mai multe țări din lume s-au facut pași importanți pe linia perfecționării parametrilor tehnico-funcționalei și tramvaierilor realizându-se tramvaie articulate, de mare capacitate, silențioase, cu caracteristici de pornire modificare a vitezei de mers și de frânare îmbunătățite [28, 42].

Perfecționările aduse schemelor clasice de acționare a tramvaierilor nu au putut elmina următoarele dezavantaje:

- variația în salturi a curentului motoarelor în perioadele de pornire, modificare a vitezei și frânare cu repercurșiuni negative asupra forței de tracțiune;

- cuplarea în serie a motoarelor și a rezistențelor accelerării și tendința de patinaj;

- în rezistență se consumă o cantitate importantă de energie electrică;

- trecerea de la o conexiune la alta necesita manevre care complica scheme de actionare;

- rezistențele nu pot fi menținute mult timp sub tensiune ceea ce limiteaza posibilitatile de comandă a tensiunii motoarelor și a vitezei vehiculului;

- numărul ridicat de contacte mecanice care constituie puncte slabe ale schemei de actionare;

Înlăturarea acestor dezavantaje s-a putut realiza numai prin introducerea electronicii de putere în schemele de acționare electrice a mijloacelor de transport în general având drept consecințe :

- ameliorarea condițiilor de tracțiune prin reducerea pulsăriilor cuplului motor grație reglajului continuu al acestuia în funcție de limita de aderență;

- frânarea cu recuperare a energiei se poate realiza cu mai multă ușurință;

- diminuarea costului întreținerii datorită absenței unui numar important de contacte mecanice;

- se pot obține vehicule pentru mai multe sisteme de curent;

- alimentarea individuală a motoarelor nu pune nici o problemă;

- se poate introduce mai ușor automatizarea transportului;

## 2.2. Scheme cu tiristoare ale motoarelor utilizate la alimentarea motoarelor electrice de acționare a vehiculelor destinate transportului în comun urban.

Motorul electric utilizat la acționarea mijloacelor de transport în general trebuie să îndeplinească o serie de condiții și sume [18] • mare capacitatea de suprasarcină, să dezvolte un cuplu mare la pornire fară ca acesta să fie influențat esențial de variațiile tensiunii la linia de contact, să permită frânarea electrică și să poată fi folosit cât mai mult la puterea pentru care a fost construit, să fie robust din punct de vedere mecanic fară a depăși gebaritul impus de consideranțele tehnice și economice.

Din acest punct de vedere în tracțiunile electrice pot fi folosite motoarele de curenț continuu cu excitație serie (în special la mijloacele de transport în comun urban), motorul monofazat serie cu colector de curenț alternativ, motorul serie cu colector de curenț ondulat, motorul esincron trifazat cu rotorul în scurtcircuit, motorul esincron trifazat cu rotorul bobinat, motorul liniar.

Motorul de curenț continuu cu excitație serie s-a dovedit ca îndeplinește în cel mai înalt grad cerințele ce se impun motoarelor de tracțiune: stabilitate electrică și mecanică, distribuție uniformă a sarcinii între motoarele de tracțiune de pe aceeași unitate motosare, influența redusă a variației tensiunii de la linia de centrat asupra curentului absorbit de motoare și deci asupra forței de tracțiune, utilizarea căt mai bună a aderenței, buna comportare în exploatare.

Motorul serie cu colector de curenț ondulat se apropie căt mai mult din punct de vedere al satisfacerii cerințelor impuse în tracțiunile electrice de motorul de curenț continuu cu excitație serie.

Motorul serie cu colector de curenț alternativ deși din punct de vedere al caracteristicii mecanice se apropie destul de mult de motorul de curenț continuu cu excitație serie, are unele dezavantaje care îl fac să fie trecut pe un plan secundar. Întrucât acestea menționăm problemele legate de comutare, puterea pe pol mult mai redusă decât la motoarele de tracțiune de curenț continuu.

Motorul trifazat, cu toate că prezintă unele avantaje remarcabile (are o construcție simplă, este rezistent, are rendament ridicat și nu are colector) nu și-a găsit utilizarea pe scară largă în tracțiunile electrice din mai multe motive cele mai importante fiind legate de sistemul de alimentare, rigiditatea caracteristicii mecanice, funcționarea pe perioade instabile a caracteristicii mecanice în perioadele permisii, variația cuplului în funcție de tensiunile de alimentare. Deoarece poate fi utilizat în tracțiunile electrice urbane, chiar în condițiile liniei de contact de curenț alternativ monofazat sunt necesare scheme complicate de reglare ale căror costuri nu sunt deloc de neglijat.

Motorul asincron liniar prezintă multiple avantaje față de toate motoarele electrice rotative destinate acestui scop,. Dintre acestea menționăm pe cele mai importante :

- simplitatea și robustețea construcției
- întreținerea extrem de ușoara
- puterea specifică mai mare
- frânarea sigură și eficace

Montat pe vehicul, motorul liniar conferă acestuia o serie de avantaje:

- posibilitatea de a dezvolta eforturi de tracțiune și de frânare mari și independențe de aderență;
- realizarea unor viteze mari cu consum de energie redus datorită reducerii rezistențelor de deplasare;
- silentiozitate.

Pînă în prezent utilizarea motorului liniar în tracțiunea electrică se află în fază experimentală în unele țari și se preconizează extinderea lui pentru acționarea mijloacelor de transport.

Utilizarea lui pentru acționarea mijloacelor de transport în comun urgență implică rezolvarea unor probleme deosebit de complicate care în etapa actuală nu se justifică.

Pentru motivele menționate am considerat că nu este necesară prezentarea în cadrul lucrării a schemelor de mutație cu tiristoare care pot fi folosite la alimentarea motoarelor de curent alternativ monofazat cu colector, a motoarelor asincrone și a celor liniare.

Din considerente tehnice și economice, mai ales în cazul transportului în comun urban alimentarea motoarelor de tracțiune se face prin linie de contact în curent continuu sau cu curent alternativ monofazat.

Tinînd seama de aceasta, mutațioarele statice cu tiristoare destinate tracțiunii electrice pot fi : [ 61 ]

- redresoare comandate care transformă curentul alternativ de tensiune și frecvență constantă în curent continuu de tensiune reglabilă;
- invertoare - care transformă curentul continuu în curent alternativ de frecvență constantă și tensiune variabilă.

- convertoarele statice care transformă curentul alternativ cu o anumită tensiune, o anumită frecvență, în curent alternativ cu alte valori ale acestor marimi;

- varistoarele de tensiune continuă care transformă un curent continuu de tensiune constantă într-un curent continuu de tensiune variabilă.

Privind tracțiunile electrice urbane rezultă următoarele:

- redresorul comandat se folosește la vehicule electrice alimentate din linie de contact în curent alternativ monofazat acționate cu motoare serie de curent continuu, sau cu motoare serie cu colector de curent ondulat (fig.1)[a].

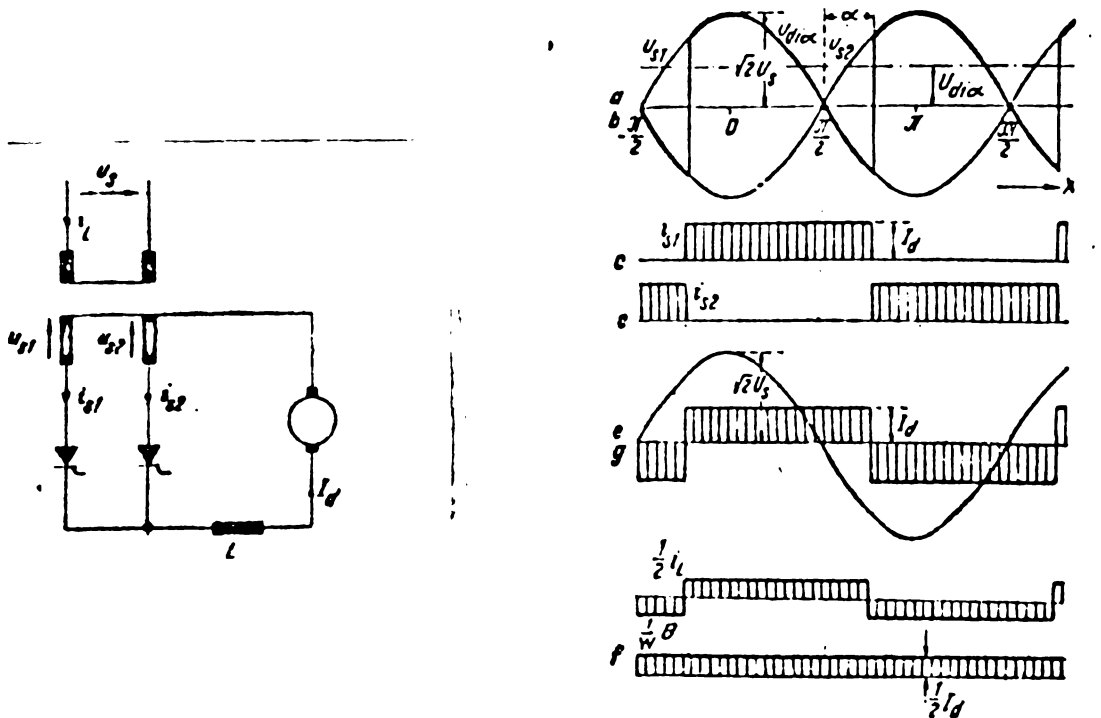


Fig.1 - Alimentarea motorului de curent continuu prin redresor comandat.

a - schema de principiu

b - variație în timp a principalelor mărimi.

Redresorul comandat este un mutator cu comutare de la rețea adică stingerea tiristoarelor și trecerea curentului de pe o ramură pe cealaltă, este produse de tensiunea din circuitul de comutare în momentul emularii curentului prin ventil. Momentul sprinderii tiristoarelor poate fi comandat asigurându-se astfel la ieșire o tensiune continuă a cărei marime variază în funcție de unghiul de comandă  $\alpha$  care reprezintă tocmai unghiul de întărziere a apariției curentului pe fază care conduce în timp ce fază tensiunii este impusă de rețeaua de alimentare în curent alternativ.

Tensiunea la ieșire este dată de relația :

$$U_c = k U_2 \cos \alpha \quad (1) \quad [61]$$

Puterea activă variind direct proporțional cu tensiunea continuă  $U_c$  va fi și ea o funcție de  $\cos \alpha$

$$P = k_a \cos \alpha \quad (2) \quad [61]$$

Dacă amplitudinea curentului continuu este constantă rezultând în circuitul alternativ un curent constant, puterea reactivă armonică fundamentală este dată de relație

$$Q = k_r \sin \alpha \quad (3) \quad [61]$$

Rezultă că prin folosirea acestei scheme apare un consum suplimentar de putere reactiva care duce la înrăutățirea factorului de putere. Creșterea unghiului de comandă conduce la modificarea conținutului de armonici ale tensiunii și curentului stăt în rețeaua de alimentare cît și în circuitul de sarcină de curent continuu.

O reducere a valorii curentului reactiv și a ondulațiilor curentului continuu se realizează prin inserarea mai multor scheme comandate succesiv pe partea de curent continuu.

Principialul avantaj al schemei constă în faptul că poate funcționa și în regim de invertor permășind frâneria electrică cu recuperare a energiei datează inversarii tensiunii pentru  $\alpha \geq 90^\circ$ .

55 13  
13 22 41  
33 22 41

Totuși, dezvălutele menționate și în plus costul ridicat însorit de greutatea echipamentului aferent fac ca schemele cu redresoare comandate să nu-și gasească aplicabilitatea în alimentare motoarelor de curenț continuu cu excitație serie destinate acțiunii vehiculelor electrice pentru transportul în comun urban.

- Variatorul de tensiune continuă întâlnit în literatura de specialitate sub denumirea de Chopper sau reglaj /4; 100/ se folosește la vehiculele electrice alimentate din linie de contact în curenț continuu acționate cu motoare de curenț continuu cu excitație serie (fig.2).

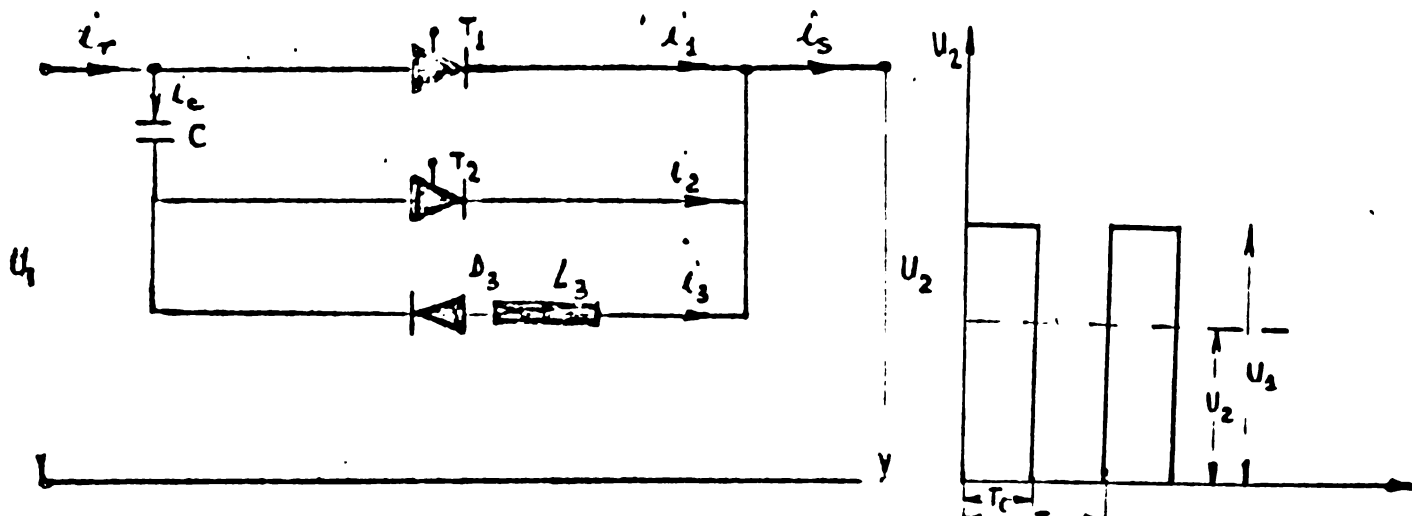


Fig.2 - Variator de tensiune continuă cu circuit de stingere în paralel cu tiristorul principal.

Variatorul de tensiune continuă este un mutator static comandat cu comutare artificială.

În mutatoarele cu comutare artificială stingerea tiristoarelor nu mai poate fi asigurată în mod natural prin tensiunea de alimentare [60].

Tensiunea de comutare este obținută fie de la surse auxiliare de tensiune, fie de la acumulatori de energie. În cazul Chopperului tensiunea de comutare este obținută de la condensatoare.

Până de schema anterioară, schema cu Chopper prezintă următoarele avantaje: este mai ieftină ceea ce îninind un număr mai redus de ventile, nu consumă energie reactivă din rețeaua

alimentare, ondulațiile curentului și tensiunii sunt mai reduse, posibilitățile de reglare sunt îmbunătățite putindu-se comenzi etît momentul sprinderii și momentul stingerii tiristoarelor. Cu aceasta schema la bornele sarcinii se asigura o tensiune continuă variabilă dată de relație

$$U_2 = c' U_1$$

(4) [35]

$c' = \frac{L_2}{T}$  posătă denumirea de report ciclic sau perioada relativă de conducție.

Comparînd din toate punctele de vedere soluțiile posibile să fi adoptate pentru acționarea electrică a tramvaiului folosind scheme cu tiristoare rezulta că ~~...~~ cea care corespunde cel mai bine scopului propus este schema cu variator de tensiune continuă.

Cap.3. -Variatorul de tensiune continuă și principalele lui utilizări aplicabile schemelor de acționare cu motoare de curent continuu cu excitare serie

3.1. Comutăție forțată cu acumulator de energie capacativ.

In tracăginea electrică urbană folosind scheme cu variator de tensiune continuă s-au generalizat variatoarele care funcționează pe principiul comutației forțate cu acumulator de energie capacativ. I. [60] este descris pe larg fenomenul comutației forțate folosind în acest scop un condensator.

Schemă de principiu este prezentată în fig.3 iar variația în timp a curenților și tensiunilor în fig.4 [60.]

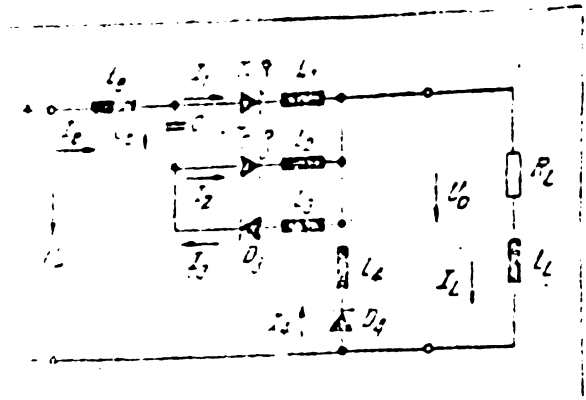


Fig.3 - Schema de principiu a parții de forță a unui variator de tensiune continuă alimentând o sarcină rezistiv-inductivă.

In figură s-înregistrează :

$T_1$  - tiristor principal

$T_2$  - tiristor de stingere

C - condensator de stingere

$D_4$  - diodă de rostă liberă

Să definiștem următoarele elemente :

T - perioada de reglare

$T_1$  - durata de conducție

$\frac{T_1}{T}$  - durata relativă de conducție sau raport ciclic

La începutul intervalului de timp considerat tiristorul principal  $T_1$  este aprins. Condensatorul C este încărcat anterior la tensiunea  $U_e$  cu polaritate negativă. În momentul  $t_1$  se sprinde tiristorul de stingere  $T_2$  și tensiunea condensatorului produce trecerea rapidă a curentului de sarcină de pe tiristorul principal  $T_1$  pe circuitul serie format de C și  $T_2$  producindu-se stingerea lui  $T_1$ . Curentul este comutat de pe  $T_1$  pe circuitul de stingere cu ajutorul unui acumulator de energie capacitive. Tensiunea condensatorului să fie aplicată tiristorului  $T_1$  ca tensiune de blocare.

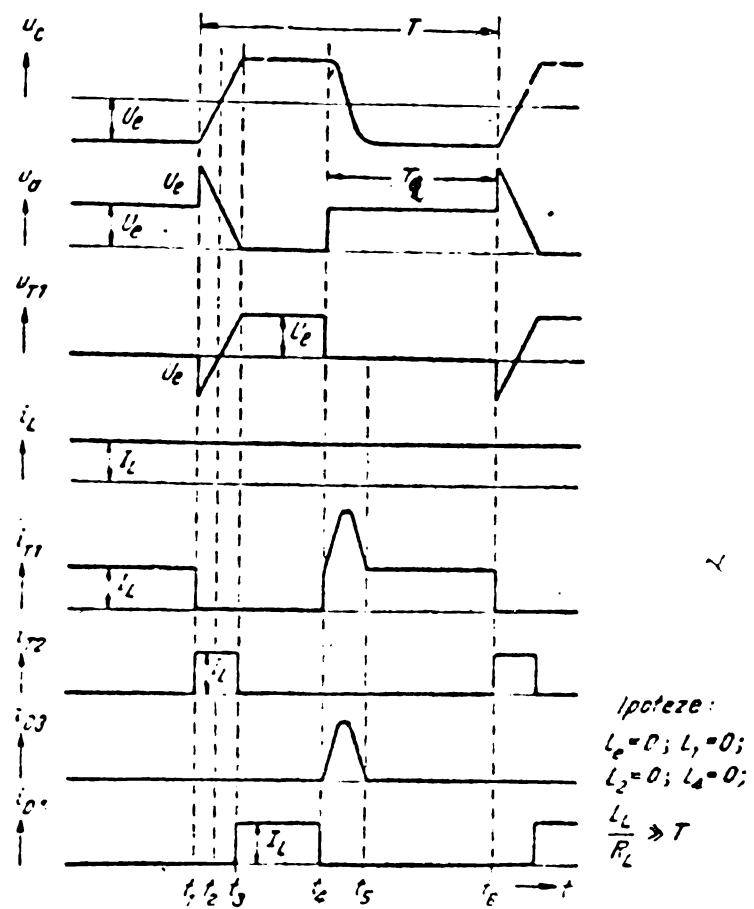


Fig.4 - Variatia in timp a curentilor si tensiunilor.

Decrece curentul de sarcina circulă scum prin condensator acesta se va reîncărca.

La momentul  $t_2$  trec prin zero concomitent, tensiunea pe condensator și tensiunea pe tiristorul principal. Pe măsură ce condensatorul se reîncărca, tensiunea de ieșire, care în momentul  $t_1$  este  $2 U_e$ , scade, astfel că în momentul  $t_3$  cind tensiunea pe condensator este egală cu tensiunea sursei, se anulează. Prezenta diodei de sumătare  $D_4$  este absolut necesară în cazul unei sarcini inducțive sau rezistiv-inductice decorece tensiunea de ieșire nu poate să-și schimbe semnul.

În momentul  $t_3$  curentul de sarcină se comută de pe circuitul de stingere pe dioda de descarcare  $D_4$ . În acest moment procesul de comutare diezetașă s-a încheiat.

Din cele prezente rezultă că ciclul de funcționare a unui variator cu comutare diezetașă folosind un

condensator cuprinde următoarele faze principale :

- aprinderea tiristorului principal stabilindu-se conexiunea sarcinii la sursa de alimentare și comutarea curentului de sarcină de pe dioda  $D_4$  pe tiristorul  $T_1$ ;

- încarcarea condensatorului de stingere la o tensiune de valoare și polaritate corespunzătoare;

- conexiunea condensatorului de stingere cu polaritate corespunzătoare aplicării unei tensiuni de blocare la bornele tiristorului principal;

- stingerea tiristorului principal prin descarcarea condensatorului prin circuitul de sarcină;

- comutarea curentului de sarcină din circuitul de stingere prin dioda  $D_4$ ;

Pe baza diagramelor din fig. 4 se pot stabili condițiile care asigură o funcționare corespunzătoare a schемelor cu comutare prin condensator și anume :

$$\left. \begin{aligned} t_{\text{bloca}} &= t_2 - t_1 = \frac{U_e C}{I_L} \geq t_r \\ t_2 &= t_1 + 2 U_e \frac{C}{I_L} \end{aligned} \right\} \quad (5)$$

unde :

$t_{\text{bloca}}$  - timpul în decursul căruia la bornele tiristorului principal se aplică tensiunea de blocare.

$t_k$  - timpul de comutare

$t_1$  - timpul de revenire al tiristorului principal.

$U_e$  - tensiunea sursei de alimentare

$I_L$  - curentul de sarcină

- Prezența în circuit a inductanțelor proprii micșorează pantă de creștere a curentului și conduce la modificări esențiale în desfuzionarea procesului de comutare fară stă și anume :

a) în momentul aprinderii tiristorului de stin-  
gere tensiunea condensatorului este inferioară tensiunii  
de alimentare;

b) condensatorul se descarcă parțial chiar în  
timpul comutării curentului de pe tiristorul principal pe  
tiristorul de stingere;

c) timpul de blocare al tiristorului principal  
scade odată cu creșterea curentului de sarcină;

d) tensiunea de blocare pozitivă a tiristorului  
principal crește peste valoarea tensiunii de alimentare;

e) datorită oscilației tensiunii condensatorului,  
prin surse de alimentare circulă un curent invers;

f) tensiunea pe condensator scade ca urmare a  
acestei oscilații, sub tensiunea de alimentare.

- Procesul de aprindere și stingere a tiristoro-  
lor este însăși de importante pierderi de energie care de-  
pind de panta curentului la aprinderea și stingerea tiristo-  
rului. Valoarea lor poate fi redusă folosind bobine satu-  
rabile.

### 3.2. Scheme de baza ale variatorului de tensiune continuă utilizate în acțiunile electrice de mare putere

Literatura de specialitate [18 35 60] tre-  
tează o mulțime de scheme de variator de tensiune conti-  
nuă care pot fi clasificate din mai multe puncte de vedere  
și anume:

- În funcție de modul de conectare a circuitului  
de stingere cu sarcina deosebesc variatoare cu circuitul  
de stingere în serie cu sarcina și variatoare cu circuit  
de stingere în paralel cu sarcina.

- În funcție de modul de comandă al lor deose-  
bim variatoare care acționează asupra maximii tensiunii de  
ieșire prin comandă prin lățimea impulsurilor, prin comandă  
prin frecvența impulsurilor și prin comandă mixtă.

În cele ce urmează se vor prezenta cele mai sem-  
nificative scheme de variatoare întâlnite în literatură și se  
vor analiza în mod critic avantajele și dezavantajele fie-  
careia în parte.

Una din schemele varianteelor este cea prezentata deza in fig.3 [60].

Schma funcioneaza cu frecventa de lucru constanta.

$$\int u_e dt = \sigma U_e \quad (6)$$

Dezavantajul acestei schme consta in faptul ca la stingerea tiristorului principal condensatorul de comutare este initial incarcat la o tensiune mai mare si apoi descarcat la o tensiune mai mic decit tensiunea de alimentare. La cresterea curentului de sarcina tensiunea disponibila pe condensator scade, deci timpul de blocare depinde substantiel de valoarea curentului de sarcina, fiind direct proportionala cu sarcina electrica disponibila pe condensator si invers proportional cu curentul de sarcina.

Prin  $T_1$  va circula nu numai curentul constant de sarcina, ci si curentul de basculare a condensatorului C, curent care se inchide prin circuitul care cuprinde inductanta  $L_3$  si dioda  $D_3$ . Deoarece prin condensator, in regim transitoriu trebuie sa treaca un curent alternativ, rezulta

$$\int_{t_1}^{t_2} u_2 dt = \int_{t_3}^{t_4} u_3 dt \quad (7) \quad [60]$$

- schema prezentata nu si-a gasit o utilizare larga datorita faptului ca tensiunea pe condensator pentru ambele stari ale tiristorului principal este egală cu tensiunea sursei de alimentare si isi schimba semnul la fiecare spindere si stingere.

In plus, curentul minim de sarcina este determinat de durata minima de conduction a tiristorului principal si de timpul de incarcare a condensatorului.

In fig.5 este prezentata o schema care se desfasoara de cea precedenta prin faptul ca dioda  $D_3$  din

circuitul de inversare a polarității tensiunii pe condensator este înlocuită prin tiristorul  $T_3$ . Variația în timp a curenților și tensiunilor este prezentată în fig.6 { 60}.

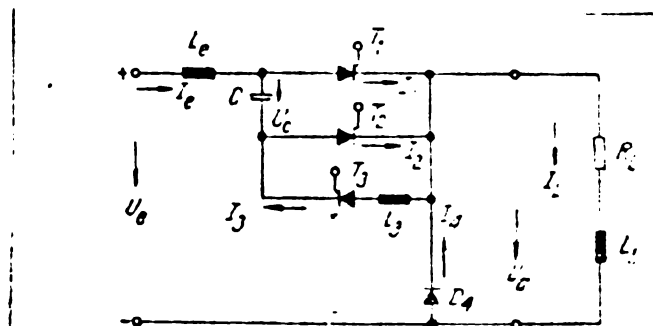


Fig.5 - Variator de tensiune continuă cu tiristor în circuitul de inversare a polarității tensiunii pe condensator.

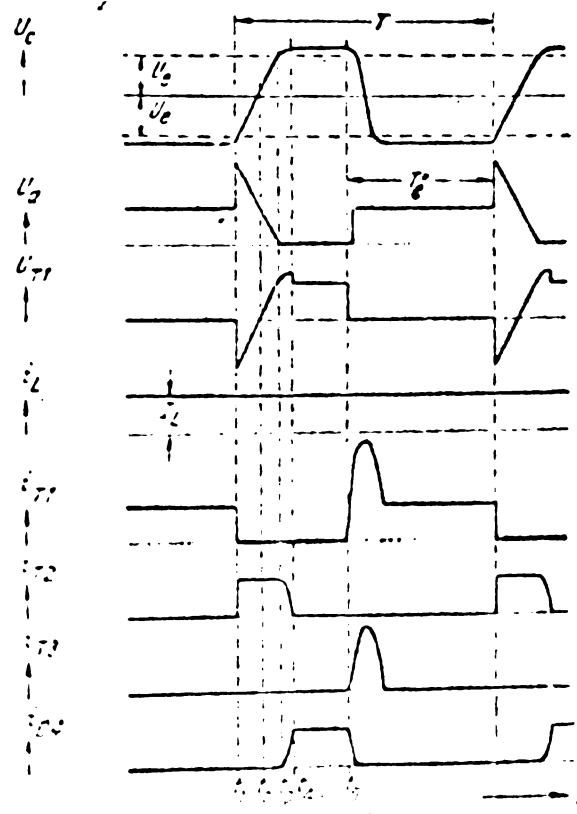


Fig.6 - Variație în timp a curenților și tensiunilor variatorului din fig. 5.

Scheme prezintă două evenrăje principale și anume: tensiunea pe condensatorul de stingere este marită datorită energiei magnetice acumulate în inducție de intrare  $L_0$  în momentul  $t_3$ , rămînd spații la vitezarea stinsă; nu mai sporește curentul care circulă prin sursă în sens invers și care conduce la descărcarea parțială a condensatorului.

In fig.7 este prezentată schema cu circuit auxiliar de reîncarcare [60].

Prezintă circuitul auxiliar de recîncărcare format din dioda  $D_5$  și inducția  $L_5$  înlințură unele dezavantajionate la schema precedentă asigurînd o descărcare rapidă a condensatorului de stingere. În felul acesta, chiar în cazul existenței unei sarcini care conține o tensiune electromotoare, există posibilitatea de a lucra cu durate relative de conducție ridicate.

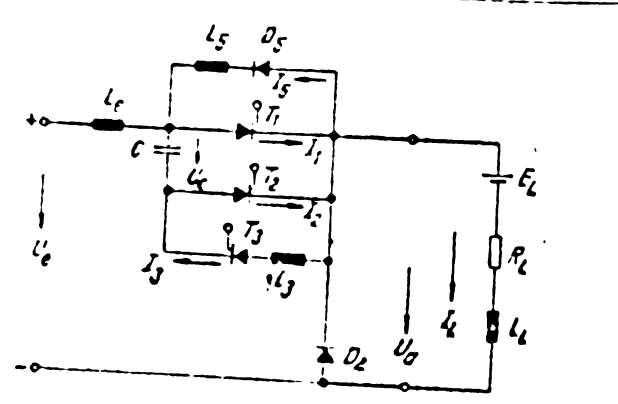


Fig.7 - Variator de tensiune continuă cu circuit auxiliar de reîncarcare.

Cînd tiristorul de stingere  $T_2$  este sprins, condensatorul se descarcă parțial prin circuitul auxiliar de reîncarcare. Curentul de reîncarcare se repartizează în funcție de curentul de sarcină între circuitul de sarcină și circuitul auxiliar de reîncarcare.

Datorita circuitului auxiliar de reîncarcare rezultă și o valoare micșorată a curentului de sarcină corespunzator duratei relative de conducție minime, decorece după aprinderea tiristorului de stingeră și împreună cu acest punct de funcționare o parte din curentul condensatorului este derivată de pe circuitul de sarcină pe circuitul de reîncarcare.

Cu toate că și această schema are dezavantajul că încarcarea condensatorului de stingeră se face prin sarcină și ca întîdeauna la pornirea variatorului trebuie să se asigure mai întîi aprinderea tiristorului de stingeră, ea se înscrie printre schemele cu încarcare condensatorului prin sarcină care se folosesc cu rezultate bune în acțiunarea mijloacelor de transport în comun.

O variantă îmbunătățită a schemei în fig. 7 este schema cu circuite separate de reîncarcare și de inversare a polarității tensiunii pe condensator prezentată în fig. 8 [6a].

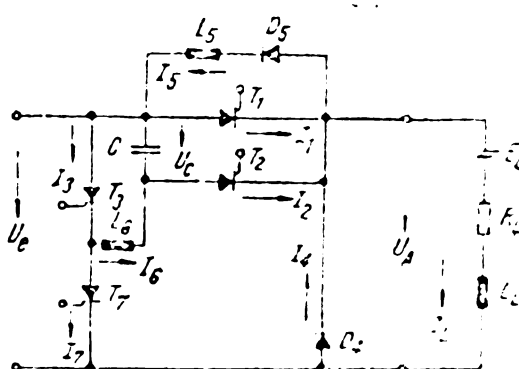


Fig.8 -Variator de tensiune continuă cu circuite separate de reîncarcare și de inversare a polarității tensiunii pe condensator.

Variatorul realizat după această schemă poate să funcționeze și cind curentul d-e sarcină este zero, condensatorul putind fi încărcat prin circuitul  $T_7$ ,  $L_6$ , iar schimbarea polarității are loc prin circuitul  $T_5$ ,  $L_6$ . Spre deosebire de schemele prezentate anterior, tiristorul principal este descărcat de curentul condensatorului ceea ce reduce solicitările sa în regim dinamic. Durata relativă de conducție poate fi scăzută pînă la zero ceea ce înseamnă că tiristorul principal și cel de stingere pot fi aprinse concomitent. Prezența circuitului separat de reîncarcare permite ca procesul de reîncarcare a condensatorului să fie întrerupt ericind, iar curentul recomutat de pe tiristorul de stingere pe cel principal. Completearea sarcinii electrice necesare pentru reîncarcarea completă a condensatorului este efectuată de circuitul de reîncarcare în timpul intervalului de conducție a tiristorului principal.

Datorită faptului că schema conține un număr mare de tiristoare și diode de putere, este mai scumpă comparativ cu cele prezентate anterior. În plus, schema de comandă este mai complicată datorita faptului că impulsurile de comandă trebuie date în trei etape : aprinderea lui  $T_1$  și  $T_2$ , aprinderea lui  $T_3$ , aprinderea lui  $T_2$ .

In schemele de acționare a tramvaiului realizate de ACEC s-a extins variatorul de tensiune continuă cu circuit de stingere conectat în paralel cu sarcina pe catodul tiristorului principal fapt pentru care astfel de variatoare poartă denumirea împroprie de variatoare cu circuit de stingere pe catod.

Schemă de principiu a unui astfel de variator este prezentată în fig.9. În [35] este deschis, pe larg modul de funcționare a acestei scheme la care se evidențiază următoarele avantaje:

- Nu există nici o restricție privind ordinea aprinderii tiristoarelor  $T_1$  și  $T_2$ ;

- Tensiunea de ieșire din variator poate fi modificată într-o gamă largă indiferent de valoarea curentului de sarcină și de tipul acestuia.

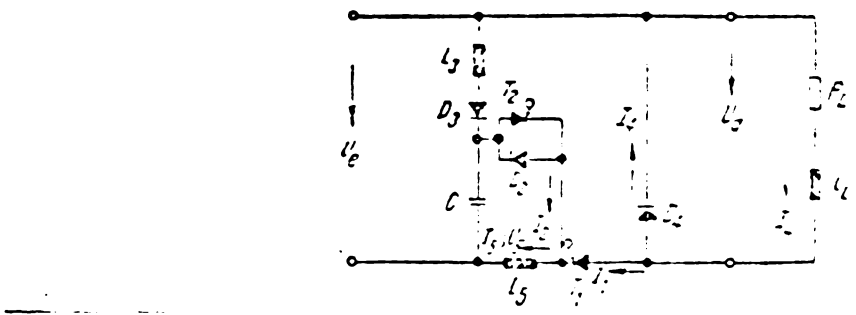


Fig.9 - Variator de tensiune continuă cu circuit de stingere în paralel cu sarcina.

- variatorul poate funcționa în condiții bune chiar și în absența curentului de sarcină;
  - se evită solicitarea suplimentară a sarcinii în perioadele de încarcare a condensatorului de stingere;
  - se folosesc condensatoare de capacitate mai redusă.

Printre principalele dezvantaje ale sistemelor de acest tip se mentioneaza :

- ventilele semiconductoare sunt solicitate la tensiuni duble față de tensiunea sursei de alimentare și trebuie alese corespunzător acestei valori;
  - în cazul folosirii variatorului pentru acțiunea tramvaiului, având în vedere că polaritatea minus este legată la pămînt este necesar un contactor pentru deconectarea motorului de tracțiune cînd variatorul rămîne blocat [32].

In fig.10 este prezentata schema de principiu a generatorului realizat de ACEC pentru comanda schemelor de acionare in tracțiune electrică 35].

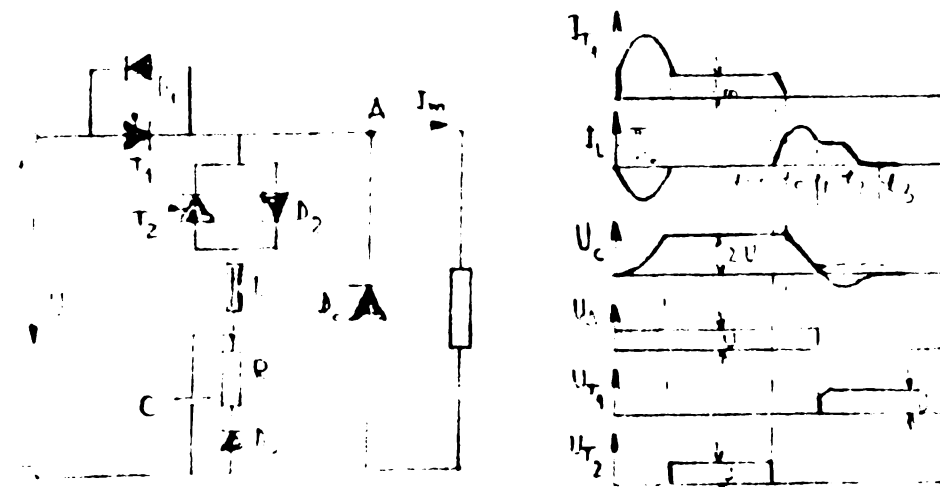


Fig.10 - Variator de tensiune continuă realizat de ACEC

La aprinderea tiristorului principal  $T_1$  cu ajutorul unui impuls aplicat pe grila sa de comandă, tensiune sursei se aplică pe de o parte la bornele sarcinii și pe de alta parte la bornele circuitului oscilant L C prin intermediul diodei  $D_2$ . Condensatorul C se va încărca la tensiunea "U". Când se dă comanda de aprindere a tiristorului de stingere  $T_2$ , tensiunea condensatorului se aplică ca tensiune de blocare pe  $T_1$  iar sarcina acumulată va fi descărcată prin circuitul de sarcină. Tiristorul principal se stinge cînd condensatorul este descărcat, pe tiristorul principal se aplică tensiunea pozitivă egală cu tensiunea sursei de alimentare.

Schimba descrisă prezintă următoarele avantaje: tiristoarele nu sunt solicitate la tensiuni mai mari decît tensiunea de alimentare, a disparut circuitul pentru inversarea polarității tensiunii pe condensator, poate funcționa și la curent de sarcină zero, poate fi folosită și la sarcină căre conține t.e.m. permisiind durete relative de conducție de la zero la 1.

In fig.11,12 sunt prezentate schemele variatoare de tensiune continuă elaborate de ICPE Bucuresti [94].

Aceste scheme se caracterizează printr-o funcționare sigură urmărindu-se protejarea vînțilelor semiconducțoare la variațiile rapide ale curentului și tensiunii prin conectarea în serie cu tiristorul principal și cu dioda de rostă liberă a unei inductanțe de limitare a lui.

Acest lucru a fost necesar deoarece s-a constatat că inductanțele realizate de conductoarele de legătură nu sunt suficiente pentru limitarea solicitărilor dinamice ale elementelor semiconductoare.

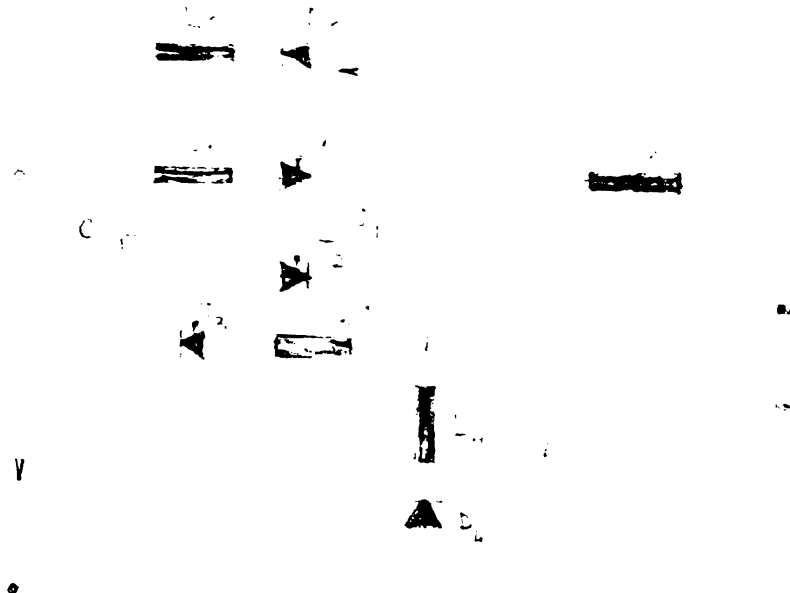


Fig.11- Schema varistorului de tensiune continuă cu încărcarea condensatorului în serie în sarcina realizată de ICPE Buc.

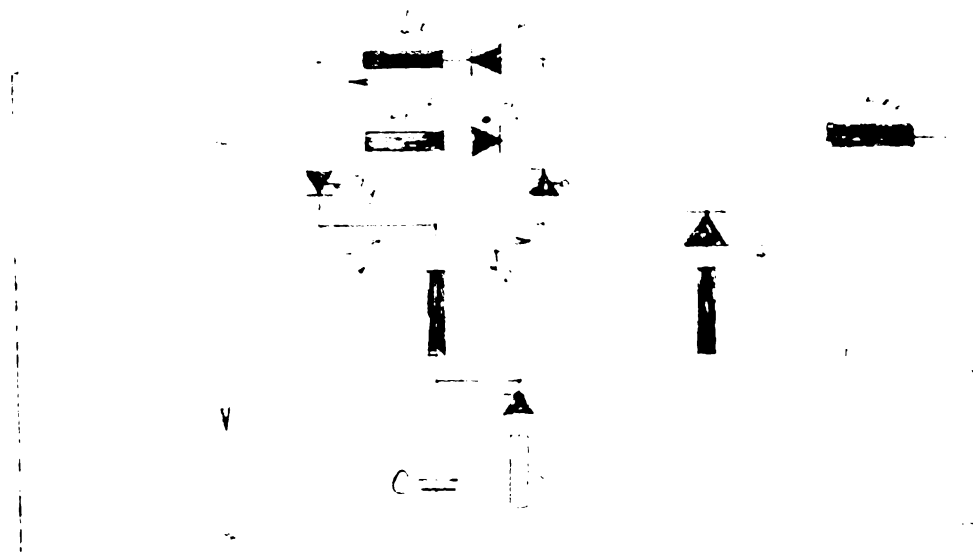


Fig.12- Schema varistorului de tensiune continuă cu încărcarea condensatorului independent de sarcină realizată de ICPE.

### 3.3. Comanda varistorilor

Schemă de comandă este prezentată principiul în fig.13 în care pentru simplificare varistorul e reprezentat printr-un intreruptor electronic, V și o diodă de descarcare D [60].

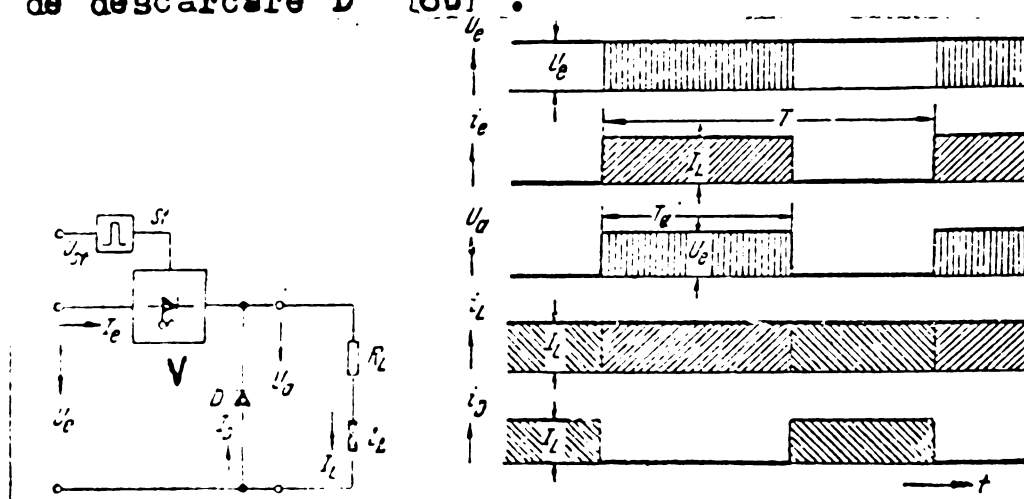


Fig.13 - Variator de tensiune continuă idealizat.

Varietăția în timp a tensiunilor și curenților.

Intrerupatorul va fi închis printr-un impuls de comandă și va fi deschis prin impulsul următor. Se presupune că proprietățile intrerupatorului săt ideale, timpul de comutare infinit mic iar constanta de timp a circuitului de sarcină este mai mare decât perioada T.

In condițiile unei tensiuni de alimentare constante valoarea medie a tensiunii de ieșire poate fi variată continuu între zero și \$U\_e\$ prin variația duratei relative de conducție \$\delta\$ care reprezintă raportul între intervalul de conducție \$T\_1\$ și perioada T. Variația sub formă de impulsuri a tensiunii de ieșire \$U\_o\$ conduce în general la un curent de sarcină \$I\_L\$ având un continut de armonici superioare. În ipoteza \$T \ll \frac{L\_L}{R\_L}\$ curentul va fi bine filtrat de inducția circuitului de sarcină. Prin sarcină va circula un curent practic continuu. Curentul prin sursa de alimentare va fi pulsatoriu având valoarea medie

$$I_e = \delta I_L \quad (8)$$

Durata relativă de conducție \$\delta\$ poate fi variată în două feluri: prin latimea impulsurilor (variația intervalului de conducție la perioadă constantă), prin frecvența impulsurilor (variația perioadei la interval de conducție constant).

Comanda prin lațimea impulsurilor este deosebit de avantajoasă în special la alimentarea acționarilor prevăzute cu circuit de reglare.

Faptul că raportul între constante de timp a sarcinii și perioada este constant, permite menținerea conținutului de armonici a circuitului de sarcină în limite determinate.

Comanda prin frecvențe impulsurilor are avantajul unor circuite de comutare mai simple iar pierderile de comutare care depind de frecvența apar în întregime numai la frecvență maximă.

Dacă varistorul este inclus într-un circuit de reglare a curentului să se arate în fig. 14 se poate aplica o comandă bipozițională a curentului de sarcină. În acest caz nici intervalul de conducție și nici frecvență nu sunt constante.



Fig.14- Varistor de tensiune continuă idealizat, cu reglare bipozițională. Variatia în timp a curentului prin sarcină.

Reglarea bipozițională conduce la o variație în timp a curentului, care presupune o componentă de curent alternativ.

Frecvența de lucru depinde de lațimea benzii de toleranță  $\Delta t$ , de constante de timp a sarcinii și de marimea valorii impuse a curentului (fig.15) [60]

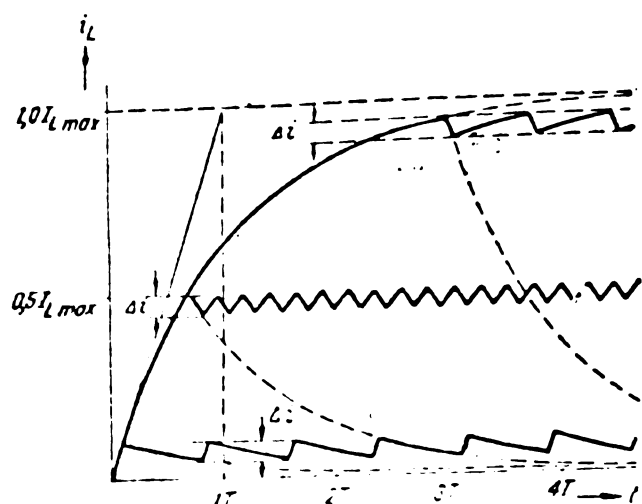


Fig.15 - Varietatea în timp a curentului pentru trei valori diferite ale valorii impuse ele curentului de sarcina.

Frecvența cea mai ridicată rezultă la mijlocul domeniului de funcționare iar cea mai scăzută la extremități.

Pentru a folosi avantajele ambelor metode la varietașele folosite în tractiunile electrice se lucrează cu două frecvențe fixe: o frecvență mai scăzută <sup>scăzută</sup> pentru 0,1 și 0,9 și o frecvență mai ridicată pentru 0,1 și 0,9 [35].

Reglarea bipozitionează permite o reglare de curent relativ simplă fiind în multe cazuri avantajosă față de schemele de comandă obișnuite, care necesită închiderea unui circuit suplimentar de reglare a curentului. Metoda este dezavantajosă în schemele care conțin un filtru în circuitul de alimentare.

### 3.4. Utilizarea varistorului de tensiune continuă în schemele de acționare cu motoare de curent continuu cu excitație serie.

Varistorul de tensiune continuă poate fi folosit în schemele de acționare cu motoare de curent continuu cu excitație serie pentru pornire, modificarea turatiei și frânarea electrică reostatică sau cu recuperare de energie.

Aceste utilizări sunt determinate de funcțiile pe care varistorul poate să le îndeplinească într-o schema și anume:

- Variatia continua a tensiunii la bornele motorului intre zero si valoarea tensiunii retelei;

- Variatia continua a rezistenței;

- Variatia continua a inductanței.

### 3.4.1. Variatia continua a tensiunii la bornele motorului.

Variatorul de tensiune continua se conecteaza in serie cu motorul de acionare (fig.16)

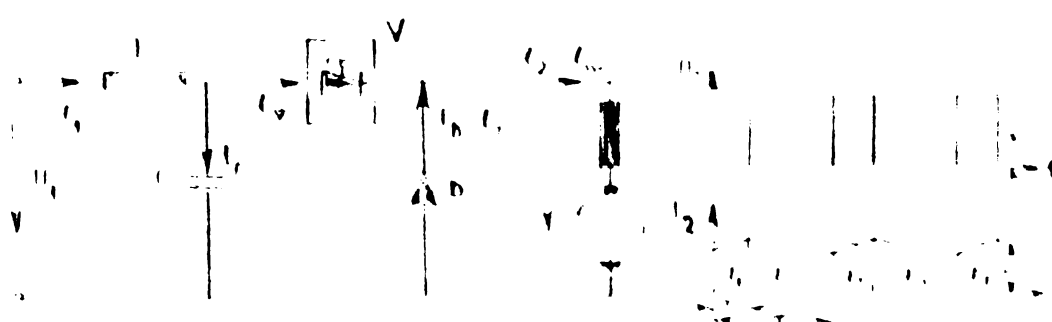


Fig.16 - Variatia prin impulsuri a tensiunii de alimentare.

Tensiunea de ieșire poate fi variată cu ajutorul modificării reportului ciclic egal cu reportul dintre timpul de conducție și perioada impulsurilor.

Domeniul de reglare este cuprins între zero ( $\alpha = 0$ ) și  $U_0$  (când  $\alpha = 1$ ).

Diodele D conectate in paralel cu motorul asigura circularea curentului prin motor in perioada cind varistorul de tensiune este blocat.

Prin motor va circula un curent ondulat, iar tensiunea la bornele acestuia este sub forma de impulsuri.

In scopul reducerii ondulațiilor curentului de sarcina, comutarea acestuia de la sursa de alimentare pe circuitul de roata libera și invers, trebuie să se facă cu o frecvență a cărei perioadă să fie mult mai mare decât durata de timp a circuitului de sarcină.

Condensatorul a carui prezentă este necesar în cazul cind circuitul conține inductanțe are rolul de înmagazinare a energiei în perioadele în care alimentarea sarcinii este întreruptă ( $T-T_1$ ) cedând-o sarcină și cind varistorul conduce ( $0-T_1$ ). În acest fel este compensat efectul inductanței retelei care limitează valoarea curentului absorbit de sarcină de la surse de alimentare.

Variind în acest fel tensiunea aplicată la bornele motorului serie de curent continuu se va obține o familie de caracteristici mecanice similare celor obținute prin orice metodă clasică de variație a tensiunii de alimentare.

### 3.4.2. Variația prin impulsuri a rezistenței.

Cunoscând variatorul de tensiune continuă în serie pe o rezistență  $R$  se va obține o variație a valorii acesteia conform relației :

$$R_{ef} = 1 - \delta' R \quad (9)$$

dе la zero ( $T_1 = T$ ) pînă la  $R$  ( $T_2 = 0$ ).

Dată rezistență  $R$  este inserată în circuitul de sarcină (fig.17) variația tensiunii la bornele acesteia se realizează variind prin impulsuri veloarea rezistenței  $R$ .



fig.17 - Variație prin impulsuri a valorii rezistenței.

Curentul de sarcină  $i_2$  va rezulta prin însumare curentului ce străbate variatorul ( $i_T$ ) în perioadele de conducție ( $0 < t \leq T_c$ ) cu curentul ce străbate rezistență ( $i_R$ ) în perioadele cînd variatorul este blocat ( $T_c < t \leq T$ ). Introducerea rezistenței în circuit va corespunde unei diminuări a valorii curentului  $i_2$ , în timp ce scurtcircuitarea va determina o creștere a lui  $i_2$ , sarcina fiind parcursă de un curent ondulat.

Dacă se dimensionează corespunzător, rezistența  $R$  poate fi folosită atât pentru pornire cât și pentru modificarea turării motorului.

Varierea rezistenței din circuitul motorului se poate efectua într-un număr infinit de trepte, finețea reglajului fiind astfel maxim posibilă.

Din punct de vedere al pierderilor de energie metoda nu aduce o ameliorare sensibilă față de metoda clasică de reglaj reostatic.

Varierea prin impulsuri a rezistenței este justificată în schemele de frânare reostatică.

Caracteristicile mecanice și tehnice sunt astfel obținute sănătoase și similar celor rezultate în cazul reglajului reostatic clasic. În aceste scheme varistorul asigură reducerea valorii rezistenței de frânare pe măsură ce turările motorului scad.

### 3.4.3. Variatia prin impulsuri a inductanței.

Cuplând un varistor de tensiune continuu în paralel cu o inductanță se obține o variație a valorii acestora în funcție de durata relativă de conducție (fig.18)

-cf -  $\omega'$  -  $\omega$  -

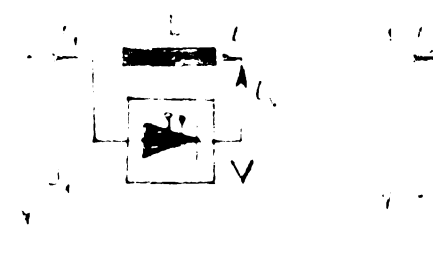


Fig.18 - Variatia prin impulsuri a valoarei inductanței.

Domeniul de variație este cuprins între  $Lef = 0$  (pentru  $\sigma' = 1$ ) și  $Lef = L$  (pentru  $\sigma' = 0$ ).

Faza de schema folosita pentru variație rezistenței, prezente inductanței va face ca la aprinderea varistorului curentul prin inductanță să fie menținut pe aceeași energie acumulată în inductanță să se încită prin varistor și circula diferența dintre curentul de sarcină și curentul prin inductanță.

$$i_T = i_2 - i_L \quad (11)$$

Dupa stingerea varistorului ( $T = 0$ ) tot ca urmare a efectului inductanței are loc o diminuare a curentului de sarcină la valoarea

$$i_2 = i_L$$

Cu cât durata relativă de conducție  $\sigma'$  și perioade de funcționare  $T$  sunt mai mari cu atât curentul  $i_T$  va avea o valoare mai mare iar  $i_L$  o valoare mai mică. Aceasta conduce la oscilații inadmisibile mari ale curentului de sarcină. Pentru a preîmpinge această situație trebuie compensat efectul inductanței printr-o capacitate tampon conectată în paralel la bornele inductanței (fig. 19).

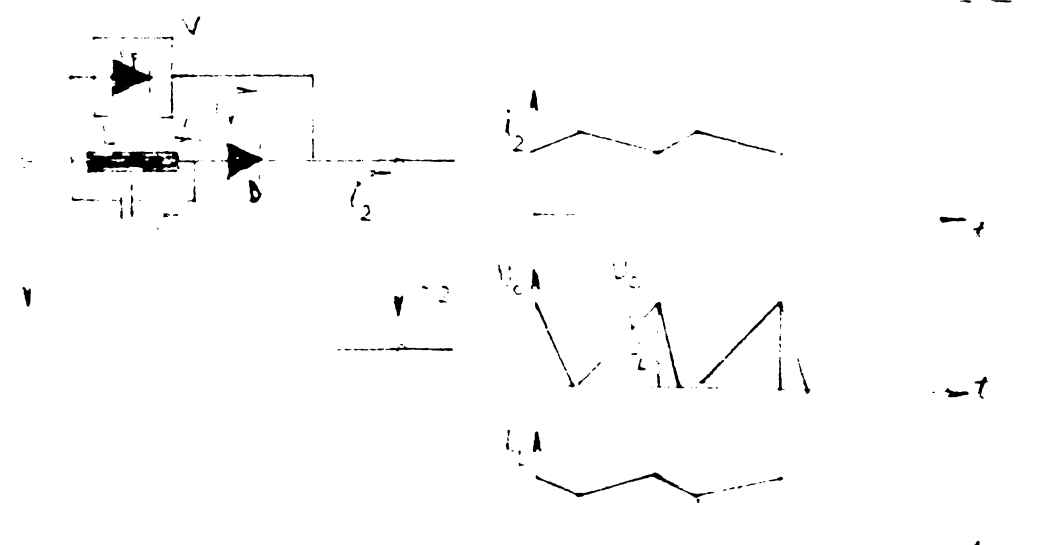


Fig.19- Compensarea efectului inductanței printr-o capacitate tampon.

La intreruperea varistorului, datorită inducției care se opune creșterii curentului  $i_L$ , curentul condus inițial de varistor va circula prin capacitatea C, și dioda de blocare D. Condensatorul C se va încărca pînă ce tensiunea să atinge valoarea tensiunii de la bornele inductanței. În acest timp curentul  $i_C$  se anulează iar curentul de sarcină va circula numai prin inductanță L.

La sprinderea varistorului, pe dioda D este aplicată tensiunea negativă a condensatorului ; curentul de sarcină fiind preluat de varistor se va produce descarcarea condensatorului C pe inductanță. După inversarea polarității tensiunii de la bornele condensatorului, curentul de sarcină va putea circula și prin dioda D.

Prin varistor va circula numai diferențe de curent. Variatia prin impulsuri a inductanței se folosește în schemele de subexcitație a motoarelor de curent continuu cu excitație serie.

### 3.5. Influența frecvenței de lucru a varistorului

Frecvența de lucru a varistorului are influență asupra funcționării varistorului insuși, asupra sarcinii, asupra sursei de alimentare și asupra instalațiilor de telecomunicări și de semnalizare.

#### 3.5.1. Influența frecvenței asupra varistorului [ 18 35 ]

Pentru a realiza o comutare sigură este necesar ca timpul de aplicare a tensiunii negative de blocare pe tiristorul principal să fie cel puțin egal cu  $4-5 t_1$  ( $t_1$  fiind timpul de inversare al tiristorului). Durata de conducție minimă este data de timpul necesar încărcării sau descărcării condensatorului. Aceste limite minime stabilesc frecvența maximă de lucru a varistorului ca și limitele superioare și inferioare ale raportului ciclic.

Dacă pentru mășorarea frecvenței se mărește limita minima a timpului de blocare, o parte importantă din energia sursei nu poate fi transmisă sarcinii. Din contr., dacă se mărește limita minima a timpului de conducție, tensiunea minima de ieșire poate fi foarte ridicată constituind un dezavantaj pentru pornirea motorului.

Un alt factor care pledează pentru o frecvență mai mare ridicată este valoarea pierderilor de energie în elementele varistorului. Se pot distinge trei categorii de energie dissipată în varistor care sunt proporționale cu frecvența de reglare: pierderile la comutare în semiconductoare, pierderile în circuitele (R.C) de protecție a semiconducțoarelor, pierderile în rezistențe de amortizare.

### 3.5.2. Influența frecvenței asupra sarcinii [18]

S-a arătat anterior că la alimentarea unei sarcini inductive sau rezistive-inductive prin varistor de tensiune continuă, tensiunea aplicată la bornele sarcinii este sub formă de impulsuri iar curentul este ondulat.

Este necesar ca ondulațiile curentului să nu depășească limitele admise îninind seama de pierderile prin încalzire date de componenta alternativă a curentului.

În regim stabil de funcționare se poate calcula ondularea curentului de sarcină și cum rezultă din fig. 19 unde sarcina este reprezentată de un motor cu rezistență  $R_m$  și inducție  $L_m$ .

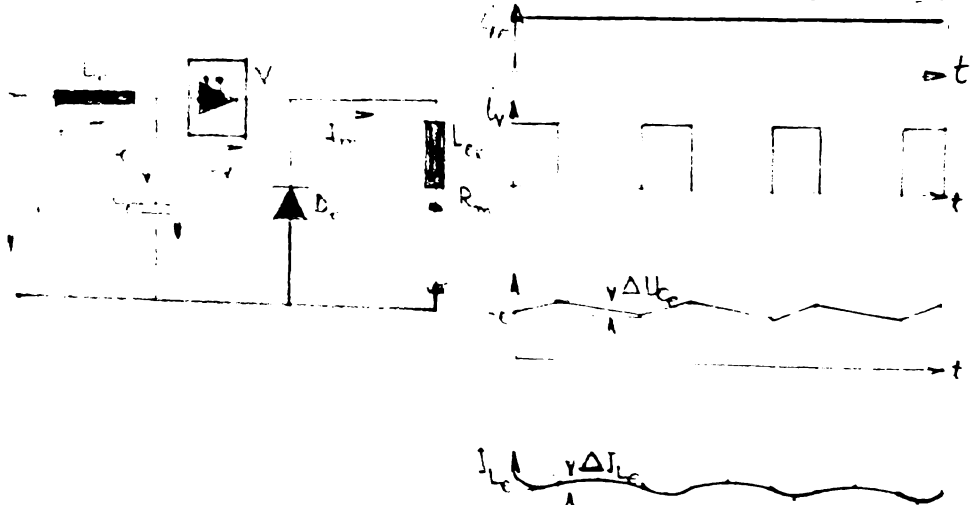


Fig. 19' - Influența frecvenței varistorului asupra sarcinii.

Se poate ușor constata că ondularea este nula pentru  $\delta = 0$  și  $\delta = 1$  și este maximă pentru  $\delta = 0,5$ . Ondularea maximă este dată de relația :

$$\frac{\Delta I_{max}}{I_m} = \frac{U}{R_m} \cdot \frac{1}{\pi} \frac{R_m T}{4 L_m} \approx \frac{U T}{4 L_m} \quad (12)$$

Ondularea maximă a curentului de sarcină este cu mult mai mare cu cât frecvența de reglare este mai scăzută.

Rezultă că dacă reglarea se face la o frecvență mică pentru reducerea ondulației trebuie să se inserieze în circuitul de sarcină o inductanță mare.

### 3.5.3. Influența frecvenței asupra sursei de alimentare

În cazul alimentării de la sursa cu rezistență internă nula (baterie) nu se pun probleme din acest punct de vedere. În cazul general al alimentării de la rețea este necesar să se prevadă un filtru între variator și rețea format dintr-o inductanță  $L_e$  și un condensator  $C_e$  (pentru ca filtrul să nu introducă pierderi). Trebuie evitat ca frecvența unei armonici a curentului absorbit de condensatorul de filtrare să se afle în apropierea frecvenței de rezonanță a circuitului de filtrare  $L_e C_e$  deoarece în acest caz rezultă supratensiunii de valoare ridicată.

Condensatorul  $C_e$  face posibilă trecerea curenților pulsatori, cu toată prezența inductanței de rețea, și pe lângă rolul de rezervor de energie (este varba de energie magnetică din inductanțele circuitului ce ia naștere în procesul comutării variatorului) el reduce supratensiunile pe variator la un nivel acceptabil. Aceste supratensiuni pot fi provocate de manevre din rețea, de întreruperile curentului de sarcină de către tiristorul principal și de funcționarea normală a variatorului.

Supratensiunile provocate de manevrele din rețea au o variație relativ lentă și nu duc la amplitudini periculoase. Aceasta face ca pe de o parte filtrul să nu aibă influență asupra lor și pe de altă parte, ele să nu influențeze buna funcționare a semiconducătoarelor.

Intreruperile curentului de sarcină de către tiristorul principal și variatorului se realizează foarte rapid. Energiea magnetică acumulată în inductanță de linie și în ceea ce a filtrului de intrare se transformă în energie potențială la bornele condensatorului. Din această cauză, la bornele condensatorului de intrare tensiunea maximă ce apare este dată de relația

$$(U_c)_{\text{max.}} = \sqrt{\frac{L_e}{C_e}} (I_i)_{\text{max.}} \quad (13)$$

Intreruperile provocate de funcționarea normală a variatorului se deosebesc de cazul anterior prin durată scurtă a perioadelor de cuplare și de decuplare. Aceste interruperi determină suprapunerea unei componente alternative peste tensiunea continuă a rețelei. Pentru dimensiunile montajului este importantă amplitudinea maxima  $(\Delta U_c)_{max}$ , a acestei componente deoarece solicitarea maxima la tensiunea ventilelor semiconductoare este determinată de suma  $[U_0 + (\Delta U_c)]$ .

Presupunând ca curentul de sarcină este perfect constant se poate determina ondularea maximă a tensiunii la bornele condensatorului a cărei valoare depinde de durată relativă de conducție :

$$(\Delta U_c)_{max} = \delta \frac{I_m}{\omega_c C_c} t_r \left( \frac{\pi}{2} \cdot \frac{f_c}{f} \right) \quad (14) \quad [18]$$

unde :

$\delta$  - reportul ciclic

$I_m$  - curentul prin sarcină

$$\omega_c = 2\pi f_c = \frac{1}{\sqrt{L_c C_c}}$$

$f$  - frecvența de lucru a variatorului

$$L_t = L_{rețea} + L_c$$

Ecuția prezintă un punct de rezonanță în care amplitudinea maximă a tensiunii tindă către infinit pentru  $f=f_c$ . Evitarea acestui punct se poate face acționând fie asupra frecvenței de rezonanță, fie asupra frecvenței de lucru a variatorului.

Din considerările menționate anterior privind comanda variatorului rezultă că este mai comod să se păstreze o constantă frecvență de lucru a variatorului și să se acționeze asupra frecvenței de rezonanță astfel că reportul  $\frac{f_c}{f} \neq 1$ .

Cum frecvența de rezonanță a circuitului de filtrare depinde și de inductanța liniei de contact a cărei valoare variază în funcție de poziția vehiculului rezultă că variația reportului  $\frac{f_c}{f}$  într-o gamă de vapori care să evite punctul de rezonanță, ar impune reglarea capacitatii de intrare  $C_c$  în timpul funcționării, ceea ce practic este imposibil. De aici deriva stabilirea unor criterii pentru dimensiunile economice a filtrului și alegerea frecvenței de lucru a variatorului.

Din relația (12) rezultă că dacă  $f < f_0$  într-o perioadă de reglare vor apărea mai multe puncte extreme ale tensiunii pe condensator iar ondularea maximă a tensiunii va fi

$$(\Delta U_{C_e})_{max} = \frac{2 I_m}{\omega_0 C_e} \cdot \frac{1}{\sin \frac{\pi}{2} \frac{\omega_0}{\omega_0}} \quad (16) \quad (33)$$

Dacă  $f > f_0$  ondularea este maximă pentru  $\phi = 0,5$

$$(\Delta U_{C_e})_{max} = \frac{2 I_m}{\omega_0 C_e} \cdot \frac{1}{2} \cdot \frac{\pi}{2} \frac{\omega_0}{\omega_0} \quad (16) \quad (f > f_0)$$

Tot în fig.19 se prezintă variația în timp a curentilor prin elementele circuitului și a tensiunii la bornele condensatorului.

Din cele prezentate rezultă că pentru a limita supratensiunile determinate de funcționarea varistorului la valori rezonabile trebuie să se alegă  $f > f_0$ . În general pentru dimensionarea economică a elementelor filtrului de intrare se cere îndeplinită condiția

$$f \geq (2 - 3) f_0 \quad (17) \quad (34)$$

relație care corespunde și condiție de limitare a oscilațiilor curentului din linia de contact a căror amplitudine maximă este dată de relația

$$(\Delta I_e)_{max} = C_e L_e \left[ \frac{1}{\cos \left( \frac{\pi}{2} \frac{\omega_0}{\omega_0} \right)} - 1 \right] \quad (17) \quad (35)$$

În plus frecvențele  $f$  și  $f_0$  trebuie să încâseze și de alte cerințe ale instalației și sursei de alimentare. Alegera frecvenței de rezonanță a filtrului este legată de valorile  $L_e$  și  $C_e$  precum și de condiție de independență minima față de armonice de 50 Hz din curentul liniei de contact. Frecvența de lucru a varistorului este legată la rîndul ei de celeritatea tiristorelor, de soluție adoptată pentru pornire și de metoda de comandă utilizată. Rezultă deci că frecvența proprie de oscilație  $f_0$  trebuie să aibă valoarea minima care rezultă din condiția (17) și în același timp să corespundă unor dimensiuni minime pentru elementele filtrului. Astfel frecvența optimă de oscilație corespunde valoii maxime obținute

în condiție că inductanță liniei de contact este minimă.

Experiență a aratat că pentru tot domeniul  $f_0/f > \frac{1}{2}$  se sper supratensiuni foarte sensibile la variația inductanței  $L_t$ . Aceasta inductanță conține inductanță rețelei care este un parametru variabil în tracțiunea electrică în funcție de distanță care separă vehiculul de stația de alimentare.

Dacă  $\frac{f_0}{f} < \frac{1}{3}$ , din relația (16), înlocuind tangente prin argumentul său rezultă o relație simplificată a amplitudinii maxime a ondulației tensiunii pe condensator.

$$\Delta U_{\text{max}} = \frac{\omega T}{2C_c} \quad (19) \quad [35]$$

Se constată că pentru aceeași ondulare a tensiunii capacitatea condensatorului va fi cu atât mai mică cu cât frecvența de reglare va fi mai mare.

Inductanța  $L_e$  a filtrului de intrare reduce ondulația curentului în linie de contact la o amplitudine suficientă de joasă pentru a nu perturba alții utilizatori. Acest lucru este deosebit de important în tracțiunea electrică unde prezintă curentului alternativ care circulă în rețea poate perturba circuitele de semnalizare sau de telecontrol.

Dacă se ia  $\frac{f_0}{f} < \frac{1}{2}$  și se înlocuiește în relația (18) știind că amplitudinea maximă a ondulației se obține pentru  $\beta = 0,5$  rezulta :

$$\Delta U_{\text{max}} = \frac{\omega}{32L_e C_c} \quad (20) \quad [35]$$

Deci pentru aceeași ondulare a curentului, valoarea inductanței  $L_e$  va fi cu atât mai mică cu cât frecvența de reglare va fi mai mare.

### 3.5.4. Influența frecvenței asupra instalațiilor de telecomunicări și de semnalizare /13, 40, 55, 56/

Este lesne de înțeles că și din acest punct de vedere schemele de comandă prin lățimi de impulsuri sunt mai avantajoase.

In toate cazurile, estimarea efectului perturbator asupra instalațiilor de semnalizare și de telecomunicații este dificilă deoarece redresoarele produc armonici care sunt multiplii ale frecvenței rețelei trifazate de alimentare. Deoarece majoritatea redresoarelor folosite în tracțiunea electrică urbană sunt hexapulsative, pentru frecvența rețelei de 50 Hz rezultă în rețeaua de curent continuu armonica de  $50 \times 6 = 300$  Hz,  $50 \times 12 = 600$  Hz,  $50 \times 18 = 900$  Hz.etc.

Pentru a obține cele mai mici tensiuni necesare la pornire și la frânare, este necesar să se reducă frecvența de lucru a varistorului deoarece s-a aratat anterior că d nu poate fi redus sub o anumită limită. Aceasta frecvență nu se alege la întâmplare ci se obține prin divizarea frecvenței de bază. Fie  $\frac{f}{p}$  noua valoare a frecvenței de funcționare a unui varistor. Dacă vehiculul comportă K varistore decalate din punct de vedere al comenzi, în curentul de linie vor apărea armonici cu frecvența  $\frac{kf}{p}$  și multiplii acestora.

Datorită dezechilibrelor de curent, inevitabile între varistore, în descompunerea formei de undă a curentului va apărea și frecvența  $\frac{f}{p}$  și armonicele sale.

Rezultă deci că în cazul comenzi decalate curentul din linie va conține pe lîngă armonicele produse de stațiile de redresare și frecvențele datorate funcționării varistorelor,  $\frac{kf}{p}, 2\frac{kf}{p}, 3\frac{kf}{p}$  etc. (armonica aI, aII, aIII, etc. ale frecvenței rezultante intercalate)  $\frac{f}{p}, \frac{2f}{p}, \frac{3f}{p}$  etc. (armonicele aI, aII, aIII etc. ale frecvenței divizate).

Din punct de vedere al influenței asupra instalațiilor de telecomunicații este convenabil să se aleagă frecvențele de pornire pentru care termenii  $\frac{f}{p}, \frac{2f}{p}, \frac{3f}{p}$  ca și armonicele lor să nu coincidă cu frecvența utilizată în instalațiile respective. Din practică s-a constat că alegerea diviziilor 27, 33, 3 raspunde acestor condiții.

Un caz particular îl constituie influența frecvenței de 50 Hz care se găsește în curentul din linie asupra circuitelor de semnalizare în curent alternativ de 50 Hz. Din acest punct de vedere pentru filtrul de intrare se impune o valoare limită minima a impedanței la frecvența de 50 Hz inclusiv pentru cazul cînd vehiculul se găsește lînă stăția de alimentare

(inductanță liniei, minima). Problema poate fi rezolvată fie prin dimensionarea filtrului de intrare pentru o frecvență proprie mai mică sau mai mare de 50 Hz, prin instalarea pe vehicul a unui filtru de intrare suplimentar care să aibă o impedanță suficient de mare pentru frecvențe de 50 Hz. Dimensionarea filtrului pentru frecvențe proprii mai mici de 50 Hz este neeconomică și conduce la gabarite mari ale filtrului.

Dimensionarea filtrului pentru frecvențe proprii mari de 50 Hz prezintă inconvenientul că trebuie să se aleagă o frecvență prea mare de lucru a variatorului. Ultima soluție pare cea mai avantajoasă, mai ales pentru puteri nu prea mari.

Din cele prezентate se trage concluzie că alegerea frecvenței de lucru a variatorului rezultă că un compromis între imperativele variatorului, ale sarcinii, ale sursei de alimentare și ale altor instalații electronice a căror funcționare poate fi perturbată și cele legate de dimensiunile și prețul celulei filtrului de intrare.

O soluție foarte interesantă a problemei de alegere a frecvenței este folosirea comenzi decalate. Această constă în utilizarea a două sau mai multe variatoare care funcționează la aceeași frecvență dar la cere comenziile sănt decalate în mod judicios.

Schemele sunt diferite pentru cazul vehiculelor cu un singur motor față de cel al vehiculelor cu două sau mai multe motoare.

In fig.20 se prezintă schema comenzi decalate în cazul unui singur motor de tracțiune [60].

Bobina de absorbție  $L_s$  care lucrează în regim nesaturat joacă rol de divisor de tensiune, potențialul punctului D fiind menținut la mijlocul diferenței de potențial dintre punctele A și B. Cele două variatoare funcționează cu aceeași frecvență dar sunt comandate defazat unul față de celălalt cu o semiperioadă. Variatia în timp a tensiunilor între punctele AB și BC reprezintă forma cunoscută a tensiunii de ieșire a variatoarelor de tensiune continuă componentă. Tensiunea

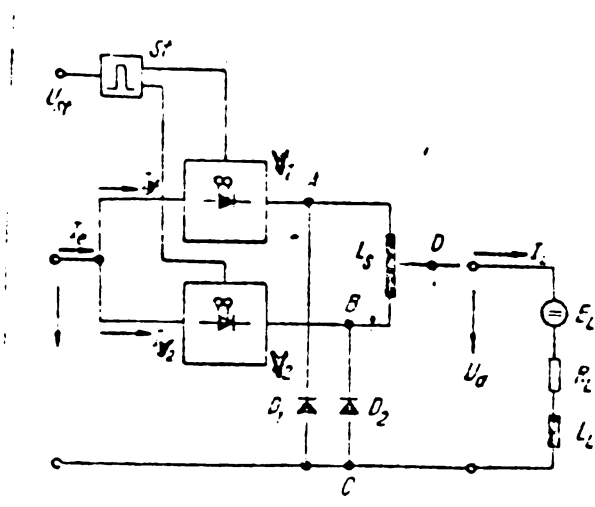


Fig.20 - Schema de principiu a comenzi decalate în cazul unui singur motor de tracțiune.

de ieșire a schemei compuse va fi menținută de bobina la valoarea medie între tensiunile  $U_{AC}$  și  $U_{BC}$ . Frecvența curentului în linia de contact și în sarcină este egală cu dublul frecvenței de lucru a unui variator.

In cazul unui vehicul cu două sau mai multe motoare [60] (fig.21) fiecare motor este alimentat prin cîte un variator de tensiune continuă. Deoarece frecvența de lucru a variatorului este identică iar duratele lor de conducție sunt egale, dar decalate în timp cu  $\frac{T}{K}$  mărimele de intrare ( $I_1$  și  $U_{ce}$ ) vor oscila cu frecvență k.f. În această situație

$$(\Delta U_{ce})_{max} = \frac{I_m T}{\pi K C_e} ; \quad \therefore \propto I_m$$

și amplitudinile maxime se obțin pentru  $\phi = 1/2K, 3/2K$ , etc.

Rezultă că pentru o aceeași undulare, schema cu  $K$  motoare acționate individual prin variator de tensiune continuă comandat decalat cu  $\frac{T}{K}$  față de celelalte variatoare conduce la o scădere a valorii capacitații și inducției filtrului de  $k$  ori.

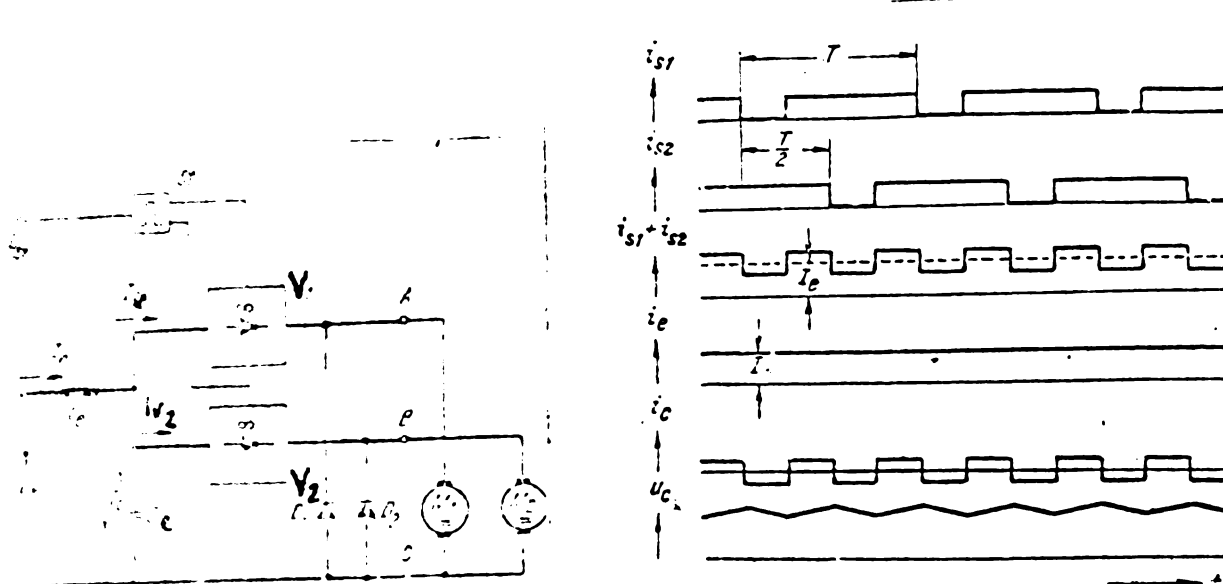


Fig.21 - Schema de principiu a comenzi deacelate cu două variatoare de tensiune continuă în cazul unui vehicul cu două sau mai multe motoare.

### 3.6. Condiții pentru asigurarea continuității funcțiilor schemelor cu variator [18]

Curentul de încarcare a condensatorului filtrului de intrare, poate provoca declansarea intreruptorului automat dacă nu se asigură o reducere a raportului  $\frac{di}{dt}$ . Această lucru se realizează pe de o parte conectând inductanța filtrului de intrare, înaintea condensatorului și pe de altă parte intercalarea unei rezistențe de preanclansare imediat după intreruptor, rezistență care se scurtcircuitează imediat după încarcarea condensatorului. Rezistența de preanclansare este indicată atunci cind pentru limitarea raportului menționat mai sus ar fi necesara supradimensionarea inductanței filtrului.

Intreruperea alimentării variatorului fie ca urmare a declansării intreruptorului automat fie datorită unui contact acorespunzător între captator și linia de contact sau între contact și sursă fie la trecerile prin măuze perturbă buna funcționare a variatorului. Este știut faptul că stingerea tiristorului principal al variatorului se poate produce numai dacă condensatorul de stingeră este încărcat la o tensiune cu o anumită polaritate. În caz contrar tiristorul rămâne aprins și curentul prin sarcină va crește similar unui

scurtcircuit. Deci pentru buna funcționare a variatoarelor este necesar ca la bornele lor să fie asigurată în permanență o tensiune minima. Acest lucru se realizează printr-un dispozitiv de control al tensiunii de alimentare care să blocheze impulsurile tiristorului principal la scăderea tensiunii sub limite admise.

Cap.4. Variatorul de tensiune continuă în schemele de pornire, modificarea turajiei și frânarea electrică a motoarelor de curent continuu cu excitare serie utilizate în tracțiuni electrice urbane.

#### 4.1. Utilizarea variatorului pentru pornirea motorului de tracțiune

Pornirea motorului serie de curent continuu folosind variatorul de tensiune continuă poate fi realizată ca și în schemele clasice tensiunea la bornele motorului fiind modificată conform schemelor din fig. 22 și 23.

Fig.22 - Pornirea motorului de curent continuu cu excitare serie prin comandă prin impulsuri a valorii rezistenței.

Fig.23 - Pornirea motorului de curent continuu cu excitare serie prin comandă prin impulsuri a tensiunii de alimentare a motorului.

In scheme din fig.22 modificarea valorii tensiunii la bornele motorului se realizeaza prin variație continuă rezistenței de pornire  $R$  inserată în circuitul motorului.

Variația tensiunii la bornele motorului și a curentului prin motor într-o perioadă de reglare în ipoteza  $T \ll \tau_c$  este prezentată în fig. 24.

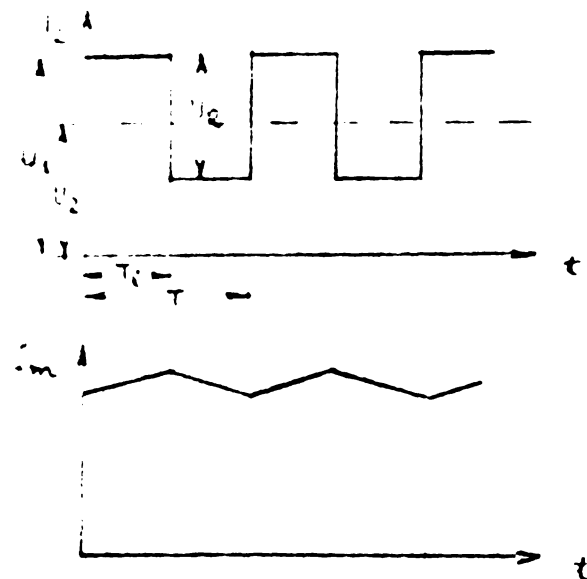


Fig.24 - Variația tensiunii la bornele motorului și a curentului prin motor în perioada pornirii cu schema din fig.22.

Într-o perioadă de reglare tensiunea medie la bornele motorului este dată de relația

$$\bar{U}_m = U_1 - (1 - c^2) R I_m \quad (21)$$

$I_m$  fiind valoarea medie a curentului prin motor.

Variația curentului prin motor este dată de relații:

- pentru cazul cînd variatorul conduce ( $0 \leq t \leq \tau_c$ )

$$I_m = E + r_c + L \frac{di}{dt} \quad (21')$$

- pentru cazul cînd variatorul este blocat ( $\tau_c \leq t \leq \tau$ )

$$U_1 - E + r_c i_m + L \frac{di}{dt} \quad (21'')$$

Din relațiile (21'), (21'') se determină legea de creștere, respectiv de scădere a curentului de pornire într-perioada de reglare

$$i = \frac{U_1 - E}{r} \left( 1 - e^{-\frac{t}{Z_1}} \right) + I_{min} e^{-\frac{t}{Z_1}} \quad (22)$$

$$i = \frac{U_1 - E}{r+R} \left( 1 - e^{-\frac{t}{Z_2}} \right) + I_{max} e^{-\frac{t}{Z_2}} \quad (23)$$

unde :

$U_1$  - tensiunea sursei de alimentare

$E$  - t.e.m. a motorului

$r$  - rezistență înfășurărilor motorului

$L$  - inductanță înfășurărilor motorului

$R$  - rezistență de pornire

$$Z_1 = \frac{L}{r}$$

$$Z_2 = \frac{L}{r+R}$$

$I_{max}$ ,  $I_{min}$  - limitele între care variază curentul de pornire.

Tinând seama de faptul că la  $t = T_i = \delta T$

$i = I_{max}$  iar la  $t = T$ ,  $i = I_{min}$ , se pot determina valorile  $I_{min}$ ,  $I_{max}$ .

$$I_{max} = \frac{U_1 - E}{r} \left( 1 - e^{-\frac{\delta T}{Z_1}} \right) + I_{min} e^{-\frac{\delta T}{Z_1}} \quad (24)$$

$$I_{min} = \frac{U_1 - E}{r+R} \left[ 1 - e^{-\frac{\delta T}{Z_2}} \right] + I_{max} e^{-\frac{\delta T}{Z_2}} \quad (25)$$

care conduc la

$$I_{max} = \frac{\frac{U_1 - E}{r} \left( 1 - e^{-\frac{\delta T}{Z_1}} \right) + \frac{U_1 - E}{r+R} e^{-\frac{\delta T}{Z_2}} \left( 1 - e^{-\frac{\delta T}{Z_1}} \right)}{1 - e^{-\frac{\delta T}{Z_2}} e^{-\frac{\delta T}{Z_1}}} \quad (26)$$

$$I_{min} = \frac{\frac{U_1 - E}{r} e^{-\frac{\delta T}{Z_2}} \left( 1 - e^{-\frac{\delta T}{Z_1}} \right) + \frac{U_1 - E}{r+R} \left( 1 - e^{-\frac{\delta T}{Z_2}} \right)}{1 - e^{-\frac{\delta T}{Z_2}} e^{-\frac{\delta T}{Z_1}}} \quad (27)$$

Din aceste relații se pot determina, pentru circuitului dat, variația repartului ciclic și în funcție de t.e.m. respectiv, de tensiunea motorului. Stiind că în perioada pornirii, motorul funcționează pe porțiuni de saturată a caracteristicii de magnetizare se poate considera  $E = kn$  și

$$\frac{U_1 - kn}{r} e^{-\frac{\sigma t}{Z_1}} + \frac{U_1 - kn - \frac{\sigma t}{Z_1} (1 - e^{-\frac{\sigma t}{Z_2}})}{r + R} = \frac{1 - e^{-\frac{\sigma t}{Z_1}}}{e^{-\frac{\sigma t}{Z_2}}} - \frac{\sigma t}{Z_1} - \frac{\sigma t}{Z_2} \quad (28)$$

$$\frac{U_1 - kn}{r} e^{-\frac{\sigma t}{Z_1}} + \frac{U_1 - kn - \frac{\sigma t}{Z_2} (1 - e^{-\frac{\sigma t}{Z_2}})}{r + R} = \frac{1 - e^{-\frac{\sigma t}{Z_1}}}{e^{-\frac{\sigma t}{Z_2}}} - \frac{\sigma t}{Z_1} - \frac{\sigma t}{Z_2} \quad (29)$$

Curentul mediu de pornire este dat de relație:

$$I_m = \frac{1}{T} \left\{ \int_{0}^{T} \left[ \frac{U_1 - kn}{r} (1 - e^{-\frac{t}{Z_1}}) + I_{min} e^{-\frac{t}{Z_1}} \right] dt + \right. \\ \left. + \int_{0}^{T} \left[ \frac{U_1 - kn}{r + R} (1 - e^{-\frac{t}{Z_2}}) + I_{max} e^{-\frac{t}{Z_2}} \right] dt \right\} \quad (30)$$

care conduce la expresia

$$I_m = \left\{ \frac{U_1 - kn}{r} \left[ Z_1 (1 - e^{-\frac{\sigma T}{Z_1}}) + \frac{U_1 - kn}{r + R} [(1 - \sigma)T - Z_2 (1 - e^{-\frac{\sigma T}{Z_2}})] \right] \right. \\ \left. + \sigma I_{min} \left( 1 - e^{-\frac{\sigma T}{Z_1}} \right) - Z_2 I_{max} \left( 1 - e^{-\frac{\sigma T}{Z_2}} \right) \right\} \quad (31)$$

Dacă considerăm că în timpul pornirii  $I_m$  rămîne constant, se poate scrie relația pentru caracteristica mecanică a motorului. În aceste condiții :

$$U_1 = E + I_m [r + (1 - \sigma)R]. \quad (32)$$

Din 32 rezultă :

$$\eta = \frac{U_1}{E} = \frac{I_m [r + (1 - \sigma)R]}{K_e \phi} \quad (33)$$

La începutul perioadei de pornire, pentru a asigura în circuit o rezistență care să limiteze curentul la valoarea prescrisa, varistorul lucrează cu durată relativă de conducție scăzută.

Pe măsură ce motorul se acceleră durată relativă de conducție crește astfel ca la  $\delta = 1$  motorul funcționează pe caracteristica mecanică naturală.

Caracteristicile mecanice artificiale ce se obțin sunt asemănătoare cu cele de la metoda clasică de pornire cu reostat cu deosebirea că durata relativă de conducție poate fi modificată continuu de la zero la unu astfel ca aceste caracteristici cuprind întregul domeniu dintre caracteristica artificială corespunzătoare la  $\delta = 0$  și caracteristica mecanică naturală (fig.25).

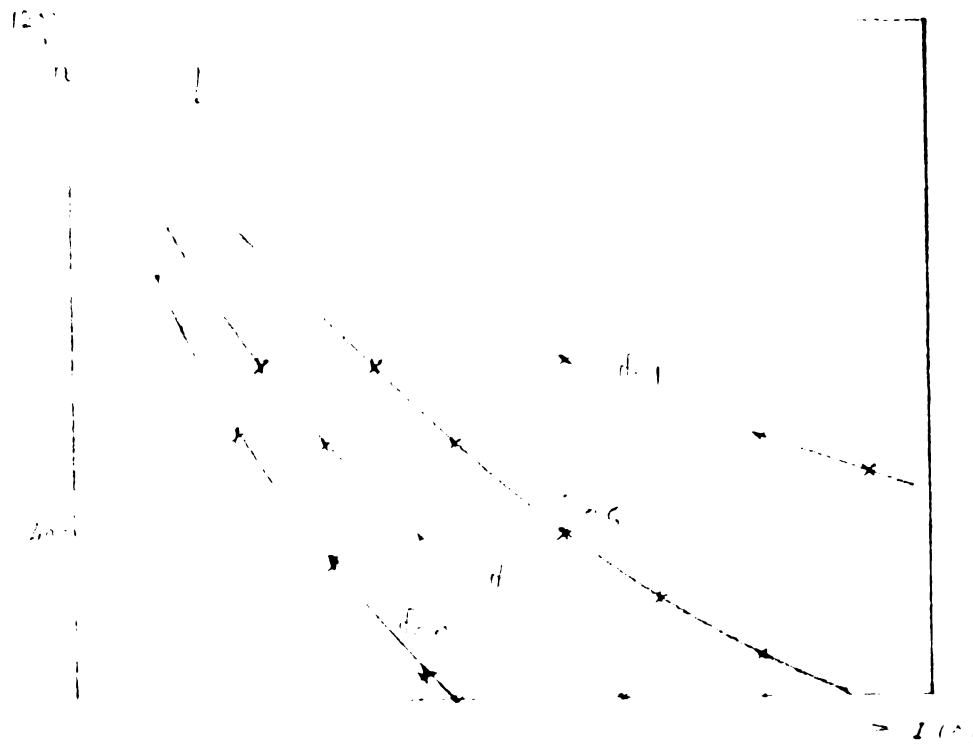


Fig.25 - Caracteristicile mecanice ale motorului în cazul schemei din fig. 22 determinate prin calcul pe baza relației (33)

In felul acesta, forța de tracțiune nu mai variază în salturi ca să speră smucituri cu repercursiuni negative atât privind utilizarea aderenței cât și privind confortul.

Schemă din fig.23 realizează pornirea motorului de tracțiune modificând continuu tensiunea la bornele motorului prin inserarea varistorului în circuitul de alimentare și acestuia. Așa cum se observă din figură, schema conține în plus două diode care asigură continuitatea trecerii curentului prin motor în perioada când varistorul este blocat.

În de aceasta dată, pornind de la relațiile de echilibru și tensiunilor se obțin ecuațiile care exprimă legile de variație a curentului prin motor în cele două perioade de lucru ale varistorului.

$$- \epsilon = r_i i + L \frac{di}{dt} \quad 0 \leq t \leq T_i \quad (34)$$

$$i = \epsilon / r_i + L \frac{d\epsilon}{dt} \quad (T_i \leq t \leq T) \quad (35)$$

În condițiile motorului saturat rezultă:

$$i = \frac{U_{max}}{r_i} (1 - e^{-\frac{t}{T_i}}) + I_{min} e^{-\frac{t}{T_i}} \quad (36)$$

$$= \frac{U_{max}}{r_i} (1 - e^{-\frac{t}{T_i}}) + I_{max} e^{-\frac{t}{T_i}} \quad (37)$$

Stiind că la  $t = 0 T$ ,  $i = I_{max}$  iar la  $t = (1 - \alpha)T$ ,  $i = I_{min}$  se găsesc expresiile pentru limitele de variație a curentului de pornire.

$$I_{min} = \frac{1}{r_i} \left[ U_{max} \left( 1 - e^{-\frac{(1-\alpha)T}{T_i}} \right) - I_{max} \right] \quad (38)$$

$$I_{max} = \frac{1}{r_i} \left[ U_{max} \left( 1 - e^{-\frac{\alpha T}{T_i}} \right) - I_{min} \right] \quad (39)$$

Valeoarea medie a curentului prin motor va fi data de relația

$$\begin{aligned} \bar{i} &= \frac{1}{T} \int_0^T \left[ U_{max} \left( 1 - e^{-\frac{t}{T_i}} \right) - I_{min} e^{-\frac{t}{T_i}} \right] dt + \\ &\quad \left. \left[ \frac{U_{max}}{r_i} \left( 1 - e^{-\frac{t}{T_i}} \right) + I_{max} e^{-\frac{t}{T_i}} \right] dt \right\} \quad (40) \end{aligned}$$

care conduce la

$$I_m = \frac{1}{T} \left\{ \frac{U_1 - kn}{r} \left[ \sigma T - Z_1 (1 - e^{-\frac{\sigma T}{Z_1}}) - \frac{kn}{r} (1 - e^{-\frac{\sigma T}{Z_1}}) \right] + \right.$$

$$\left. + Z_1 I_{max} (1 - e^{-\frac{\sigma T}{Z_1}}) + Z_1 I_{min} (1 - e^{-\frac{\sigma T}{Z_1}}) \right\} \quad (41)$$

In aceste conditii poate fi scrisa relatie :

$$\sigma U_1 = E + r I_m \quad (42)$$

din care rezulta:

$$n = \frac{\sigma U_1}{K_e \phi} - \frac{I_m r}{K_e \phi} \quad (43)$$

Caracteristicile mecanice pentru diferite valori ale duratei relative de conducere  $\sigma$  sunt prezentate in fig. 26

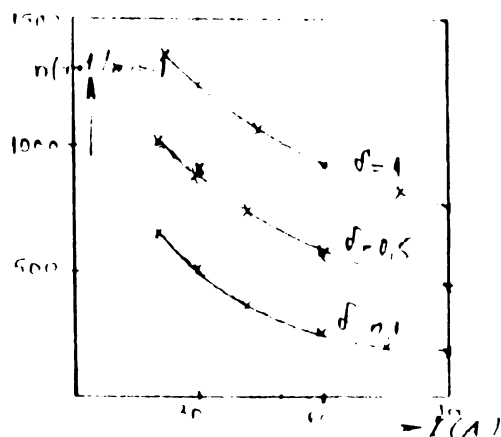


Fig.26 - Caracteristicile mecanice ale motorului in cazul schemei din fig. 23. determinata prin calcul pe baza relatiei (43)

Si in acest caz sunt eliminate socrurile forței de tracțiune.

Este evident că aceasta schema prezintă avantajul că pornirea se realizează fără pierderi de energie, lipsind rezistența de pornire.

In scheme de pornire cu rezistență pierderile de energie în rezistență în intervalul de timp  $\Delta t$  vor fi date ca relație

$$W_p = \int_{t_0}^{t_p} R I_m^2 dt \quad (44)$$

Pe totă durata procesului de pornire energia dissipată în rezistență de pornire va fi

$$W_p = \int_{t_0}^{t_p} \int_{t_0}^{t_p} R I_m^2 dt = R I_m^2 t_p - R I_m^2 \int_{t_0}^{t_p} \delta(t) dt \quad (45)$$

Se observă că pentru același condiții de pornire pierderile de energie în rezistență de pornire în cazul folosirii varistorului sunt mai reduse decât în cazul pornirii conform metodei clasice cu reostat de pornire.

Comparând schemele de pornire din fig.22, 23 rezultă că pe lângă dezavantajele introducerii unor pierderi suplimentare și a îngustării domeniului de comandă, prima schema prezintă și două avantaje importante și anume : inducțanta conductorilor de legături, care poate atinge valori mari în cazul tremuțiului, nu perturbă în nici un fel funcționarea varistorului ; tensiunea pe întreceptorul electronic nu poate depăși produsul dintre curentul de sarcină în momentul între-ruperii ( $I_{max}$ ) și rezistența în paralel.

#### 4.2. Varistorul de tensiune continuă în schemele de modificare a turării motorului de tracțiune

Modificarea turării motorului de tracțiune folosind scheme cu varistor poate fi realizată prin variația tensiunii la bornele motorului și prin slabirea fluxului.

Modificarea turării prin variația tensiunii la bornele motorului se realizează cu scheme asemănătoare cu cele prezentate în fig. 22, 23. Din consideranțe economice se recomandă schema fără pierderi.

Din relația (43) se observă că funcționarea motorului la turație constantă și în condițiile unei sarcini constante presupune meninerea constantă a raportului ciclic. Variatia sarcinii atrage după sine modificarea lui și respectiv mutarea punctului de funcționare a motorului pe altă caracteristică mecanică.

Tinând seama de faptul că în funcționarea normală gradul de saturare al motorului este mai redus <sup>decit</sup> la pornire, este necesară liniarizarea caracteristicii de magnetizare (fig. 32). În aceste condiții expresia t.e.m. devine

$$\mathcal{E} = a_n + b_n I_m \quad (46)$$

$I_m$  fiind valoarea medie a curentului de sarcină.

Variatia curentului prin motor în cele două perioade de lucru ale varistorului în baza relațiilor (34) / (35) va fi

$$i = \frac{U_1 - a_n}{r + b_n} \left( 1 - e^{-\frac{t}{T}} \right) + I_{min} e^{-\frac{t}{T}} \quad (47)$$

pentru  $0 \leq t \leq \sigma T$

$$i = -\frac{a_n}{r + b_n} \left( 1 - e^{-\frac{t}{T}} \right) + I_{max} e^{-\frac{t}{T}} \quad (48)$$

pentru  $\sigma T \leq t \leq T$

Valoarea medie a curentului de sarcină va fi dateă de relație

$$I_m = \frac{1}{T} \left\{ \frac{U_1 - a_n}{r + b_n} \left[ \sigma T - 2 \left( 1 - e^{-\frac{\sigma T}{T}} \right) \right] - \frac{a_n}{r + b_n} \left[ \left( 1 - \sigma \right) T - 2 \left( 1 - e^{-\frac{\left( 1 - \sigma \right) T}{T}} \right) \right] + 2 I_{max} \left( 1 - e^{-\frac{T}{T}} \right) + 2 I_{min} \left( 1 - e^{-\frac{\sigma T}{T}} \right) \right\} \quad (49)$$

$$\bar{Z} = \frac{r + b_n}{r + b_n}$$

Să observă că gradul de saturare influențează rapiditatea desfășurării proceselor de variație a curentilor în circuit.

pentru modificarea turării prin slabirea cîmpului se pot folosi și multe variante de scheme.

Scheme prezentate în fig. 27 se caracterizează prin faptul că varistorul este conectat în paralel cu înfășurarea de excitație și carei inducție poate fi variată în mod continuu conform relației

$$L_{ef} = (1 - \delta) L_e \quad (50)$$

$$L_{ef} = \frac{(1 - \delta)}{1 + \delta} L_e$$

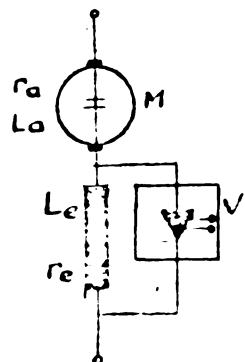


Fig.27 - Slabirea cîmpului motorului prin conectarea varistorului în paralel cu înfășurarea de excitație

În folosirea acestei scheme trebuie să se aibă în vedere mențiunile făcute în 3.3.3. privind efectul inducției.

Dacă se notează cu  $r_a$ ,  $L_a$  rezistența, respectiv inducția înfășurării rotorice și cu  $r_e$ ,  $L_e$  rezistența, respectiv inducția înfășurării de excitație, atunci echilibrul tensiunii în circuit este caracterizat prin relațiile

$$r_a i + r_e \frac{di}{dt} + \epsilon \quad (0 \leq t \leq \delta\tau) \quad (51)$$

$$\epsilon = 1 + \delta \cdot \frac{dL_e}{dt} + \epsilon \quad (\delta\tau \leq t \leq \tau) \quad (52)$$

$\delta \neq 0$

$r_a = r_e$

$i_0 = i_{max}$

$i = i_0 e^{-\frac{t}{T}}$

Rezultă următoarele relații de variație a curentului

$$\frac{di}{dt} = -\frac{\epsilon}{r_a} \left( 1 + \frac{dL_e}{dt} \right) + I_{max} e^{-\frac{t}{T}} \quad (0 \leq t \leq \delta\tau) \quad (53)$$

$$\frac{di}{dt} = -\frac{\epsilon}{r_a} \left( 1 + \frac{dL_e}{dt} \right) + I_{max} e^{-\frac{t}{T}} \quad (\delta\tau \leq t \leq \tau) \quad (54)$$

Curentul mediu prin motor este dat de relaşia

$$I_{\text{rot}} = \frac{1}{T} \left\{ \frac{U_1 - E}{r_a} \left[ \delta T - z_1 \left( 1 - e^{-\frac{\delta T}{z_1}} \right) \right] + \frac{U_1 - E}{r} \left[ (1 - \delta) T - z_2 \left( 1 - e^{-\frac{(1-\delta)T}{z_2}} \right) \right] + \right. \\ \left. + z_2 I_{\max} \left( 1 - e^{-\frac{T}{z_2}} \right) + z_1 I_{\min} \left( 1 - e^{-\frac{\delta T}{z_1}} \right) \right\} \quad (55)$$

unde

$$z_1 = \frac{L_a}{r_a}$$

$$z_2 = \frac{L}{r}$$

Fluxul motorului va fi dat de relaşia

$$\phi = (1 - \sigma^2) L_e I_e$$

Dacă se impune  $\frac{L_e}{r_e} < \frac{1}{\sigma^2}$ , curentul de înfăşurare de excitaţie nu se anulează decât la  $\delta \neq 1$ ; această situaţie trebuie evitată fie prin schema de comandă care nu permite creşterea valoării lui  $\delta$  peste o anumită valoare (aceasta poate fi stabilită în funcăie de cuplul de sarcină) fie prin alegerea unei scheme adecvate de conectare a varistorului în circuitul de suptare.

În [18] este analizată o schema asemănătoare schemei clasice de slabire a cîmpului varistorul, fiind conectat la bornele rezistenăii de suptare (fig. 28)

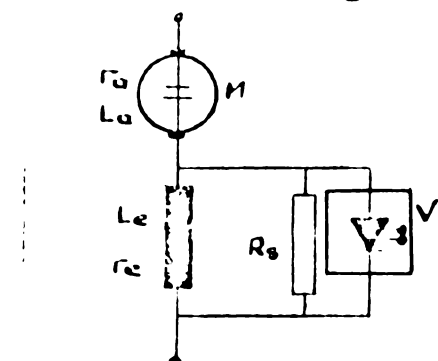


Fig.28 - Slabirea cîmpului prin comandă prin impulsuri a valoării rezistenăii de suptare.

Rezistența de suntere  $R_s$  se alege în funcție de valoarea inițială admisibilă a coeficientului de subexcitare și de tensiune maxima admisibilă pe tiristorul principal care corespunde valorii maxime a curentului rotoric și valorii minime a coeficientului de subexcitare  $\alpha_{min}$ .

Valoarea medie a tensiunii la bornele înfășurării de excitație este data de relația

$$\bar{U}_e = \alpha I_{ref} r_e \quad (57)$$

dar

$$\bar{U}_e = \alpha I_{ref} R_s \quad (58)$$

deci

$$R_s = \frac{\bar{U}_e}{\alpha I_{ref}} \cdot r_e \quad (59)$$

se stie însă că

$$r_s = \frac{L_s}{r_e + R_s} \quad (60)$$

Însă rezistența echivalentă de suntere este data de relația

$$R_{eq} = (1-\delta^2) / R_s \quad (61)$$

care conduce la relația

$$\alpha = \frac{R_s}{\frac{R_s}{1-\delta^2} + R_s} \quad (62)$$

Din 60' și 62' rezulta

$$\delta = \frac{1}{\alpha} R_s (1-\alpha) / (1-\alpha^2) \quad (63)$$

care introdusa în 59' conduce la

$$R_s = \bar{U}_e \cdot R_s (1-\alpha) / (1-\alpha^2) \quad (64)$$

Din 64' se poate stabili legea de variație a duratei relative de conducție  $\delta$  în funcție de coeficientul de subexcitare  $\alpha$

$$\delta = 1 - \frac{\alpha r_e}{R_s (1-\alpha)} \quad (65)$$

In rezistența de suntere au loc pierderi de energie care valoare într-o perioadă de reglare este data de relația

- 61 -

$$W_{R_s} = \int_0^T I_{R_s}^2 R_s dt \quad (66)$$

Dar

$$I_{R_s} = I_{\text{ref.}} (1-\alpha) \quad (67)$$

și

$$R_s = \frac{\alpha r_e}{(1-\alpha)(1-\delta)} \quad (68)$$

Introducind (67) (68) în (66) rezulta

$$W_{R_s} = \int_0^T I_{\text{ref.}}^2 \cdot \frac{\alpha(1-\alpha)}{1-\delta} r_e dt \quad (69)$$

In relațiile de mai sus  $\alpha$  reprezintă un parametru care variaza în timp, marimea lui fiind determinată de marimea vitezei în fiecare moment care se comanda prin raportul ciclic  $\delta$ .

Valoarea medie a curentului prin rotor este data de relația

$$I_{\text{rot.m}} = \frac{1}{T} \left\{ \frac{U_1 - \epsilon}{r_a} \left[ \delta T - \tau_1 (1 - e^{-\frac{\delta T}{\tau_1}}) \right] + \frac{U_1 - \epsilon}{r_a + \alpha r_e} \left[ (1 - \delta) T - \tau_2 (1 - e^{-\frac{(1-\delta)T}{\tau_2}}) \right] + \tau_2 I_{\max} (1 - e^{-\frac{1-\delta}{\tau_2} T}) + \tau_1 I_{\min} (1 - e^{-\frac{\delta T}{\tau_1}}) \right\} \quad (70)$$

unde

$$\left. \begin{aligned} \tau_1 &= \frac{L_a}{r_a} \\ \tau_2 &= \frac{L_a + L_e}{r_a + \alpha r_e} \end{aligned} \right\} \quad (71)$$

Este cunoscut faptul că slabirea cîmpului la motoarele de curent continuu cu excitație serie nu poate fi făcută pînă la valori mai mici de 20-25 % [18]. In aceste condiții durata relativă de conducție nu poate depăși valoarea o,8 și realizat o schema de acționare la care slabirea de cîmp se realizează elegant cu ajutorul unui montaj simplu [36]. Schema este prezentată în fig. 29.

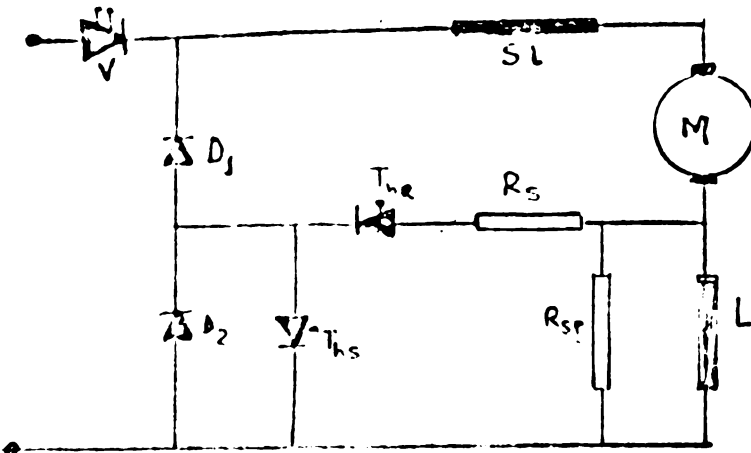


Fig.23 - Schema pentru slabirea cîmpului folosita de S.N.C.F.

In funcționare normală tiristoarele  $T_R$ ,  $T_S$  sunt blocați, motorul funcționează la cîmp plin.

Cînd se comandă să intrește excitației tiristorul principal este în conducție. Se excitează tiristorul  $T_R$  și se realizează cîmpul cu ajutorul tiristorului  $T_S$ . Schema funcționează astfel :

-Tiristorul principal aprins,  $T_R$  stins. Curentul din inducția circula prin înfășurarea de excitație și prin rezistența  $R_{sp}$ .

-Tiristorul principal aprins  $T_S$  aprins. Curentul circula prin  $R_S$ ,  $T_R$  și  $T_S$ , excitația este sărită prin rezistențele  $R_{sp}$  și  $R_S$ .

- Tiristorul principal stins. Curentul inducției se închide prin  $D_1$ ,  $D_2$  permitînd blocarea lui  $T_S$ .

Se poate folosi și suntașul independent cînd variatorul este legat în paralel cu înfășurarea de excitație și cu rezistența de suntaș permanent. Se asigura un reglaj continuu și suplu.

In [3] este tratata pe larg problema utilizarii variatorului de tensiune continua la modificarea vitezei motorului de tractiune de pe locomotiva Diesel-electrica.

Analizind sub toate aspectele aceasta problema in cazul tramvaiului am ajuns la urmatoarele concluzii :

1. Slabirea cimpului in cazul motoarelor de tractiune nu poate sa depaseasca 20-25 % din considerente tehnice. In acest conditii variatorul utilizat pentru slabirea de cimp trebuie sa aiba o constructie speciala cu o gama mai restransa de reglare care sa nu permita functionarea cu durate relative de conductie mai mari de 0,75 - 0,8. Rezulta ca o schema de actionare cu variator trebuie sa contina unul sau mai multe variatoare pentru modificarerea tensiunii la bornele motoarelor de tractiune si cite un variator pentru slabirea cimpului la fiecare motor. Asemenea scheme s-au utilizat de catre - societatile de transporturi din Chicago si San Francisco [95].

2. Utilizarea unui variator de tensiune continua pentru slabirea cimpului in cazul tramvaiului la noi in vara nu se justifica din punct de vedere economic avand in vedere ca un asemenea echipament este destul de costisitor iar functionarea motorului in regim de cimp slabit este sporadică. Condensatoarele de stingere din schemele acestor variatoare fiind alimentate la tensiuni mici (corespunzatoare caderilor de tensiune de pe infasurarile de excitate ale motoarelor) trebuie sa aiba capacitatii ridicate.

3. Marea majoritate a schemelor cu variator realizate pentru actionarea electrica a tramvaiului sau a trenurilor suburbane folosesc sistemul clasic de slabire a cimpului in trepte cu contactoare numarul treptelor variind de la un constructor la altul. Astfel firmele CEC, Siemens si Skoda folosesc o singura treaptă, firma Westinghouse nu foloseste de loc slabirea de timp in cazul trenului cu variator [93] iar la tramvaiul Timis I comandat prin variator slabirea de cimp se realizeaza in doua trepte cu contactoare.

4. În etape actuale întreprinderile de transport în comun urban din ţară noastră nu manifestă interes pentru scheme cu varistor în circuitul de slabire a cîmpului optind pentru soluție clasică de slabire a cîmpului cu contactare.

#### 4.3. Utilizarea varistorului în schemele de frânare electrică.

##### 4.3.1. Frânarea reostatică

Este cunoscut faptul că în schemele clasice frânarea reostatică se realizează de regulă în regim de generator auto-exităt care debitează pe o rezistență a cărei valoare se micșorează treptat pe masură scăderii turăriei.

În schemele cu varistor frânarea reostatică poate fi realizată în același mod ca cel descris mai sus cu deosebirea că rezistența de frânare este variată continuu cu ajutorul varistorului de la valoarea maximă pînă la valoarea zero.

Schemă de frânare reostatică cu varistor este prezentată în fig.30.

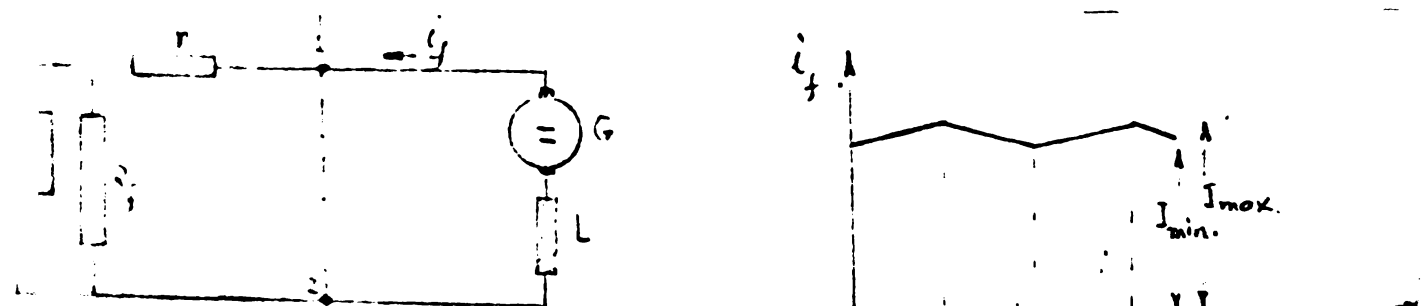


Fig.30 - Schemă de principiu a frânării reostatice.

Pentru studiul procesului de frânare schema poate fi assimilată cu doi dipoli avînd bornele comune 1 2 : Dipolul activ constituit din motorul de tracțiune funcționînd în regim de generator și dipolul pasiv constituit din rezistențe ce se găsesc în circuit.

Scriind relațiile tensiunilor la bornele fiecărui dipol în decursul unei perioade de reglare se obține.

- Pentru dipolul activ :

$$U_{12}^{(1)} = k_e \phi n - L \frac{di_f}{dt} \quad (72)$$

- Pentru dipolul pasiv :

$$U_{12}^{(2)} = i_f [\sum r + (1-\delta) R] \quad (73)$$

Condiția de funcționare stabila este data de egalitatea

$$\begin{aligned} U_{12}^{(1)} &= U_{12}^{(2)} \text{ adică} \\ k_e \phi n - L \frac{di_f}{dt} &= i_f [\sum r + (1-\delta) R] \end{aligned} \quad (74)$$

Sau

$$L \frac{di_f}{dt} = k_e \phi n - i_f [\sum r + (1-\delta) R] \quad (75)$$

Reprezentând grafic în planul  $U$ ,  $I_f$  termenii din partea dreaptă a relației (75) se obțin curbele din fig. 31 [18]

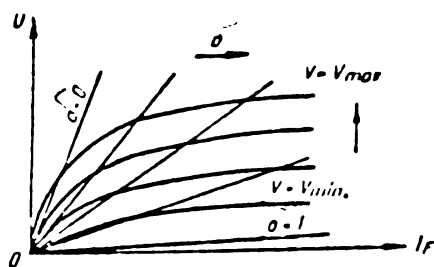


Fig. 31 - Influenta raportului ciclic  $\sigma$  supra înclinația dreptei de sarcină.

Se observă influența raportului ciclic  $\sigma$  supra înclinația dreptei de sarcină.

Din figura rezultă :

a) Pentru o anumită valoare a raportului ciclic curentul de frânare este cu atât mai mare cu cât turăția motorului este mai mare.

b) Turăție minima pînă la care motorul poate fi frînat corespunde valorii  $\sigma = 0$ .

c) Fuzăria motorului poate fi variată continuu de la viteză maximă, la viteză minima impusă de aderență la o viteză constantă a curentului de frânare variind viteză reportului ciclic.

d) Frânarea motorului în domeniul turăștilor scăzute se realizează la valori mici ale lui  $\delta$ .

e) Cuplul de frânare poate fi variat continuu ( și nu în salturi ca în cazul schemei clasice) modificând raportul ciclic.

Stabilitatea funcționării este asigurată dacă

$$\frac{d}{di_f} \left( L \frac{di_f}{dt} \right) < 0 \quad \text{sau}$$

$$\frac{di_f}{dt} < r + (1 - \delta^2) R \quad (76)$$

Rezultă necesitatea precizării valoarei  $\frac{dE}{di_f}$  care se poate face numai linierizând caracteristica  $E=f(i_f)$  (fig. 32).

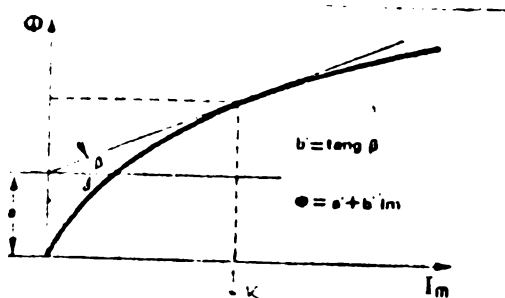


Fig. 32 - Linierizarea caracteristicii de magnetizare.

$$\dot{\alpha} = \alpha n + b n i_f \quad (77)$$

Am vînăut sămă de faptul că pentru regimul stabil de funcționare, curentul de frânare corespunde unei valori  $I = I_f$ ,

$$\frac{dE}{di_f} = \frac{d}{di_f} (\alpha n + b n i_f)$$

adică

$$\frac{di_f}{dt} = b n \quad (78)$$

Inlocuind 78 în (76) rezulta

$$b n < r + (1 - \delta^2) R \quad (79)$$

Intereseaza cazul cind termenul din drepta din relaia (79) are valoare maxima ( $\delta = 0$ )  
Rezulta :

$$R > b_n - \varepsilon r \quad (80)$$

Din (80) rezulta ca rezistenă de frînare trebuie astfel aleasa încit chiar pentru turăgia maxima curentul de frînare să nu depăsească valoarea admisibila.

In general în timpul procesului de frînare este necesara reglarea curentului debităt de generator între o valoare maxima  $I_{max}$  și o valoare minima  $I_{min} = \frac{1}{\beta} I_{max}$

$$1 \leq \beta \leq 5 \quad [18].$$

Valoarea rezistenăi de frînare se determină astfel încit la turăgia maxima să asigure curentul minim, adică

$$R = \frac{\alpha n_{max} + \beta n_{max} I_{min}}{I_{min}} \quad (81) \quad [35]$$

respectiv

$$R = \beta \frac{\alpha n_{max} + \beta n_{max} I_{max}}{I_{max}} \quad (82)$$

Tensiunea maxima la bornele rezistenăi de frînare, deci la bornele chopperului va fi :

$$(U_R)_{max} = R I_{max} = \beta \alpha n_{max} + \beta n_{max} I_{max} \quad (83)$$

Tinind seama de faptul ca tensiunea maxima la bornele generatorului este

$$(U_G)_{max} = \alpha n_{max} + \beta n_{max} I_{max}$$

rezulta

$$(U_R)_{max} - (U_G)_{max} = \alpha n_{max} (\beta - 1) \quad (84)$$

Se observă că variatorul este solicitat la o tensiune mai mare decit tensiunea generatorului, tensiune care este cu atît mai mare cu cît mașina este mai saturată.

In cazul unei mașini saturate  $U_V = \beta (U_G)_{max}$

Pentru a reduce solicitarile de tensiune și a evita supradimensionarea tiristoarelor variatorului se poate face apel la reducerea excitaiei mașinii la viteze mari sau la diviziarea rezistenăi de frînare.

Se știe însă că reducerea curentului de excitație duce la diminuarea cuplului de frânare, fenomen nedorit. Din această cauză s-a impus metoda divizării rezistenței de frânare (fig. 33) [18]

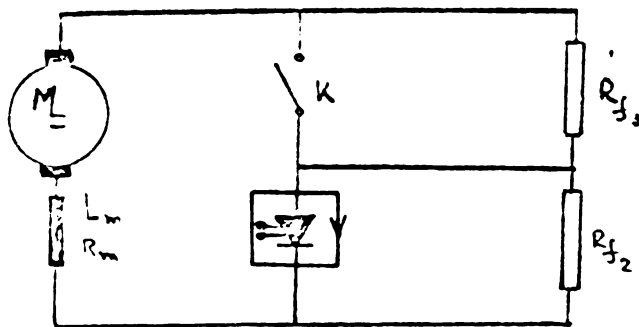


Fig. 33 - Divizarea rezistenței de frânare

Rezistența de frânare s-a divizat în două părți egale variatorul conectându-se la bornele uneia dintre ele. Ceaală jumătate poate fi conectată cu ajutorul unui întreceptor. În aceasta situație tensiunea la bornele variatorului este jumătate din tensiunea ce apare la bornele rezistenței de frânare.

Din studiul frânării reostatică în condițiile schemei cu Chopper am ajuns la concluzia că o deosebită importanță au fenomenele electromagnetice ce se desfășoară în circuit datorită funcționării variatorului. Nu trebuie trecut cu vedere faptul că procesele mecanice nu sunt influențate de variator datorită faptului că frecvența ridicată de lucru a acestuia și inerența mare a sistemului.

Pentru înțelegerea desfașurării proceselor electromagnetice și energetice am pornit dela relațiile care descriu variația în timp a curentului de frânare în cele două etape principale ale perioadei de reglare având la bază fig. 30.

Cind variatorul conduce ( $0 \leq t \leq \sigma T$ ) curentul crește conform relației :

$$i = \frac{m}{R + R_m} \left( 1 - e^{-\frac{t}{T_1}} \right) + I_{max} e^{-\frac{t}{T_1}} \quad (85)$$

Cind variatorul este blocat ( $\sigma T \leq t \leq T$ ) curentul scade conform relației

$$i = \frac{m}{R + R_m} \left( 1 - e^{-\frac{t}{T_2}} \right) + I_{max} e^{-\frac{t}{T_2}} \quad (86)$$

Relațiile (85) (86) au fost determinate în ipoteza liniarizării relației  $E = f(\emptyset)$  conform celor menționate anterior :

$$\zeta_1 = \frac{L}{\Sigma r + bn}$$

$$\zeta_2 = \frac{L}{R + \Sigma r - bn}$$

In prima perioada curentul crește pînă la valoarea maxima  $I_{max}$  corespunzatoare la  $t = \frac{T}{2}$  și în urmatoarea perioadă scade la valoarea minima  $I_{min}$  corespunzatoare la  $t = T$

$$I_{max} = \frac{an}{\Sigma r - bn} \left( 1 - e^{-\frac{\Delta T}{2}} \right) + I_{min} e^{-\frac{\Delta T}{2}} \quad (87)$$

$$I_{min} = \frac{an}{R + \Sigma r - bn} \left( 1 - e^{-\frac{T}{2}} \right) + I_{max} e^{-\frac{T}{2}} \quad (88)$$

Din sistemul de ecuații (87) (88) se pot determina valurile  $I_{max}$   $I_{min}$  obținîndu-se

$$I_{max} = \frac{an}{\Sigma r - bn} \frac{1 - e^{-\frac{\Delta T}{\zeta_1}}}{1 - e^{-\frac{\Delta T}{\zeta_1}} e^{-\frac{T}{\zeta_2}}} + \frac{an}{R + \Sigma r - bn} e^{-\frac{\Delta T}{\zeta_1}} \frac{1 - e^{-\frac{T}{\zeta_2}}}{1 - e^{-\frac{\Delta T}{\zeta_1}} e^{-\frac{T}{\zeta_2}}} \quad (89)$$

$$I_{min} = \frac{an}{R + \Sigma r - bn} \frac{1 - e^{-\frac{T}{\zeta_2}}}{1 - e^{-\frac{\Delta T}{\zeta_1}} e^{-\frac{T}{\zeta_2}}} + \frac{an}{\Sigma r - bn} e^{-\frac{T}{\zeta_2}} \frac{1 - e^{-\frac{\Delta T}{\zeta_1}}}{1 - e^{-\frac{\Delta T}{\zeta_1}} e^{-\frac{T}{\zeta_2}}} \quad (90)$$

Curentul prin motor variază între cele două valori date de relațiile (89) (90), după legea descrisă de relațiile (85) (86) așa cum se arată în fig.34.

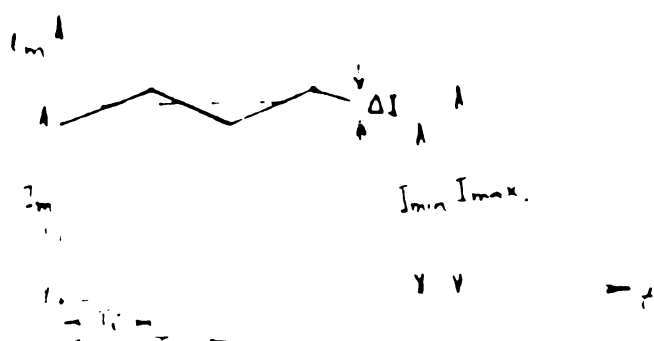


Fig.34 - Curbele, corespunzătoare relațiilor (85) (86)

Valeoare medie a curentului de frinare care determină cuplul de frinare și sta la baza calculului pierderilor în circuit este date de relație :

$$\bar{i} = \frac{1}{T} \int_0^T i_f dt \quad (91)$$

care după efectuarea calculelor conduce la expresia

$$i_f = \frac{1}{T} \left[ \frac{\sigma}{\zeta_1 \zeta_2} \left[ \delta T - \zeta_1 (1 - e^{-\frac{\delta T}{\zeta_1}}) \right] + \frac{\alpha n}{R + \Sigma r - \alpha n} \left[ (1 - \delta) T - \zeta_2 (1 - e^{-\frac{(1-\delta)T}{\zeta_2}}) \right] + \right. \\ \left. \zeta_1 \zeta_2 (1 - e^{-\frac{(1-\delta)T}{\zeta_2}}) + \zeta_2 I_{min} (1 - e^{-\frac{\delta T}{\zeta_1}}) \right] \quad (92)$$

Ecuația (92) descrie în toată complexitatea procesul de frinare reostatică în schemele cu variator stabilind legătura de interdependență între marimile fizice, mecanice și electrice ale acțiunarii. Dacă chopper-ul lucrează la frecvență constantă (cazul cel mai des întâlnit) se poate determina raportul ciclic  $0 \leq \delta \leq 1$  astfel că frinarea la viteză dată, să fie realizată la curentul de frinare impus.

Variatia curentului de frinare provoacă un transfer periodic de energie între elementele circuitului.

Ecuațiile de echilibru al tensiunilor din circuite în cele două perioade de lucru ale variatorului vor fi cînd variatorul conduce

$$E = L \frac{di_f}{dt} = \frac{1}{f} \Sigma r \quad (93)$$

Cînd variatorul este blocat

$$E = \frac{1}{f} \Sigma r = \frac{1}{f} [ \Sigma r + (1 - \delta) R ] \quad (94)$$

Dacă amplificăm relațiile (93) (94) cu  $i_f dt$  se obțin

$$E \frac{1}{f} dt = \frac{1}{f} \frac{d}{dt} i_f + \frac{1}{f^2} \Sigma r dt$$

sau

$$\frac{1}{f} \frac{d}{dt} i_f = \frac{1}{2} L \frac{d}{dt} i_f^2 + \frac{1}{f^2} \Sigma r dt \quad (95)$$

respectiv

$$\int i_f dt = \frac{1}{2} L \dot{i}_f^2 = [\varepsilon r + (1-\delta)R] i_f^2 dt \quad (96)$$

Termenul  $\int i_f dt$  reprezinta energia electrica furnizata de generatorul in intervalul de timp dt datorita rotatiei rotorului pe seama energiei cinetice inmagazinate in vehicul. Conform celor mentionate anterior  $E = (a + bi)n$ .

Termenul  $\frac{1}{2} L \dot{i}_f^2$  reprezinta energia magnetica inmagazinata in inductanta circuitului.

Termenii  $i_f^2 \varepsilon r dt$ ,  $[\varepsilon r + (1-\delta)R] i_f^2 dt$  reprezinta energia disipata sub forma de caldura in rezistențele circuitului.

Din relatiile (35) (96) rezulta urmatoarele :

a- In perioada cind variatorul conduce, intreaga energie electrica produsa de masina in regim de generator serie autoexcitat, se inmagazineaza in inductanta circuitului sub forma de energie magnetica (se negligeaza pierderile in rezistențele circuitului).

b- In perioada cind variatorul este blocat, energia electrica produsa de masina insumata cu energia electrica ce ia nastere pe seama energiei magnetice inmagazinate in inductanta in prima perioada se transforma in caldura in rezistențele circuitului.

c- Chiar la turasi mici (practic zero) in circuit va circula un curent de frinare pe seama energiei inmagazinate in inductanta circuitului. Acest lucru nu poate fi realizat in schemele clasice.

Este cunoscut faptul ca functionarea masinii in regim de generator serie autoexcitat necesita o preexcitare a acestuia de la o sursa de tensiune continua. Pe de alta parte, asa cum s-a aratat mai sus conectarea variatorului in paralel cu rezistența de frinare face ca aceasta sa fie solicitata la tensiuni imprecisibile. Pentru eliminarea acestor neajunsuri se recomanda folosirea unei scheme de frinare reostatica ca cea din fig. 35.

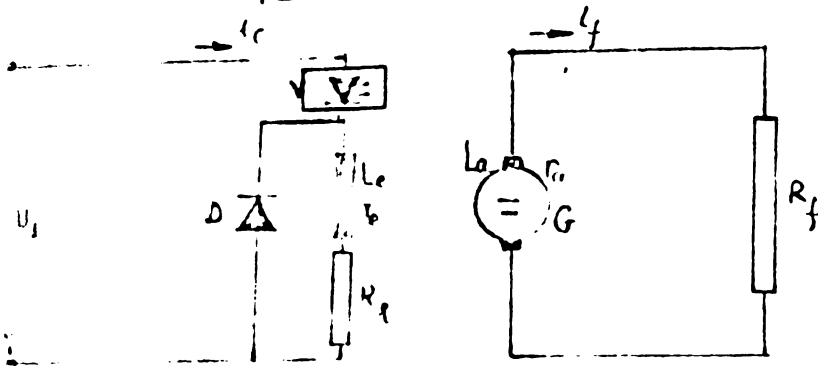


Fig. 35 - Frânarea reostatică cu excitare separata prin comanda prin impulsuri a curentului de excitare.

În analiza acestui schema am pornit de la schema clasică de frânare reostatică, motorul funcționând în revars de generator cu excitare separata.

Se știe că în acest caz un punct de funcționare se găsește la intersecția curbelor

$$\tau = \tau_e + \tau_f \quad (97)$$

$$\dot{\tau} = \tau_e + \tau_f \quad (98)$$

Rezultă

$$\tau = \frac{E}{r_e + R_f} = \frac{k_e \phi n}{r_e + R_f} \quad (99)$$

$$M = K_m \phi \dot{\tau} = \frac{m k_e \phi^2 n}{r_e + R_f} \quad (100)$$

Deci cuplul de frânare poate fi modificat acționind fie asupra rezistenței de frânare, fie asupra curentului de excitare, fie asupra ambelor elemente.

Schēma prezentată în fig. 35 folosește variatorul pentru modificarea curentului de excitare rezistența de frânare rămânind constantă.

O astfel de schema s-a utilizat la troleibuzul TV 201 asupra careia au efectuat experimentări.

Pentru circuitul de excitare, în cele două situații ale variatorului rezulta relațiile :

$$\tau = \tau_e + (r_e + R_f) i_e \quad (101)$$

pentru  $\tau < \tau_e$  (variatorul conduce)

$$L_e \frac{di_e}{dt} + r_e i_e = 0 \quad (102)$$

pentru  $\delta T \leq t \leq T$  (variatorul blocat)

care conduce la relațiile

$$i_e = \frac{U_1}{R_e + r_e} \left( 1 - e^{-\frac{t}{\tau_1}} \right) + I_{min} e^{-\frac{t}{\tau_2}} \quad (103)$$

pentru  $0 \leq t \leq \delta T$

$$i_e = I_{max} e^{-\frac{t}{\tau_2}} \quad (104)$$

pentru  $\delta T \leq t \leq T$

Valeurile între care variaza curentul de excitație vor fi date de relațiile

$$I_{max} = \frac{U_1}{R_e + r_e} \frac{1 - e^{-\frac{\delta T}{\tau_1}}}{1 - e^{-\frac{\delta T}{\tau_1}} e^{-\frac{T}{\tau_2}}} \quad (105)$$

$$I_{min} = \frac{U_1}{R_e + r_e} e^{-\frac{T}{\tau_2}} \frac{1 - e^{-\frac{\delta T}{\tau_2}}}{1 - e^{-\frac{\delta T}{\tau_1}} e^{-\frac{T}{\tau_2}}} \quad (106)$$

Relațiile (105) (106) au fost deduse din (103) (104) înlocuind  $t = \delta T$  respectiv  $t = T$

Din (103) (104) rezultă

$$I_{em} = \frac{1}{T} \left\{ \frac{U_1}{R_e + r_e} \left[ \delta T - \tau_1 \left( 1 - e^{-\frac{\delta T}{\tau_1}} \right) \right] + \tau_1 I_{min} \left( 1 - e^{-\frac{\delta T}{\tau_1}} \right) + \tau_2 I_{max} \left( 1 - e^{-\frac{\delta T}{\tau_2}} \right) \right\} \quad (107)$$

In relațiile de mai sus

$$\tau_1 = \frac{L_e}{R_e + r_e}$$

$$\tau_2 = \frac{L_e}{r_e}$$

Valearea minima a curentului de excitație este determinată de tensiunea minima ce se obține la ieșirea din variator. În cazul analizat tensiunea minima s-a măsurat 40 V rezultând un curent minim

$$U_{max} = \frac{E_{max}}{R_e + r_e} = 604$$

(108)

(La motorul de 74 kW care a fost supus încercărilor  $r_e = 0,15\Omega$  și s-a inseriat rezistență de limitare  $R_f = 0,3\Omega$ )

Așind în vedere că curentul maxim de excitație este cel adus de mașina rezultă tensiunea maximă ce trebuie să fie realizată la ieșirea din variator.

$$U_{max} = U_{max} / (R_e + r_e)$$

(109)

Pentru cazul considerat  $i_{e_{max}} = 220 A$  rezultând  $U_{v_{max}} = 110 V$

Velocarea rezistenței de frânare rezultă din condiția

$v_f \leq v_{max}$

(110)

obținindu-se

$$\beta_f = \frac{i_e R_{max}}{U_{max}}$$

(111)

$\beta_f$  fiind fluxul corespunzător curentului de excitație nominală

Că urmăre a experimentelor efectuate am ajuns la următoarele concluzii :

1. Faza de frânare ramâne constantă doar pentru o gamă restrinsă a variației vitezei vehiculului.

2. Frânarea electrică realizată cu aceasta schema este mai eficace decât cea de la scheme de frânare dinamice întrucât cere motorul să funcționeze ca generator cu excitație serie.

3. Frânarea se realizează în bune condiții pentru variații ale tensiunii de alimentare în limite largi (între 500 V și 900 V).

4. În rezistențe de limitare au loc pierderi importante de energie electrică. Astfel la curentul de 220 A a rezultat o putere disipată de 14,5 kW.

5. Frânarea electrică nu poate fi realizată cind tensiunea de alimentare scăde sub 500 V sau se întrerupe, acest lucru constituiind principalul dezavantaj al schemei descrise evident și în exploatarea tramvaiului Timiș 1 comandat

prin variator de tensiune continuu.

#### 4.3.2. Frînarea electrică cu recuperare de energie

In cazul tracîurii electrice în curent continuu cu motoare serie utilizînd scheme clasicice frînare electrică cu recuperare nu s-a extins datorită faptului că funcționarea acestor motoare în regim de generator este instabilă. Apar în plus dificultăți de realizare a frînarîi care fac că ea să nu se mențina decît la anumite viteze (cca. 1/4 sau 1/2 din viteza maxima [19]) aceasta fiind turăcia sub care tensiunea electromotoare a generatorului devine mai mică decît tensiunea reyelei, excitației, generatorului fiind maximă. Deci în cazul schemelor convenționale acest sistem nu permite oprirea vehiculului.

Folosirea schemelor cu variator de tensiune continuă înălătura acest inconvenient facînd posibila frînarea vehiculului pînă la oprire.

Principial procesul de recuperare este prezentat în fig.36.

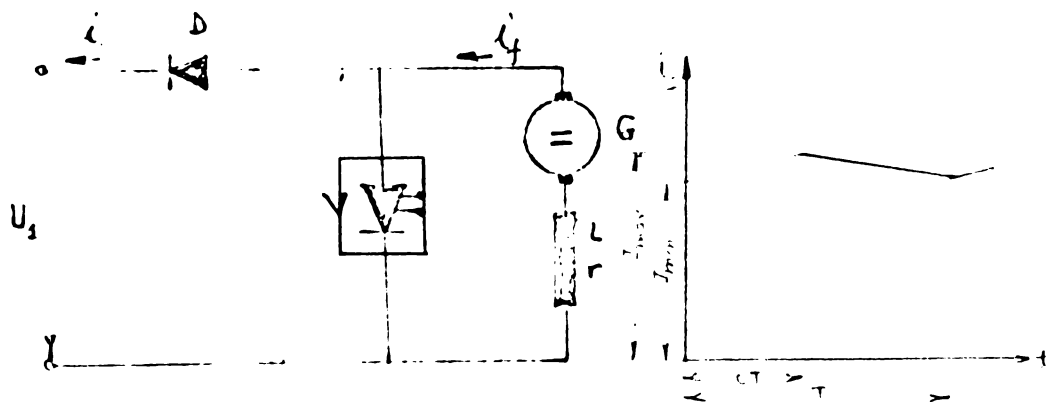


Fig.36 - Schema de principiu a frînarîi cu recuperare de energie.

Cînd variatorul conduce ( $0 \leq t \leq \hat{T}$ ) mașina este scurtcircuitată iar currentul debînat crește conform relației

$$i = \frac{on}{r \cdot bn} (1 - e^{-\frac{t}{\tau_1}}) + I_{max} e^{-\frac{t}{\tau_2}}, \quad (1/2)$$

Cînd variatorul este blocat ( $\hat{T} \leq t \leq T$ ) tensiunea la bornele sale este egală cu tensiunea sursei de alimentare și currentul debînat scade conform relației.

$$\frac{an - U}{r \cdot b_n} \left( 1 - e^{-\frac{T}{Z_1}} \right) + I_{max} e^{-\frac{T}{Z_1}}, \quad (113)$$

$$Z = \frac{L}{r \cdot b_n}$$

Procedind ca și în cazul relațiilor (81) (88) (91) se găsesc expresiile pentru  $I_{max}$ ,  $I_{min}$ ,  $I_{med}$ .

$$I_{max} = \frac{an}{r \cdot b_n} = \frac{U}{r \cdot b_n} \frac{e^{-\frac{dT}{Z_1}} (1 - e^{-\frac{T}{Z_1}})}{1 - e^{-\frac{T}{Z_1}} e^{-\frac{dT}{Z_1}}}, \quad (114)$$

$$I_{min} = \frac{an}{r \cdot b_n} = \frac{U}{r \cdot b_n} \frac{1 - e^{-\frac{T}{Z_1}}}{1 - e^{-\frac{T}{Z_1}} e^{-\frac{dT}{Z_1}}}, \quad (115),$$

$$I_{med} = \left\{ \frac{an}{r \cdot b_n} \left[ dT - Z_1 (1 - e^{-\frac{dT}{Z_1}}) \right] + \frac{an - U}{r \cdot b_n} \left[ (1 - d)T - Z_1 (1 - e^{-\frac{(1-d)T}{Z_1}}) \right] \right.$$

$$\left. + Z_1 I_{max} (1 - e^{-\frac{dT}{Z_1}}) + Z_1 I_{max} (1 - e^{-\frac{(1-d)T}{Z_1}}) \right\} \quad (116)$$

Înaintea la bornele chopperului într-o perioadă de reglare va fi

$$I_{med} = U(1 - d) \quad (117)$$

Este că și cînd curentul debitat de generator se conștiu într-o rezistență de valoare  $\frac{U}{I_m} (1 - d)$

Curentul restituit sursei de alimentare va fi zero în timpul  $0 \leq t \leq c^* T$  (varistorul conduce) și  $I_m$  în timpul  $c^* T \leq t \leq T$  (varistorul blocat).

Deci valoarea medie a curentului restituit sursei de alimentare în timpul unei perioade de reglare va fi  $I_m (1 - d)$

Fenomenele electromagnetice ce au loc în circuit în perioadele de funcționare a varistorului sunt asemănătoare cele descrise la frinarea reostatică cu deosebirea că energia electrică nu se consumă în rezistență ci se restituie sursei de alimentare.

Stabilitatea funcționării este caracterizată de relațiiile

$$\left. \begin{aligned} r < b_n &/ \text{rezultă din relația lui } Z_1 \\ a_n + b_n I_{m_{\text{max}}} &< U_1 + r I_{m_{\text{max}}} \end{aligned} \right\} (118)$$

Prinul membru al ultimei inegalități reprezintă f.e.m. a generatorului la sfîrșitul intervalului  $t = \sigma T$ . Ea trebuie să fie mai mică decât tensiunea relației de alimentare adunată cu cădereea de tensiune electrică din motor. Când frânarea se face la turărie mare este imposibil să fie realizată această condiție fără a introduce rezistențe de limitare care să scurtcircuitează cînd viteza vehiculului scăde.

In aceasta situație (fig.37) scriind realția de egalitate a tensiunilor la bornele comune ale celor doi dipoli la sfîrșitul perioadei de reglare se obține :

$$E - L \frac{di_f}{dt} = I_f (\sum r + \alpha - \delta) / (I_f R + U_1) \quad (119)$$

pentru fig. 37 a

$$E - L \frac{di_f}{dt} = I_f (\sum r + R) + U_1 (1 - \delta) \quad (120)$$

pentru fig. 37 b.

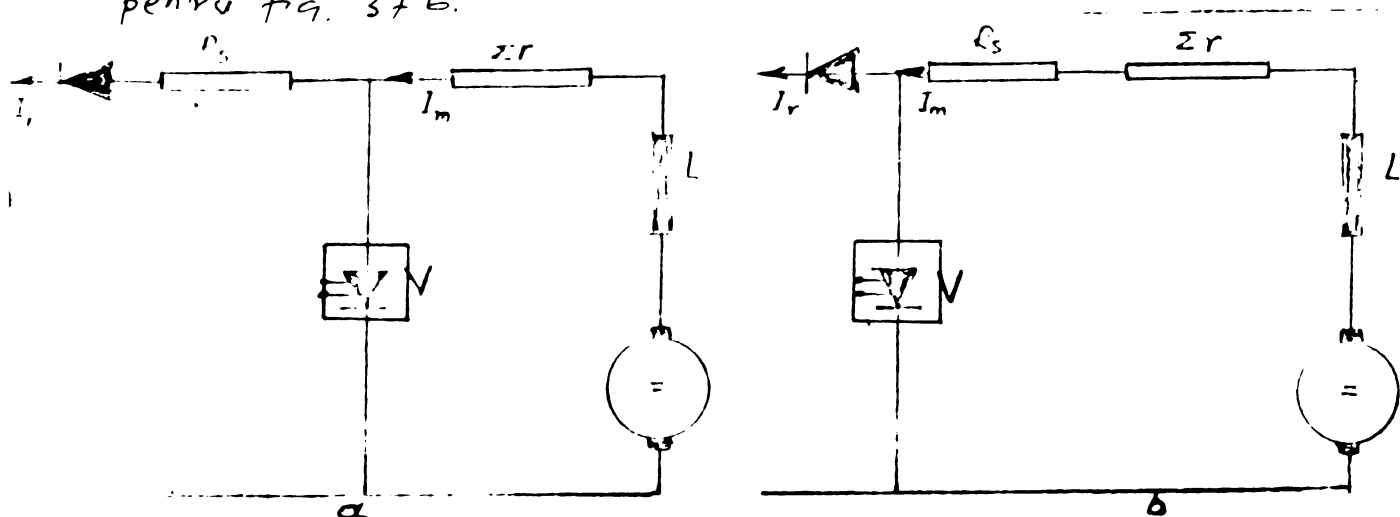


Fig.37 - Limitarea curentului de frânare cu ajutorul unei rezistențe suplimentare

- a) între variator și sursă
- b) între variator și motor

Considerind regimul stabilizat și admisind mașina saturată, pentru o aceeași viteza de deplasare rezultă :

$$\frac{I_2}{I_1} = \frac{(1-\delta^2)U_1}{Z_r + R} \quad (121)$$

$$\frac{I_2}{I_1} = \frac{(1-\delta^2)U_1}{Z_r + R} \quad (122)$$

$$\frac{I_2}{I_1} = \frac{Z_r + R}{Z_r + (1-\delta^2)R} \geq 1 \quad (123)$$

Din cele de mai sus rezulta urmatoarele :

a - Daca se mențin constante viteza și curentul de frânare va fi necesare o creștere a duratei relative de conectare cind rezistența este conectată între motor și variator ( $\delta > 0$ )

Acest lucru are drept consecință diminuarea corespunzătoare a ramei de reglaj.

b - Conectarea rezistenței între motor și variator determină un curent de frânare respectiv un cuplu de frânare și aic.

c - Pierderile în rezistență suplimentară vor fi

$$\frac{P_2}{P_1} = \frac{I_2^2}{I_1^2} (1-\delta^2)R \quad (124) \text{ pentru primul caz}$$

$$\frac{P_2}{P_1} = \frac{I_2^2}{I_1^2} R \quad (125) \text{ pentru cel de al doilea caz}$$

$$\frac{P_2}{P_1} = (1-\delta^2) \cdot \frac{I_2^2}{I_1^2} = \frac{1-\delta^2}{(1-\frac{\delta^2 R}{Z_r+R})^2} = \frac{1-\delta^2}{(1-K\delta)^2} \quad (126)$$

$$1 = \frac{R}{Z_r + R} < 1$$

$$\text{Dacă } \delta < 1 - \frac{C'R}{Z_r + R} \leq 1 ; \quad 0 \leq 1 - \delta \leq 1.$$

Rezulta că marimea raportului  $\frac{1-\delta^2}{(1-K\delta)^2}$  trebuie studiată în funcție de coeficientul K și de raportul ciclic  $\delta$

$$f_1(\delta) = 1 - \delta$$

și

$$f_2(\delta) = (1-K\delta)^2 = K^2\delta^2 - 2K\delta + 1$$

Reprezentând grafic această relație pentru diferite valorile lui K ( $K = 0 \dots 1$ ) se obțin o serie de paralele și careor minim se găsește pe axa absciselor (fig. 38) avind totuște ca punct comun punctul de coordonate  $(0,1)$ .

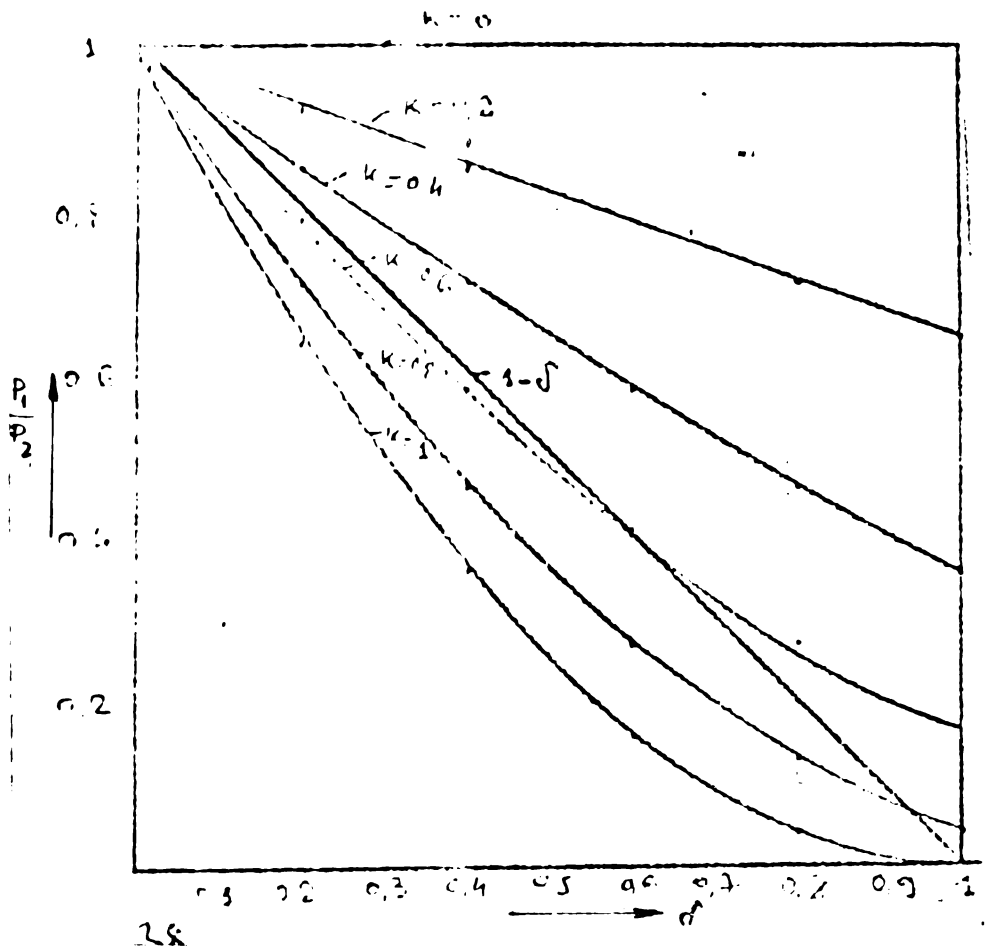


Fig. 38- Curvele corespunzătoare relației 126 în funcție de reportul ciclic  $\delta$  pentru diferite valori ale raportului  $\frac{R}{\sum r + R}$

Delimitând domeniul  $0 \leq \delta \leq 1$  constatăm că dacă  $K \leq 0,5$ , ( $R \leq \sum r$ ),  $f_1(\delta) < f_2(\delta)$  pentru toate valorile lui  $\delta$ . Pentru  $K \geq 0,8$ ,  $f_1(\delta) > f_2(\delta)$  pentru  $0 \leq \delta \leq 0,83$  (practic întregul domeniu de reglare). Pentru  $K = 0,6$ ,  $f_1(\delta) < f_2(\delta)$  pentru  $0,556 \leq \delta \leq 1$  iar pentru  $K = 0,7$ ,  $f_1(\delta) < f_2(\delta)$  pentru  $0,80 \leq \delta \leq 1$  (un domeniu foarte restrâns de reglare). Tinind seama de faptul că  $\frac{f_1(\delta)}{f_2(\delta)} = \frac{P_1}{P_2} = \rho$ , se trag urmatoarele concluzii privind pierderile în rezistență suplimentară :

- conectarea rezistenței suplimentare între varistor și surse de alimentare, conduce la pierderi de energie mai mici indiferent de valoarea reportului ciclic dacă  $R < \sum r$ .

Dacă schema de frânare necesită alegerea unor valori mari pentru rezistență suplimentară ( $\frac{R}{\sum r + R} \geq 0,8$ ), este avantajoasă din punct de vedere al pierderilor ca rezistență să fie conectată între motor și varistor.

- pentru ca  $\frac{R}{z+r+R} \leq 0,6$  adoptarea soluției privind colectarea rezistenței suplimentare trebuie să se facă numai în funcție de durată cît chopperul funcționează cu  $\delta \leq 0,5$ .

In procesul frinării cu recuperare de energie folosind schema cu chopper este deosebit de importantă explicarea fenomenului prin care se realizează condiția  $E > U$  chiar la turașii mici șiut fiind că fluxul magnetic al mașinii nu poate crește peste o anumită valoare atât datorită saturării cît și valorii curentului prin motor.

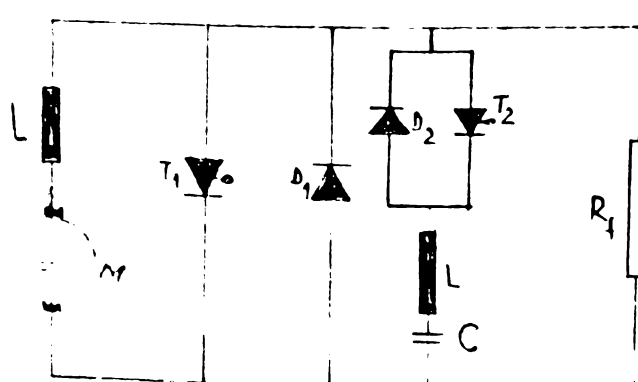
Din fig. 36 rezultă că recuperarea energiei are loc numai în intervalul  $t = (1 - \delta)T$ . În acest interval trebuie să fie îndeplinită condiția  $U_1 > U_2$ , de această dată  $U_1$  fiind tensiunea la bornele varistorului privit dinspre dipolul activ. Aceasta tensiune ia naștere ca suma între tensiunile electromotoare induse în mașină datorită rotației rotorului sub influența energiei cinetice a maselor în mișcare și tensiunile induse în inductanțele circuitului datorită variației fluxului magnetic care în perioade menționate, datorită scaderii fluxului, are același sens cu t.e.m. a generatorului. Valoarea acestei tensiuni depinde de gradientul de flux. Rezultă că atunci cînd frinarea are loc la turașii mari raportul ciclic trebuie să aibă valori mici.

Pentru a măsura ce turașie scade, trebuie să se mărescă cîmpul ce ajunge la  $\delta = 1$  cînd are loc frinarea în scurtcircuit.

Trecerea pe la valoarea  $\delta_1$  la valoarea  $\delta_2 > \delta_1$  se comandă prin curentul de frinare care nu trebuie să scăde sub valoarea  $I_{f, min}$ .

In fig. 39 este prezentată o variantă de schema cu varistor pentru frinarea reostatică [35].

Fig. 39  
Schema cu varistor pt. frinarea reostatică



Dacă  $R_f \geq 2\sqrt{\frac{L}{C}}$  circuitul de descarcare al condensatorului este aperiodic. Tensiunea la bornele condensatorului tinde aperiodic către valoarea  $U_c = R_f I_f \text{ max.}$

Dacă  $R_f < 2\sqrt{\frac{L}{C}}$  tensiunea la bornele condensatorului variază după legi periodice amortizate.

In fig.40 este prezentata schema unui variator pentru frînarea cu recuperare de energie [35].

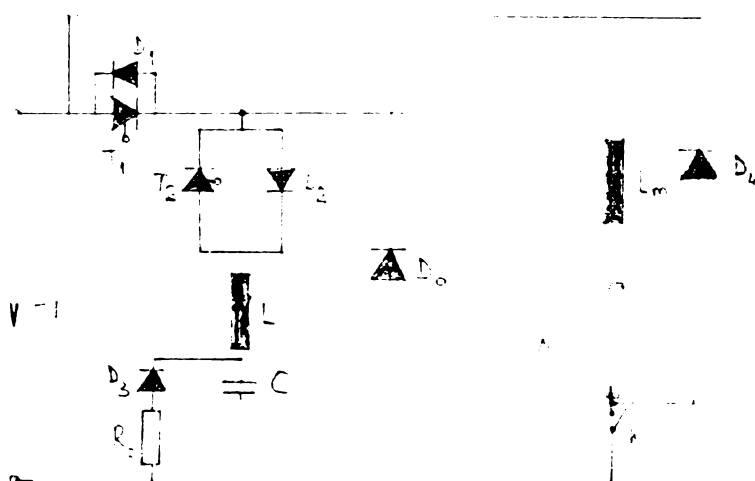


Fig.40. Schema cu variator pentru frînarea cu recuperare de energie.

Energia cinetică a motorului se transformă în energie electrică și se trasmite inductanțelor  $I_s$  și  $L_m$  care constituie un rezervor de energie de unde se restituie rețelei de alimentare în cantitati cu atît mai mari cu cît durata de conducție a lui  $T_2$  este mai lungă decît durata lui  $T_1$ .

Aceasta înseamnă că, presupunind că aprinderea lui  $T_1$  se realizează cu frecvență constantă, faza impulsurilor de amortisare a lui  $T_2$ , de aceeași frecvență, realizează valoarea medie a curentului motorului și în consecință, cuplul de frînare.

In fig. 41 este prezentata schema cu variator pentru frînarea mixta [35].

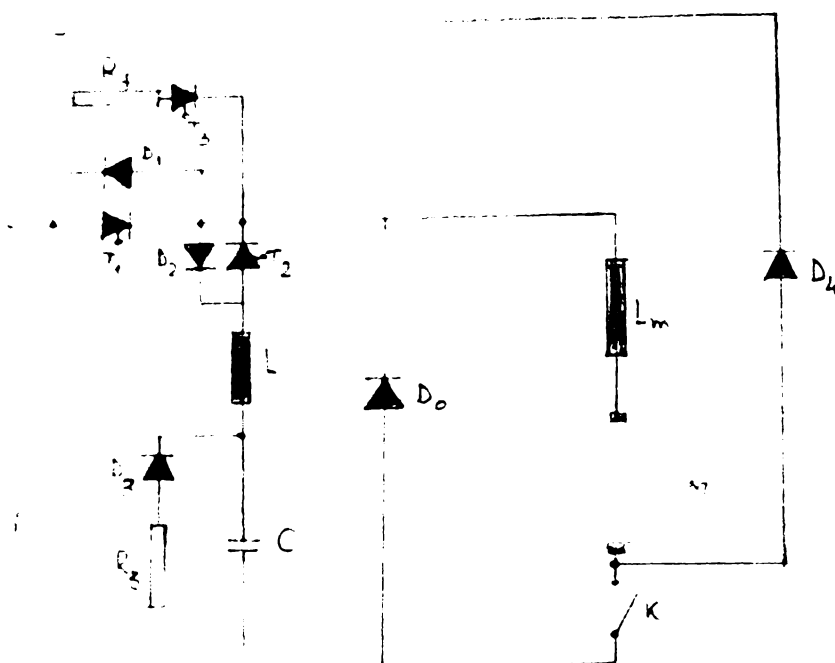


Fig.41 - Scheme cu varistor pentru frinarea mixta.

Fază de scheme precedente, această schema conține un dipol suplimentar (rezistență de frânare  $R_f$  în serie cu tiristorul  $T_2$ ) în paralel cu tiristorul principal.

Interesul principal al acestei scheme constă în faptul că permite frânarea mixtă • parte din energia fiind restituită reglelei iar o parte se disipează în rezistențe de frânare.

Pentru realizarea acestui mod de frânare se sprinde tiristorul  $T_3$  cu un timp  $t_r$  reglabil între momentul de aprindere și tiristorul  $T_1$  și  $T_2$ . Înainte de sprinderea lui  $T_3$  motorul funcționează în regim de frânare prin recuperare. În momentul  $t_3$  se sprinde  $T_3$  și curentul motorului se închide prin rezistența de frânare  $R_f$  și  $T_3$ . Dacă tensiunea  $R_f I_f$  este inferioară tensiunii rețelei de alimentare, curentul  $I_o$  se anulează. Curentul printr rezistența de frânare  $R_f$  continuă să circule pînă la emorsarea lui  $T_1$ . În acest moment curentul de frânare circulă prin  $T_1$ . Energiea disipată în rezistență  $R_f$  va fi cu atât mai mare cu cît emorsarea lui  $T_3$  va fi mai lungă decît a lui  $T_2$ . Cînd rețeaua nu admite frânarea prin recuperare tensiunea rețelei este superioara unei valori prestable și schema realizează o frânare pur reostatică a sprinderea lui  $T_3$  facîndu-se cu o întirziere suficientă față de a lui  $T_2$ . Reglarea fazelor impulsurilor de sprindere a lui  $T_3$  permite realizarea unui dozaj între cele două moduri de frânare.

Cap.5. - Prezentarea unor scheme cu varistor de tensiune continuă utilizate în tracțiunea electrică urbană.

In fig.42 este prezentată schema de acționare cu varistor de tensiune continuă a tramvaiului realizată de firma ACEC [35].

Cele două grupe de motoare sunt permanent conectate în paralel.

In timpul conducției tiristorului principal, curentul motorului trece prin filtrul de intrare, tiristorul principal, inductanța de netezire, dioda de blocare în frânare  $D_4$ , motoare, contactor de conectare în tracțiune KT. În timp ce tiristorul principal este blocat, curentul motoarelor se inclină prin dioda  $D_9$ .

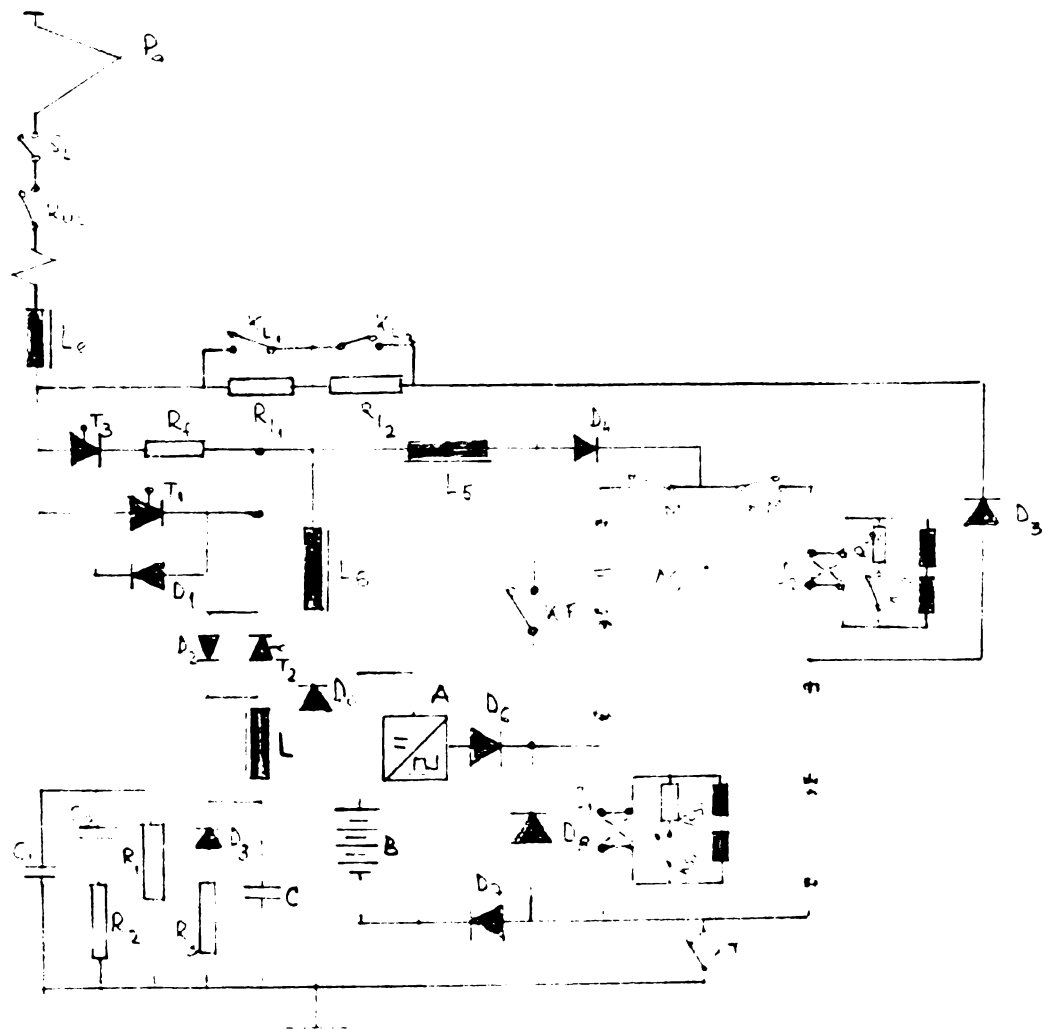


Fig.42 - Schema de principiu a tramvaiului ACEC.

frinare este mixta. Energia cinetica se transforma in energie electrica care se restituie retelei. Daca pe retea se parasesc vehicule care functioneaza in regim de tracțiune si absorbe energie recuperata, tensiunea retelei ramane aproape constanta. Daca insa energia recuperata prin frinare este mai mare decat cea care se consuma, tensiunea creste. Cind aceasta tensiune depaseste o valoare prestabilita variatorul furnizeaza retelei numai energia care poate fi consumata, iar diferența se injecteaza in rezistența de frinare. Aceasta selectare se face automat la fiecare perioada de reglare si incaintata cu o constanta de timp foarte mica, fara nicio interventie exterioara. In functionare in regim de frinare, generatoarele sunt cu autoexcitatie cu o preexcitare de la baterie. In prima fază, generatoarele debiteaza in scurtcircuit, tiristorul principal fiind in conducție. Currentul circula prin dioda de blocaj in tracțiune  $D_3$ , tiristorul principal, inductanța de letezire si contactul de frinare KF.

Currentul creste rapid in timp ce energia se inmagazineaza in inductanțele circuitului. In perioada de blocare a tiristorului principal se considera doua cazuri :

1. Rețea este capabila sa absorba energia ce i se furnizeaza. In acest caz currentul debitat de generatoare trece prin dioda  $D_3$ , filtrul de intrare, rețea si receptoare si revine prin linie, dioda de reversare  $D_6$ , inductanțe  $L_5, L_6$  si contactul KF.

2. Rețea nu este in masura sa preia energia ce i se furnizeaza. Currentul generatoarelor trece atunci prin dioda  $D_3$ , tristorul de frinare  $T_3$ , rezistența de frinare  $R_f$ , inductanța  $L_5$  si contactul KF.

In fig. 43 este prezentata schema de principiu a instalației electrice de acționare a troleibuzului Skoda tip 9 Tr-T [58].

Punctul redresor  $P$  asigura o polaritate fixa pentru circuitul interuptorului cu tiristoare  $V$  dupa schimbarea polaritatii liniei de contact.

Variatorul realizeaza pornirea, modificarea turatiei si frizeres reostatica prin rezistența de frinare  $R_f$ .

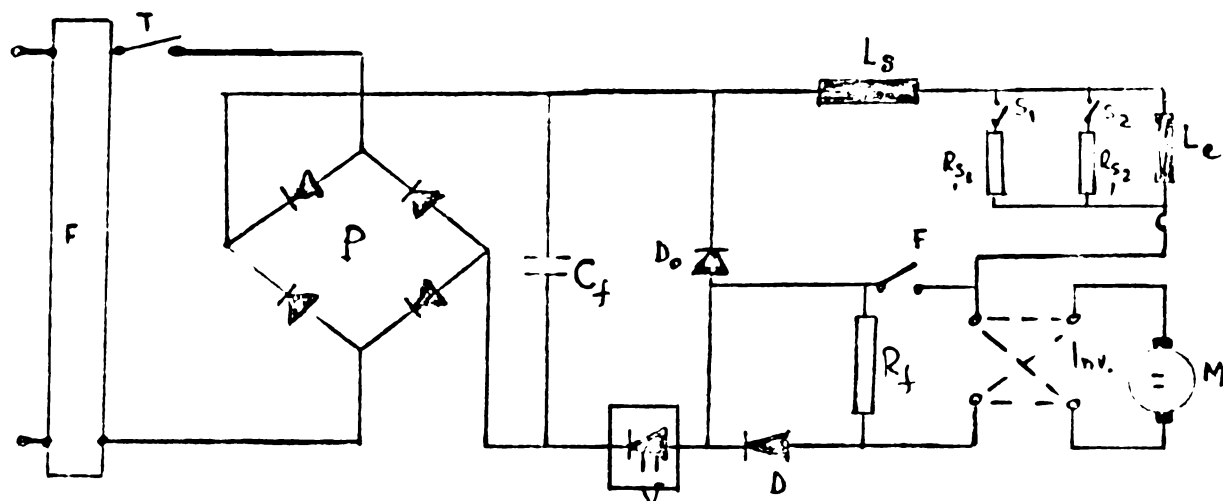


Fig.43 - Schema de principiu a troleibuzului Skoda tip 9 Tr-T.

La funcționarea în tracțiune este conștientat contactorul T iar în frânare contactorul F contactoarele  $S_1, S_2$  folosesc pentru sunarea înășurării de excitație.

La funcționarea în tracțiune, cînd tiristorul principal este sprins curentul trece prin contactorul T, puntea redresoare P, inductanța de netezire  $L_s$ , înășurarea de excitație  $L_e$ , indușul M, dioda D și variatorul V. Cînd tiristorul principal este stîns, curentul motorului se închide prin dioda  $D_o$ .

La frânarea reostatică, cînd tiristorul principal conduce, generatorul debitează în scurtcircuit (contactorul T este deschis iar contactorul F închis).

Cînd tiristorul este blocat, curentul debitat de generator se ramifică în rezistență de frânare și în înășurarea de excitație. Motorul funcționează ca generator cu excitație în paralel.

Schema din fig. 44 reprezintă instalația de forță cu varistorie de tensiune continuă pentru acționarea electrică a tramvaielor tip T și KT din RSC (regimul de tracțiune). [35]

Cele două grupuri de motoare cu excitație serie se comandă decalat de la același convertizor de impulsuri.

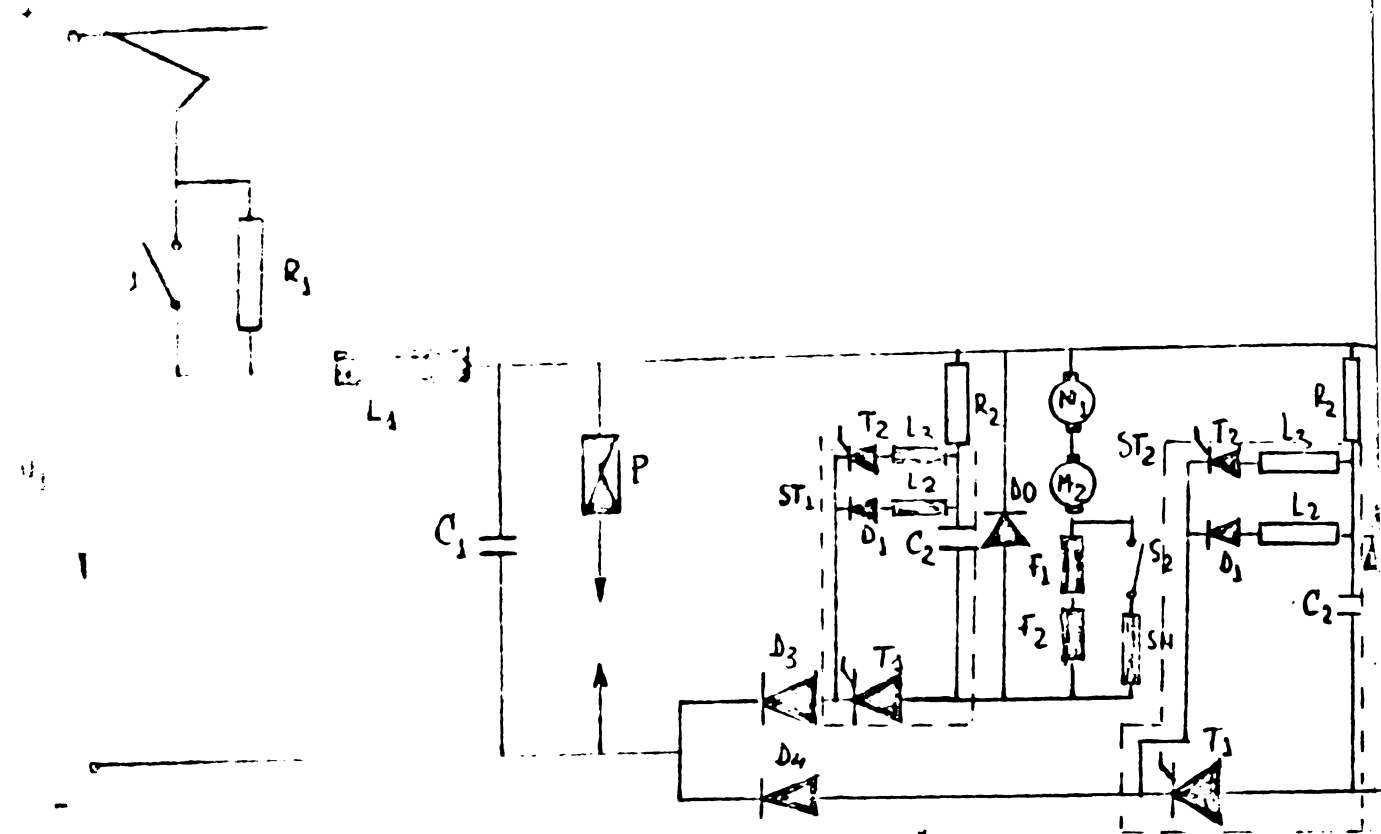


Fig.44 - Schema de principiu trămieiului t p T și KT RSC (regimul de tracțiune)

Schme este realizata pentru urmatorii parametrii :

- tensiunea  $600$  V.c.c.

(toleranță  $400$  -  $720$  V).

- curentul minim de pornire pentru deplasare trămieiului  $2 \times 30$  A.

- curentul maxim de pornire  $2 \times 260$  A

- frecvențe de lucru  $400$  Hz pentru fiecare variator  
Frinarea reostatică se realizează conform schemei din

fig.45.

Variatorul comandă mărimea curentului de excitație de la zero la maxim independent de curentul indușului. Timpul de închidere a tiristorului principal comandă valoarea rezistenței de frinare.

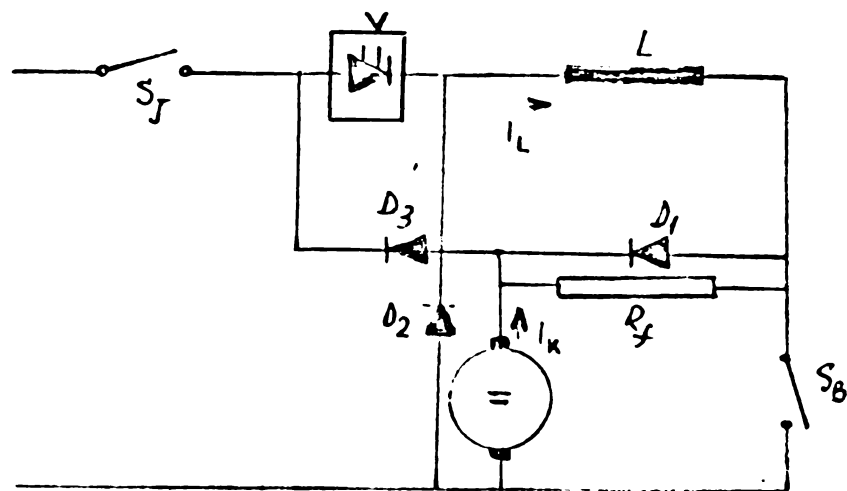


Fig.45 - Frânarea reostatică a motorului de tracțiune.

La înciderea varistorului V, curentul trece de la indus prin dioda  $D_3$  înășurarea de excitație L și în paralel prin rezistența de frânare  $R_f$ . Creșterea curentului în rotor este limitată de inductanța circuitelor iar valoarea ce se atinge de către curent este determinată de regulatorul care comandă deconectarea varistorului. În această situație curentul indusului se închide prin rezistența de frânare iar curentul înășurării de excitație prin dioda  $D_2$ .

In fig. 46 sunt prezentate curbele de variație a curentilor din indus și din înășurarea de excitație în funcție de viteza vehiculului.

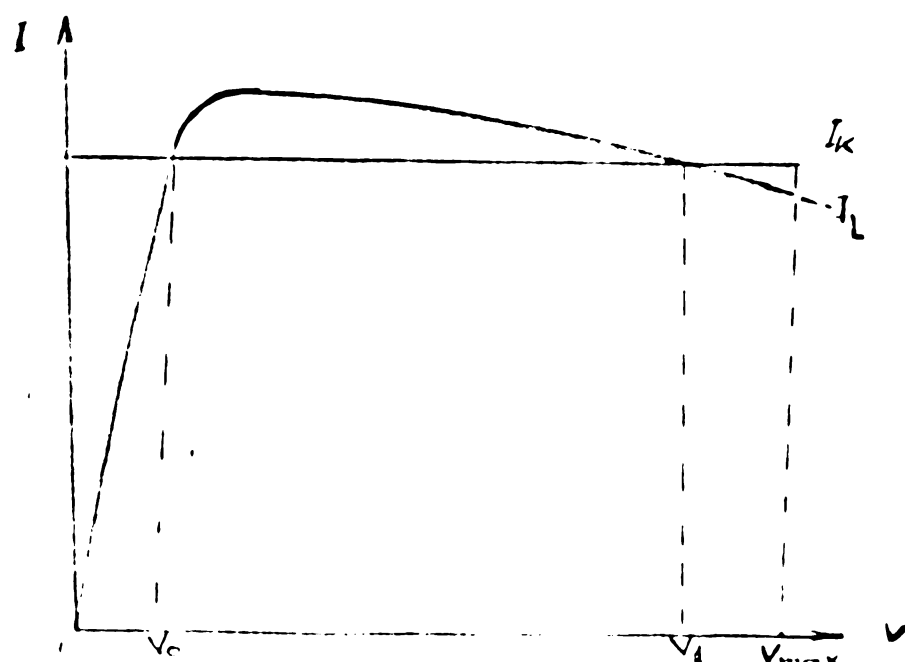


Fig.46- Curbele de variație ale curentului din indus și din înășurarea de excitație în funcție de viteza...

Domeniul de reglare la putere constată este reprezentat de  $0-V_0$  și  $V_1 - V_{max}$  în care curentul de excitație este mai mic decât curentul rotoric.

Al doilea domeniu corespunde cazului în care se micșorează rezistența de frânare concomitent cu creșterea curentului de excitație pînă la limita admisă. Frânarea la cuplu maxim de frânare are loc pînă aproape de viteza zero.

In fig.47 sunt prezentate două variante de scheme realizate de firma Siemens [104]

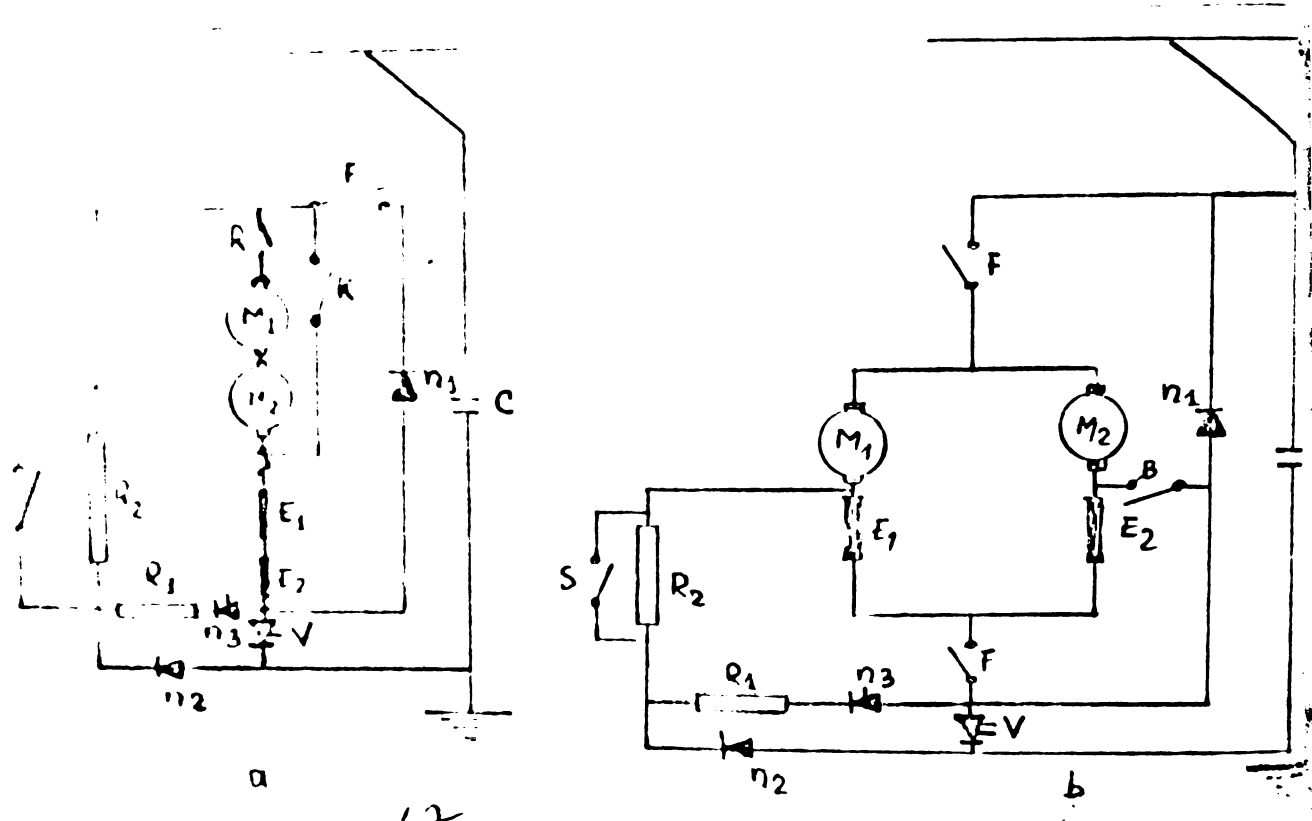


Fig.47 - Scheme cu varistor realizate de firma Siemens

Pentru schema din fig. 47 în regim de tracțiune când varistorul conduce, curentul motoarelor conectate în serie trece prin contactorul F, motoarele  $M_1$ ,  $M_2$  tiristorul principal al variatorului V. Cînd varistorul este blocat, curentul se închide prin dioda de roată liberă  $n_1$ .

În regim de frânare contactorul F se deschide și se închide contactorul K. Cînd varistorul conduce și contactorul K este închis, motoarele debitează în scurtcircuit prin dioda  $n_2$ . Cînd varistorul este blocat, se comandă aprinderea tiristorului  $n_3$  și curentul se închide prin rezistență de frânare  $R_2$ . Rezistența  $R_2$  asigură ca și la turațiile cele mai mari posibile, curentul de frânare să nu depășească valoarea

maxima admisă.

La schema din fig.47 motoarele sunt conectate în paralel. În regim de tracțiune contactorul F este închis iar contactorul B deschis.

Când variatorul conduce, curentul trece prin cele două motoare și prin tiristorul principal. Când variatorul este blocat curentul se închide prin dioda  $n_1$ .

În regim de frânare se deschid contactoarele F și se închide contactorul B. Prin variator și prin rezistența de frânare circula numai curentul de dezechilibru al indusurilor celor două generațoare conectate în opozitie.

Dacă  $E_1 > E_2$  curentul își va menține sensul în însurarea de excitație a motorului  $M_2$  și va avea sens schimbat în însurarea de excitație a motorului  $M_1$ .

Schema prezintă avantajul că rezistența de frânare se dimensionează pentru valori mai reduse ale curentului.

Tot Siemens a realizat o schema cu variator pentru frânarea mixtă (fig.48).

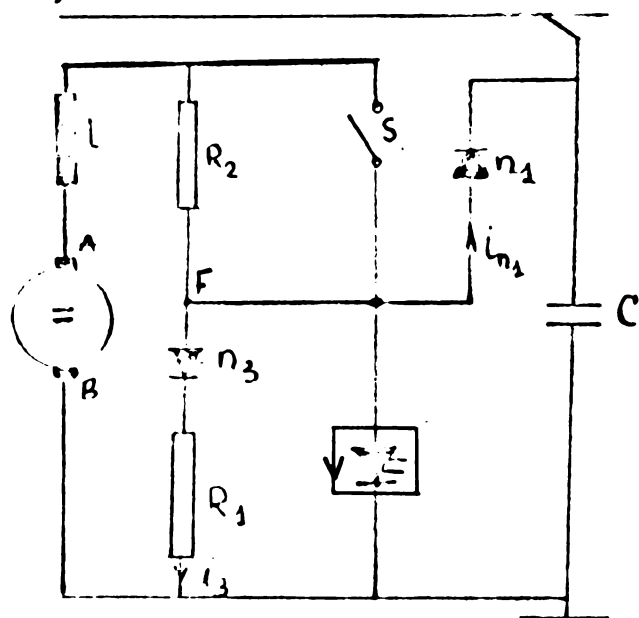


Fig.48 - Schema cu variator pentru frânarea mixtă realizată de Firma Siemens.

Rezistența de frânare este fragmentată iar variatorul reglează numai valoarea rezistenței R<sub>1</sub>.

Frânarea cu recuperare se realizează atunci cind tensiunea liniei de contact este mai mică decât potențialul punctului F. În această situație intră în conducție dioda n<sub>1</sub> iar tiristorul n<sub>3</sub> este stins. Rezistența R<sub>2</sub> poate fi folosită și pentru limitarea curentului de frânare prin recuperare de energie atunci cînd frânarea se realizează la turări mari.

In fig.49 este prezentata schema de principiu a instalației de acționare a tramvaiului din datele Întreprinderii de Transporturi Timișoara. Schema a fost realizată de către Institutul de Cercetare pentru Industria Electrotehnica - ICPE - Bucuresti [92 93].

Schema conține două variatoare care pot să lucreze separat sau simultan. Fiecare variator este realizat pentru puterea de 150 kW și tensiunea de 750 V.

Frecvența de lucru a variatorului este maxim 350 Hz și minim 120 Hz.

Schmea funcționează în sistem de frânare reostatică motoarele fiind cu excitație separată. Curentul de frânare este menținut la vitezării prescrise prin comanda curentului de excitație, variatorul fiind inserat în circuitul de excitare.

Curentul prin inducția motorului este controlat cu ajutorul traductoarelor de curenț T.C. realizate ca niște amplificatoare magnetice.

Cap.6 - Schema cu variator de tensiune continuă propusă pentru acționarea electrică a tramvaiului la noi în țară.

Pornind de la necesitățile reclamate de modernizarea transportului în comun urban și de la considerentele de ordin tehnic-economic rezultate din prezentarea anterioară privind posibilitățile utilizării variatorului de tensiune continuă în acționarea electrică a mijloacelor de transport în comun urban, am conceput o schema pentru acționarea electrică a tramvaiului la noi în țară care a fost propusă ca invenție înregistrată la OSIM sub nr. 8168/1975 și a primit referat favorabil din partea institutului de specialitate. În elaborarea schemei am avut în vedere tramvaiul de mare capacitate realizat de I.T.B. prevăzut cu două motoare de tracțiune de 150 kW la tensiunea de 750 V.c.c. ce poate dezvolta o viteză maximă de 76-78 km/oră. Motoarele de tracțiune se fabrică la I.T.B. unde am efectuat o serie de încercări privind comportările motorului de tracțiune în condițiile alimentării prin variator de tensiune continuă.

Schemă de principiu a instalației de acționare este prezentată în fig. 50 în care s-au notat :

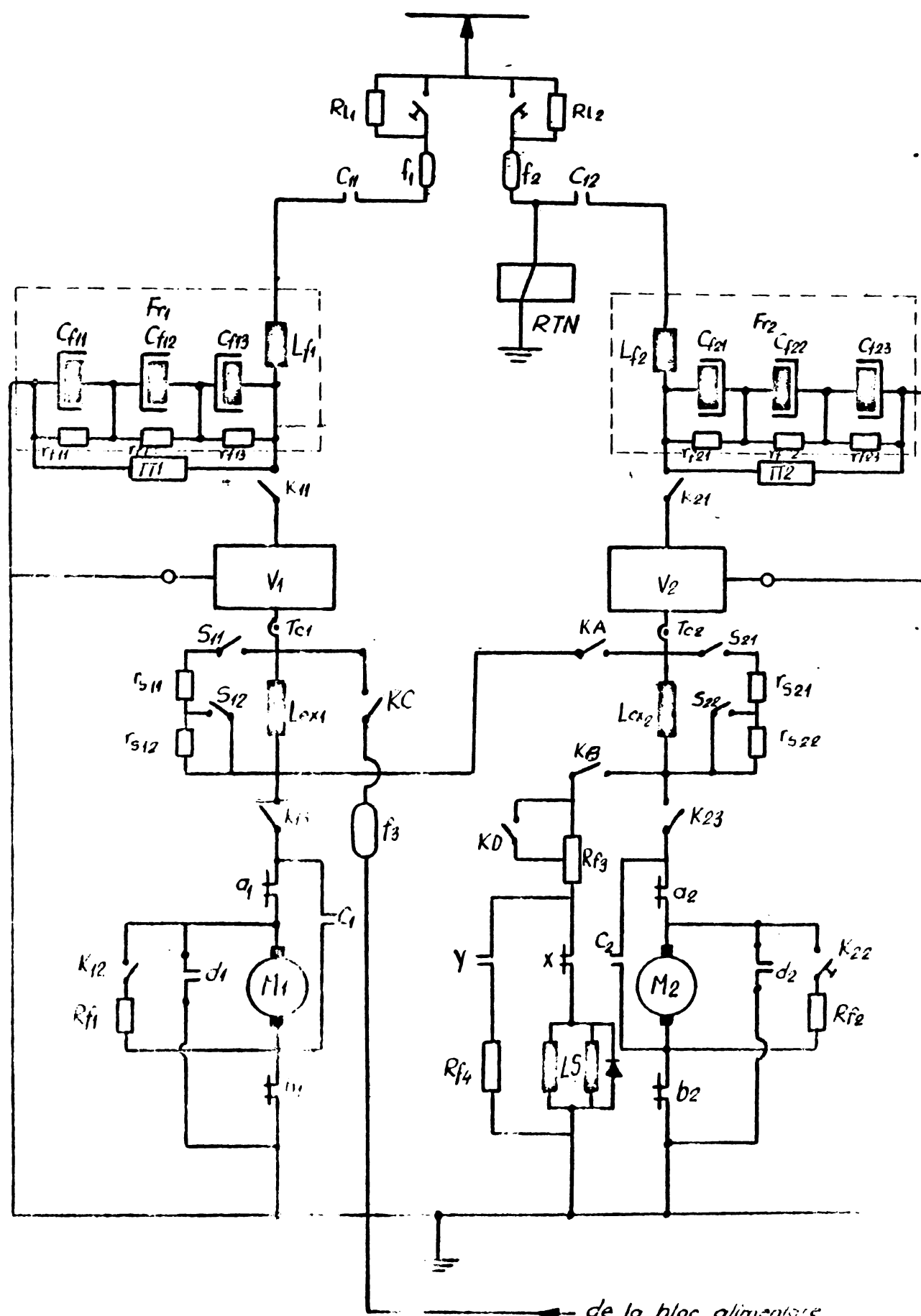


Fig 49  
Schema de principiu a instalației electrice  
de acționare a tramvaiului Timis 1

$T_{11}, T_{12}$	- tiristoare principale
$T_{21}, T_{22}$	- tiristoare de stingeră
$T_{31}, T_{32}$	- tiristoare de frânare
$T_{41}, T_{42}$	- tiristoare pentru încarcarea condensatorului de stingeră.
$D_{11}, D_{12}, D_{21}, D_{22}$	- dioda de accelerare
$D_3$	- dioda de blocare în regim de tracțiune
$R_{1f}, R_{2f}$	- rezistență de frânare
$L_1, L_2, C_1, C_2$	- inductanță, respectiv condensatoare de stingeră.
$R_1, R_2$	- rezistență de amortizare
$D_{01}, D_{02}$	- dioda de roata liberă (descarcare)
$R_s$	- rezistență suplimentară
$C_f, C_f$	- filtru de intrare
$L_{S1}, L_{S2}$	- inductanță de netezire
$K_{11} \dots K_{16}, K_{21} \dots K_{26}, S_{11} \dots S_{13}, S_{21} \dots S_{23}, L.T.$	- contactoare
$I$	- interuptor
$R_{ex1}, R_{ex2}$	- rezistență pentru slabirea cîmpului
$M_1, M_2$	- indusurile motoarelor
$L_{ex1}, L_{ex2}$	- înșurările de excitație

Cele două motoare de tracțiune  $M_1, M_2$  conectate în paralel sunt alimentate de la linia de contact prin două variatoare de tensiune continuă  $V_1, V_2$  funcționând în regim de comandă decalată.

La funcționarea în regim de tracțiune curentul din linia de contact trece prin inductanță  $L_f$  și filtrului de rețea, prin tiristoarele principale  $T_{11}, T_{12}$ , prin inductanțele de netezire  $L_{S1}, L_{S2}$  și prin motoarele de tracțiune, închizîndu-se prin contactorul  $T$  la polul negativ al sursei de alimentare.

La funcționarea în regim de frânare se deschid contactorii  $T$ ,  $K_{11}, K_{12}, K_{15}, K_{21}, K_{22}, K_{25}$  și se închid contactorii  $K_{13}, K_{14}, K_{16}, K_{23}, K_{24}, K_{26}$  și inter ruptorul  $I$ . În felul acesta motoarele funcționează în regim de generator serie autoexcitat cu preexcitare de la baterie cu înșurările de excitație încrucișate. Frânarea este mixtă;

Cind tensiunea liniei de contact este mai mică decât tensiunea la bornele motoarelor, se realizează frânerie electrică recuperativă curentul debitat de cele două motoare funcționând în regim de generator parcurge înfășurările de excitație diode de blocare în tracțiune  $D_3$ , linia de contact, receptorul altă travezie care funcționează în regim de tracțiune) și prin diodele  $D_{01}$ ,  $D_{02}$  se închide la polul negativ al generatoarelor.

Cind tensiunea liniei de contact depășește o valoare prestabiliată se realizează frânerie reostatică energia electrică furnizată de motoarele de tracțiune funcționând în regim de generator serie autoexcitat se disipa în rezistențele de frâne  $R_{1f}$ ,  $R_{2f}$  în circuitul curorii sunt inseriate tiristoarele de frâne  $T_{31}$ ,  $T_{32}$  care sunt stăvite tot de către circuitul de stingere a tiristorului principal.

Față de schemele cu tiristoare utilizate pînă în prezent la acționarea electrică a tramvaiului schema prezentată se caracterizează prin următoarele :

1. Variatorul de tensiune continuă este o variantă a variatorului utilizat de firma ACEC la care s-au adunat îmbunătățiri în sensul că s-a introdus tiristorul  $T_4$  prin care se comandă înărcarea condensatorului de stingere. În felul acesta prin tiristorul principal trece numai curentul motorului de tracțiune și se evită solicitarea suplimentară a acestuia de către curențul de încercare a condensatorului.

2. Cele două inductanțe de netezire  $L_{S1}$ ,  $L_{S2}$  sunt cuplate electromagnetic rezultînd valori mai mici pentru aceste inductanțe.

3. Fiecare variator de tensiune continuă funcționează cu frecvență fixă de 200 Hz tensiunea de alimentare a motoarelor fiind modificată prin comanda lațimii impulsurilor. Variatoarele fiind comandate de către un semiperioadă, frecvența ondulațiilor curențului absorbit din rețea de alimentare și a modulațiilor tensiunii la bornele condensatorului filtrului de intrare va fi 400 Hz.

...//..

Acest lucru influențează favorabil valoarea ondulațiilor mărimilor menționate care este invers proporțională cu frecvența și conduce la valori mai mici ale inductanței și capacitatei filtrului de intrare.

4. Schema conține un număr mai mic de contacte mecanice și de elemente semiconductoare.

5. La frânare motoarele funcționează în regim de generator serie autoexcitat cu înășurările de excitație încrucișate menținându-se sensul curentului în înășurările de excitație.

Schemele utilizate la noi în țara pentru acționarea tramvaiului și troleibuzului se caracterizează prin faptul că motoarele funcționează în regim de generator cu excitație separată care prezintă două dezavantaje importante și anume: un consum mai mare de energie electrică și ineficacitatea frânării electrice la întreruperea tensiunii liniei de contact.

La aceste scheme este necesar să se controleze separat curentul în înășurarea de excitație.

6. Comparativ cu schemele utilizate pînă în prezent aceasta schema are o fiabilitate mai ridicată datorită faptului că se realizează o schemă structurală tip paralel fiecare variator fiind dimensionat pentru a putea să alimenteze singur ambele motoare de tracțiune.

Schema variatorului este prezentată în fig.51 în care s-au notat:

- $e_1 \dots e_4$  - siguranțe ultrastapide
- $T_{11} \dots T_{14}$  - tiristoare principale
- $T_{21}, T_{22}$  - tiristoare de stingere
- $T_{31}, T_{32}$  - tiristoare de frânare
- $T_{41}, T_{42}$  - tiristoare de încarcare
- $D_{11}, D_{12}$  - diode de accelerare
- $R_{11}, C_{11} \dots R_{14}, C_{14}$  - circuite RC pentru protecție împotriva supratensiunilor datorate efectului de stocaj
- $R_{21}, C_{21}, R_{22}, C_{22}$
- $R_{31}, C_{31}, R_{32}, C_{32}$

- $R_{15} \dots R_{18}, R_{23}, R_{24}$  - rezistențe pentru egalizarea statică a tensiunilor pe tiristoare și diode.
- $R_{33}, R_{34}, R_{43}, R_{44}$  -  $93 \text{ k}\Omega$ ,  $2,2 \text{ W}$
- $L_{11}, L_{12}$  - inductanțe pentru limitarea creșterii curentului prin tiristoarele principale.

Schema a fost concepută și dimensionată de autor pentru a funcționa cu urmatoarele caracteristici :

- tensiunea nominală  $750 \text{ V}$
- puterea nominală uniorară  $2 \times 150 \text{ kW}$
- curentul uniorar  $2 \times 225 \text{ A}$
- curentul maxim de pornire  $2 \times 350 \text{ A}$
- frecvența de lucru a variatorului  $200 \text{ Hz}$

La alegerea frecvenței de lucru a variatorului am purtat de la urmatoarele considerente importante: la frecvențe mai mari de  $200 \text{ Hz}$  reactanta de scăpare a motorului provoacă o amortizare sensibilă a curentului astfel încât se poate renunța la inductanța de netezire exterioare [59]; la frecvențe de lucru prea mari există riscul ca tiristoarele să nu mai poată fi stinse în condițiile cele mai defavorabile și nu se poate asigura la bornele motoarelor de tracțiune întreaga tensiune a liniei de contact cind se funcționează cu raport ciclic maxim.

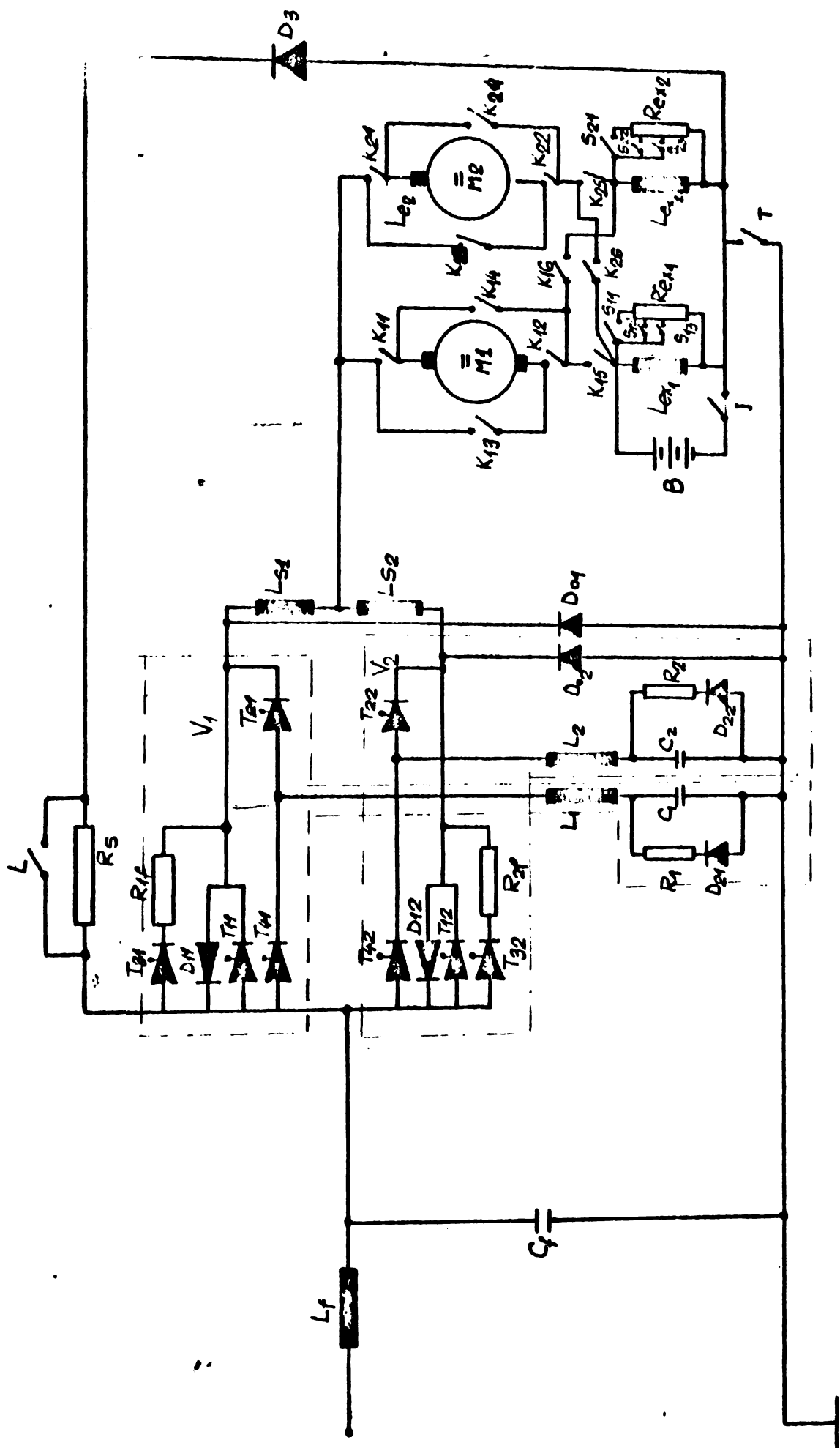
În funcție de aceste date am ales tiristoarele principale și am dimensionat celelalte elemente ale schemelui.

Am ales tiristoare tip T 707...32 [91] având

$$I_{max} = 570 \text{ A} \quad \left( \frac{di}{dt} \right)_{max} = 400 \text{ A} / 10^{-6} \text{ s}$$
$$I_{max,med} = 375 \text{ A}$$

$$U_{max} = 1200 \text{ V} \quad \left( \frac{du}{dt} \right)_{max} = 500 \text{ V} / 10^{-6} \text{ s}$$
$$t_r = 50 \cdot 10^{-6} \text{ s}$$

Pentru ca viteza de creștere a curentului prin tiristorul principal în momentul sprinderii să nu depășească valoarea maximă admisă, în circuitul tiristorului principal se inseriază o inductanță a cărei valoare rezultă din relația



Schema di variatore di tensione continuo attivato da comando termovalvuli  
fig. 50

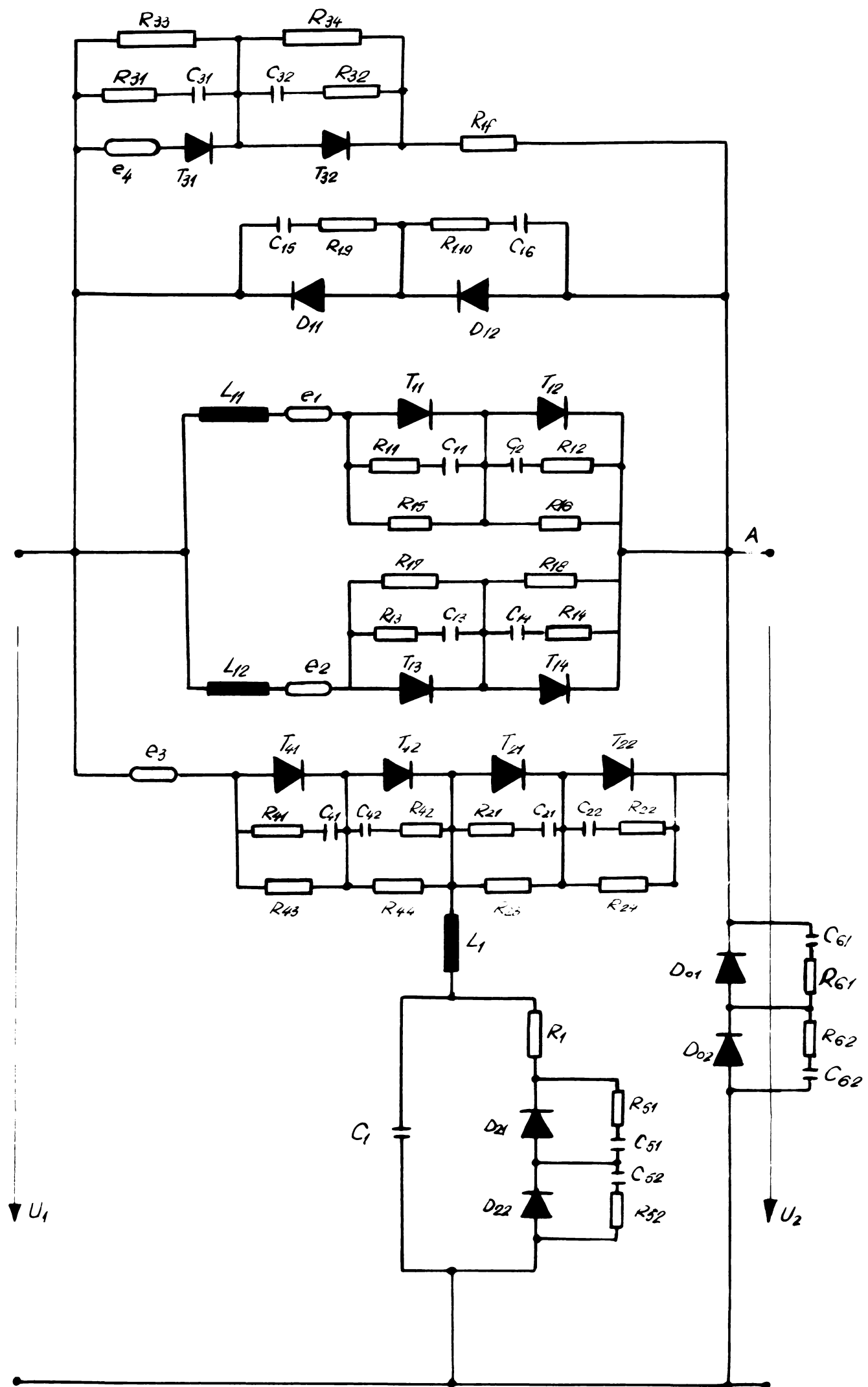


Fig. 51  
Schema variatorului

$$L \left( \frac{di}{dt} \right)_{max} = U_{max} \quad (127)$$

adică

$$L = \frac{U_{max}}{\left( \frac{di}{dt} \right)_{max}}$$

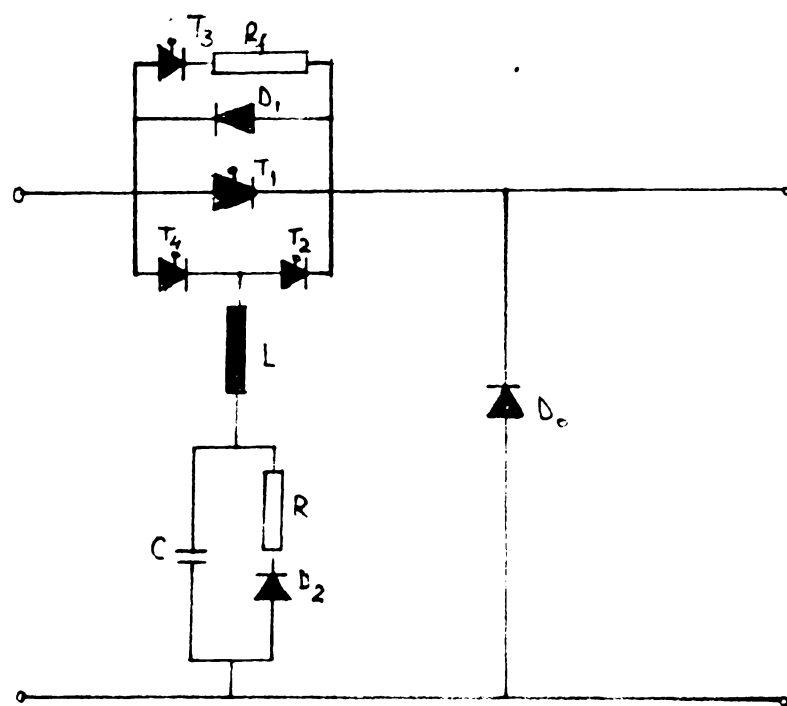
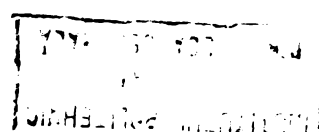


Fig.52 - Schema de principiu și de calcul a variatorului.



In conformitate cu normele în vigoare [89] tensiunea maximă a liniei de contact cu tensiunea nominală de 750 V, c.c., este de 900 V.

Deci

$$L = \frac{900}{400 \cdot 10^6} = 2,25 \cdot 10^{-6} \text{ H.}$$

Elementele circuitului de stingere pentru fiecare variator (fig.52) se determină evind în vedere fenomenele ce se petrec în timpul încărcării și descărcării condensatorului de stingere [35, 100]. (fig 53)

Se disting următoarele faze :

1. Aprinderea tiristorului de încarcare T4.

Curentul  $I_L$  care încarcă condensatorul trecând prin inductanță L rezulta din relația

$$U = L \frac{d(I_L)}{dt} + \frac{1}{C} \int_0^t I_L dt + U_C \quad (128)$$

cu condițiile inițiale

$$t = 0$$

$$I_L = 0$$

$$U_C = 0$$

Rezulta

$$I_L = U \sqrt{\frac{C}{L}} \sin \omega_o t \quad (129)$$

$$U_C = U (1 - \cos \omega_o t) \quad (130)$$

unde

$$\omega_o = \frac{1}{LC}$$

In momentul  $t = \frac{\pi}{\omega_o}$ ,  $I_L = 0$  și are tendința de a-și schimba sensul. Datorită faptului că  $T_2$  nu conduce în acest moment, curentul  $I_L$  rămâne egal cu zero și tensiunea la bornele condensatorului devine  $U_C = 2 U$ . Procesul de încarcare a condensatorului s-a încheiat la  $t = \frac{\pi}{\omega_o}$  și acesta este pregătit pentru stingerea lui  $T_1$ .

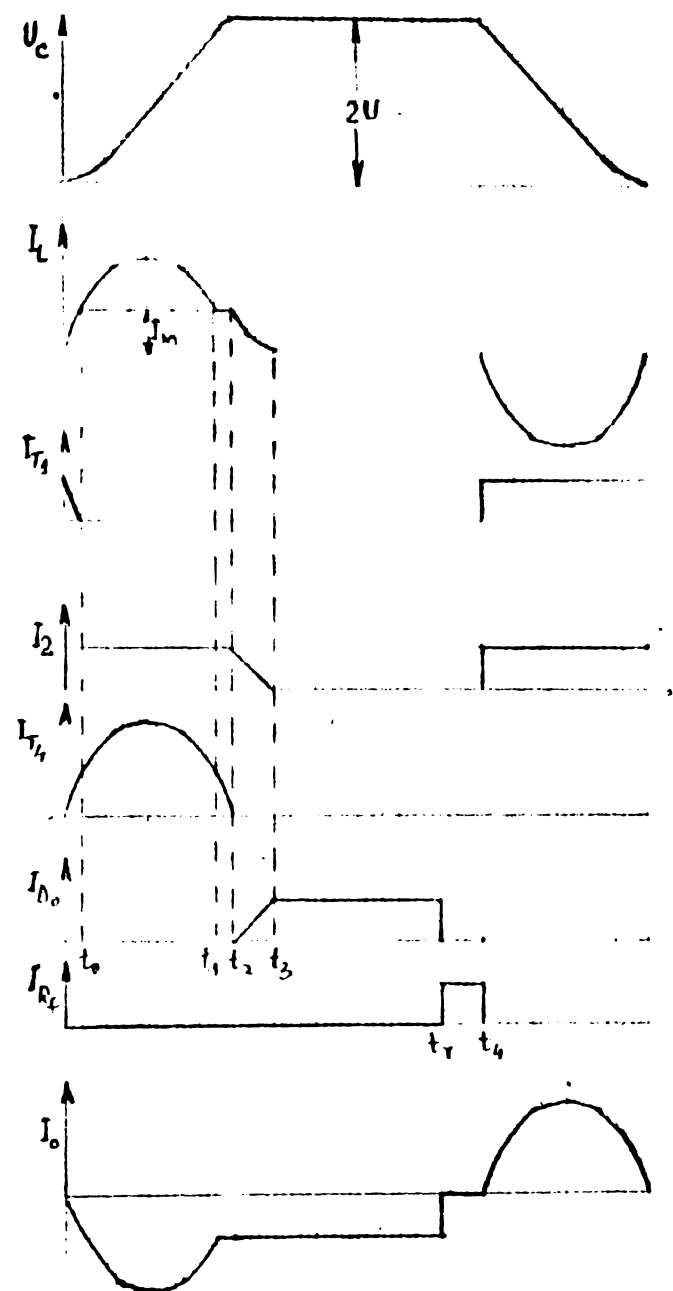
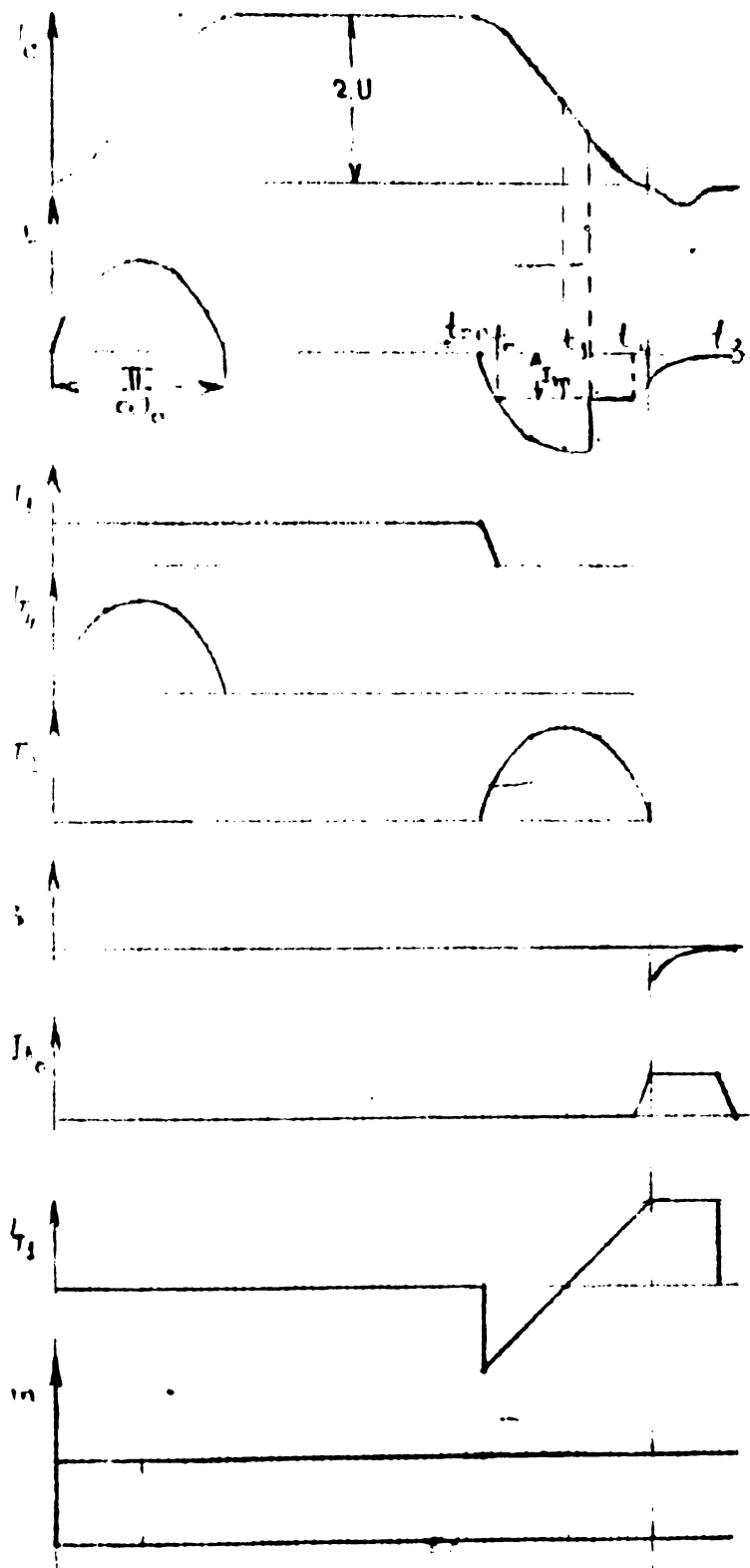


Fig. 53  
Variatia in timp a curentului prin elementele principale ale variatorului  
a- in regim de sarcina  
b- in regim de fixare

## 2. Stingerea tiristorului principal.

Schimbând originea timpului în sensul că  $t = 0$  reprezintă momentul aprinderii tiristorului auxiliar  $T_2$  se urmărește procesul de stingeră.

Aprinderea lui  $T_2$  provoacă închiderea unui circuit care conține condensatorul  $C$  încărcat inițial la tensiunea  $2U$ , inducția  $L$ , parcursă inițial de un curent nul, tiristorul  $T_2$ , dipolul format din  $T_1$  în paralel cu  $D_1$  și surse de tensiune. În circuitul de stingeră se stabilește un curent de formă sinusoidală  $I_L$ .

Dacă elementele circuitului sunt dimensionate corespunzător, amplitudinea primei semiunde a curentului  $I_L$  depășește curentul  $I_m$  care trece prin sarcină.

Se disting trei faze

$$I \quad 0 \leq t \leq t_1$$

În acest interval potențialul punctului A (fig. 51) este egal cu  $U$ . Curentul  $I_L$  este dat de relația

$$U_c = \frac{1}{C} \int_{0}^{t} I_L dt = L \frac{di_L}{dt} + U \quad (131)$$

cu condițiile inițiale

$$i_L = 0$$

$$U_c = 2U$$

Rezultă

$$i_L = U \sqrt{\frac{C}{L}} \sin \omega_0 t \quad (132)$$

$$U_c = U(1 + \cos \omega_0 t) \quad (133)$$

Intre momentul  $t = 0$  cînd  $I_L = 0$  și momentul  $t = t_1$  cînd  $I_L = I_m$  pentru prima dată curentul scade progresiv în tiristorul  $T_1$  pînă la valoarea zero. Începînd din acest moment un curent egal cu  $(I_L - I_m)$  circulă prin dioda  $D_1$  pînă ce curentul  $I_L$  devine inferior lui  $I_m$ . Această are loc la  $t = t_1$  cînd

...//..

$$I_L(t_1) = U \sqrt{\frac{C}{L}} \sin \omega_0 t_1 = I_m \quad (134)$$

$$U_C(t_1) = U(1 + \cos \omega_0 t_1) = U \left[ 1 - \sqrt{1 - \left( \frac{I_m}{U \sqrt{\frac{C}{L}}} \right)^2} \right] \quad (135)$$

$$\frac{\pi}{2} < \omega_0 t_1 < \pi$$

$$\underline{\pi} \quad t_1 \leq t \leq t_2$$

Incepind din momentul  $t_1$  dipolul constituit din  $I_1$  și  $D_1$  nu mai conduce (daca  $t_1 - t_0$  este mai mare decat timpul de inversare a tiristorului principal) și circuitul se vindecat mai sus se intrerupe. Trebuie sa descarcarea condensatorului sa se faca in continuare pe un alt circuit. In acest moment tensiunea la bornele condensatorului fiind pozitiva, dioda de semn invers  $D_0$  este blocata. In aceste conditii condensatorul se descarca prin sarcina cu curentul  $I_m$ .

Se pot scrie relatiile

$$I_L = I_m \quad (136)$$

$$U_C = U_C(t_1) - \frac{I_m(t_2 - t_1)}{C} \quad (137)$$

Momentul  $t_2$  este definit de relatie

$$U_C(t_2) = U_C(t_1) - \frac{I_m(t_2 - t_1)}{C} = 0 \quad (138)$$

Rezulta

$$t_2 = \frac{C U_C(t_1)}{I_m} + t_1 \quad (139)$$

Incepind din momentul  $t = t_2$  un nou circuit de descarcare a condensatorului  $C$  trebuie amersat. In consecinta dupa ce tensiunea  $U_C$  este tendința de a-si schimba polaritatea a parte a curentului de sarcina sau tot acest curent se poate inchide prin dioda  $D_0$ . Pentru  $t > t_2$  potentielul punctului A din fig. 51 va fi zero. Pentru calculul variației lui  $I_L$  și  $U_C$  incepind din momentul  $t = t_2$  se va lua acest moment ca origine.

- 103 -

$$L \frac{di_L}{dt} = U_C \quad (140)$$

$$U_C = \frac{1}{C} \int (-I_L - \frac{U_C}{R}) dt \quad (141)$$

cu condițiile inițiale

$$I_L = I_m$$

$$U_C = 0$$

Cum  $R_c = \frac{1}{2} \sqrt{\frac{L}{C}}$  se găsește în prezența unui circuit cu amortizare critică, rezolvarea ecuațiilor conduce la :

$$I_L = I_m e^{-\frac{t}{Z}} \left( 1 + \frac{t}{Z} \right) \quad (142)$$

$$U_C = -I_m \sqrt{\frac{L}{C}} \frac{t}{Z} e^{-\frac{t}{Z}} \quad (143)$$

unde

$$Z = 2RC = \sqrt{LC}$$

Se constată deci că curentul  $I_L$  și tensiunea  $U_C$  se anulează rapid.

Pentru dimensionarea circuitului de stingere se ține seama de faptul că este convenabil ca  $L$  și  $C$  să fie astfel alese încât timpul în care tiristorul principal  $T_1$  este supus unei tensiuni inverse de blocaj, să fie mai mare decât timpul de inversare al acestui tiristor supus la aceeași tensiune inversă. Timpul în decursul căruia tiristorul  $T_1$  este supus unei tensiuni inverse este egal cu  $t_1 - t_0$ .

Trebuie deci respectată inegalitatea

$$t_1 - t_0 \geq t_{st}$$

Dacă se alege  $I_L = 2 I_m$  ( $I_m$  fiind curentul maxim de sarcină),  $T_1$  va fi blocat pentru toate valorile curentului de sarcină inferioare sau egale cu  $I_m$  cînd perioada proprie de oscilație a circuitului oscilat  $T_Q = 2\pi \sqrt{LC}$  satisfacă inegalitatea

$$\frac{T_0}{3} \geq t_{st} \quad [35]$$

Tinînd seama de aceasta inegalitate și de relația (132) rezultă condițiile de blocare.

$$U \sqrt{\frac{C}{L}} = 2 I_m \quad (144)$$

$$\frac{2}{3} \pi \sqrt{LC} = t_{st} \quad (145)$$

din care se calculeaza L și C

$$\left. \begin{aligned} L &= \frac{3}{4\pi} \frac{U \cdot t_{st}}{I_m} \\ C &= \frac{3}{\pi} \frac{I_m \cdot t_{st}}{U} \end{aligned} \right\} \quad (146)$$

Tinind seama de acest lucru rezulta :

$$C = K \frac{3}{\pi} \frac{I_{max} \cdot t_{st}}{U_{min}} = 89 \cdot 10^{-6} F \quad (147')$$

unde

K - coeficient de siguranta ( $K = 1,31$  [92])

$I_{max}$  - curentul maxim pe care-l poate controla varistorul.

$t_{st}$  - timpul de stingerere al tiristoarelor principale.

$U_{min}$  - tensiunea minima la care ma i poate functiona varistorul

$$L = \frac{3}{4\pi} \frac{U_{min} \cdot t_{st}}{I_{max}} = 22.8 \cdot 10^{-6} H \quad (147'')$$

Curentul prin inductanță de stingerere să calculează din relație

$$i = U \sqrt{\frac{C}{L}} \sin \omega_0 t \quad (148)$$

Valoarea maximă a curentului prin inductanță va fi.

$$I_{max} = U_{max} \sqrt{\frac{C}{L}} = 1778 A \quad (149) \quad \text{coresponde tipului } t = \frac{T_0}{4}$$

$T_0$  fiind perioada proprie de oscilare a circuitului oscilant  
 $\omega_0 = 282 \cdot 10^6 s^{-1}$

$$I_{max} = \frac{I_{max}}{\sqrt{2}} \sqrt{\frac{T_0}{\tau}} = 299 A \quad \tau \text{ fiind perioada de reglare,}$$

Pentru alegerea tiristoarelor de stingeră  $T_2$  și de

încarcare.  $T_4$  ca și a diodelor de descarcare  $D_1$  am ținut seama de faptul că curentul ce străbate inducția  $L$  trece o alternanță prin  $T_4$  și alternanță urmatoare prin  $T_2$  și  $D_1$

$$I_{med} = \frac{1}{2} \cdot \frac{I_{max}}{\frac{\pi}{2}} \sqrt{\frac{T_0}{f}} = 136 A \quad (150)$$

In aceasta situație am ales tiristoare  $T_{607,14}$  cu următoarele caracteristici [92].

$$I_{max,ef} = 330 A \quad \left(\frac{di}{dt}\right)_{max} = 200 A/10^{-6}s$$

$$I_{max,med} = 140 A$$

$$U_{max.} = 1200 V. \quad \left(\frac{du}{dt}\right)_{max} = 200 V/10^{-6}s.$$

$$t_{sf} = 30 \cdot 10^{-6} s.$$

Diodele  $D_1$  s-au ales cu variatoarele caracteristici

$$I_{med} = 250 A \quad \left(\frac{di}{dt}\right)_{max} = 200 A/10^{-6}s.$$

$$U_{max, repetitiv} = 1200 V.$$

frecvența de lucru 1000 Hz

Rezistența de descarcare a condensatorului de stingere rezultă din relația

$$R = \frac{1}{2} \sqrt{\frac{L}{C}} = 0,253 \Omega \quad (151)$$

In ea trebuie să se poată disipa o putere

$$P_d \leq \frac{I_{med}^2}{2} f = 422 W \quad (152)$$

Diodele din circuitele rezistențelor de descarcare  $D_2$  se aleg ținând seama de faptul că prin ele trece un curent și că valoarea este data de relația

$$I_{max,ef} = \frac{1}{2} \cdot \frac{I_{max}}{\sqrt{2}} \sqrt{\frac{f}{f_0}} = 48 A \quad (153)$$

Diodele  $D_{01}, D_{02}$  trebuie să poată conduce curenții maximi de pornire și de frânare ai motoarelor ținând seama de faptul că acești curenți străbat diodele respective numai în perioadele cind motoarele sunt deconectate de la linia de contact. In această situație rezultă un curent mediu egal cu jumătate din curentul de trece prin tiristorul principal. Am ales diode rapide tip SF 12 HR 315 având

$$I_{med} = 250 A$$

$$U_{max} = repetitiv 1200 V$$

$$\frac{dI}{dt} = 200 \text{ A}/10^6 \text{ s}$$

Frecvența normală de lucru 1000 Hz.

Pentru dimensionarea elementelor filtrului de rețea ( $L_e, C_e$ ) se poate apăsa următoarele condiții: [18, 35, 94]

$$\frac{1}{3} < \frac{f_c}{f} < \frac{1}{2} \quad (154)$$

$$\frac{(\Delta U_{C_e})_{\max}}{U} = \frac{I}{8UC_{ef}} < 0,1 \quad (155)$$

$$\frac{(\Delta I_{L_e})_{\max}}{I} = \frac{T^2}{32 L_e C_e} < 0,15 \quad (156)$$

Alegindu-se  $f_c = 135$  Hz din relația (155) rezultă:

$$L_e C_e = 1,4 \cdot 10^{-6} \quad (157)$$

Această valoare trebuie să satisfacă și ultima relație:

Pe aceasta baza din relațiile (155), (157) rezulta

$$\left. \begin{array}{l} C_e = 2 \cdot 10^{-3} \text{ F} \\ L_e = 0,7 \cdot 10^{-3} \text{ H} \end{array} \right\} \quad (158)$$

Se aleg pentru realizarea filtrului condensatoare tip IFRS  $2 \times 100 \cdot 10^{-6} \text{ F}$ , 350 V. Rezulta că va trebui să se inseriere cîte 5 bucăți formînd în total 50 grupuri.

La așezarea capătorului pe firul de contact condensatorul filtrului de intrare se încarcă. Soclul de curent va fi:

$$I_s = U_h \sqrt{\frac{C}{L}} \sin \omega t = 750 \sqrt{\frac{2 \cdot 10^{-3}}{0,7 \cdot 10^{-3}}} \sin 2\pi f_0 t \quad (159)$$

Valoarea maxima a acestui curent va fi:

$$I_{s\max} = 1020 \text{ A}$$

În ceste condiții este necesara prezența unei rezistențe de limitare a curentului de încarcare astfel încât întreruptorul automat AV2 să nu decaleze.

Pentru echilibrarea tensiunilor pe cele cinci grupuri de condensatoare legate în serie se conectează rezistențe de echilibru în paralel cu condensatoarele. Dimensionarea

acestor rezistențe am facut-o îninind seama și de faptul că condensatoarele trebuie să se descarcă pînă la o tensiune nepericuloasă.

Rezultat :

$$R = 1420 \Omega \quad (16c)$$

Puterea rezistenței rezultă din relația

$$P = \frac{U_{max}^2}{2R} = 25 \text{ W} \quad (16d)$$

Pentru protecția ventilelor împotriva supratenșunilor datorate efectului de stocaj s-a conectat în paralel cu fiecare ventil cîte o rezistență inserată cu un condensator.

Egalizarea tensiunilor pe ventilele conectate în serie este asigurată prin dezinărcare de tensiune pur chimice.

Protecția tiristoarelor principale împotriva suprasarcinilor și scurtcircuitelor este realizată prin siguranțele ultrarapide  $e_1$ ,  $e_2$  alese astfel încît în permanență intergrale limita de sarcina lărgită tiristorului să fie superioara celei de siguranță. Pentru protecția la suprasarcini de durată se folosește un dispozitiv de protecție cu transzistoare.

Pentru calculul rezistențelor de egalizare statică am folosit relația

$$R = \frac{n \cdot U_e - U_t}{(n-1) I_{bmax}} \quad (162) \quad (163)$$

$$P = \frac{(U_{max})^2}{R} \quad (165)$$

unde

R - valoarea rezistenței

n - numărul de semiconductoare legate în serie

$U_e$  - tensiunea maximă repetitivă admisă pe element.

$U_t$  - tensiunea totală aplicată sirului de semiconductoare inserate.

$I_{bmax}$  - curentul direct maxim la blocare la tiristor și invers la diode

P - puterea dissipată în rezistență

$U_{max}$  - tensiunea maximă de lucru la berile sirului de ventile.

Valeurile obținute sunt prezentate împreună cu fig.51

Dimensionarea elementelor RC ale circuitelor de egalizare dinamice a tensiunilor pe ventile se facut-o pornind de la sarcina reziduala

$$\Delta Q = \frac{di}{dt} (t_2 - t_1) \quad (164)$$

care conduce la un dezechilibru de tensiuni

$$\Delta U = \frac{1}{2} \frac{\Delta Q}{C} \quad (165)$$

Din (165) rezulta valoarea capacitatii condensatorului pentru o valoare  $\Delta U$  admisa.

Valoarea rezistenței rezulta din condiția ca la treceerea în conductie curentul de suprasarcina să fie limitat la o valoare acceptabila pentru semiconductoare și ca constanta de timp RC să fie de stîl de micuț.

Multe firme recomandă pentru ventile semiconductoare de putere rapide (utilizabile la tracțiune electrică)

$$RC = (5 - 20) 10^{-6} \text{ s} \quad [92]$$

Capacitățile condensatoarelor pentru protecția diodelor  $D_1$  și  $D_2$  rezultă

$$C_1 = \frac{50 \cdot 10^6}{2.25C} = 0.1 \cdot 10^{-6} F \quad (166)$$

Capacitățile condensatoarelor pentru protecția diodelor  $D_3$  rezultă

$$C_2 = \frac{100 \cdot 10^6}{2.25C} = 0.2 \cdot 10^{-6} F \quad (167)$$

Capacitățile condensatoarelor pentru protecția tiristoarelor  $T_1$ ,  $T_3$  rezultă

$$C_3 = \frac{800 \cdot 10^6}{2.20C} = 2 \cdot 10^{-6} F \quad (168)$$

Capacitățile condensatoarelor pentru protecția tiristoarelor  $T_2$ ,  $T_4$  rezultă

$$C_4 = \frac{600 \cdot 10^6}{2.20C} = 1.5 \cdot 10^{-6} F \quad (169)$$

Schema de comanda a echipamentului cu tiristoare este prezentata in fig. 53<sup>bis</sup> in care s-au notat :

- Fr - filtrul de reie  
V<sub>1</sub>, V<sub>2</sub> - variatoare de tensiune continua  
TC<sub>1</sub>, TC<sub>2</sub> - traductoare de curent  
BA - bloc alimentare  
BP - bloc de protectie  
Be - bloc de comanda  
TT - traductor de tensiune  
C - controler

Ea conține urmatoarele subansamblu :

- blocul de comanda
- blocul de alimentare
- blocul de protectie
- traductoarele de curent
- traductorul de tensiune
- controlerul

Blocul de comanda indeplineste urmatoarele functii:

- Realizarea schemei de forța in functie de comanda data de vatman (tensiune sau frinare).
- Producerea unei tensiuni de referinta de forma triunghiulara cu frecventa fixa și durete variabila in functie de comanda primita de la vatman dar si functie de curentul prin motor masurat de traductoarele de curent.
- Generarea impulsurilor de aprindere si stingerie a tiristoarelor principale.
- Distribuirea impulsurilor de aprindere si de stingerie la tiristoarele principale ale fiecarui variator de tensiune continua asigurand decesajul de o semiperioada.
- Blocarea rapida a impulsurilor de comanda a tiristoarelor in cazul unui supracurent in circuitul principal ca si in cazul scaderii sau crestterii tensiunii la intrarea varistorelor peste limitele admise.
- Trecerea de la frinarea electrica cu recuperare de energie la frinarea dinamica si invers in functie de tensiunea linie de contact.

-Separarea galvanica a circuitelor de forță față de cele de comandă.

Blocul de protecție realizează protecția circuitelor de forță împotriva suprasarcinilor și a verigașilor tensiunii de alimentare acționând asupra blocului de comandă care întrerupe impulsurile de aprindere a tiristoarelor principale.

Limitarea curenților atât în regim de tracțiune cât și în regim de frânare este asigurată prin bucle de curant diferențiale fiecărui motor. Când curentul prin motor, masurat de redactorul de curent IC este mai mare decât valoarea maxima admisă, impulsurile date de generatorul de impulsuri sunt amplificate și distribuite la dispozitivele de comandă a tiristoarelor principale ale celor două variații.

Redactorul de tensiune dă informație supra valorii tensiunii la intrarea variatorului și cînd aceasta nu se încadrează în limitele prestateabile, blocul de protecție intervine asupra dispozitivului de comandă a tiristoarelor să nu mai emite impulsuri de aprindere la tiristoarele principale.

Reducatoarele de curent controlează valoarea curenților prin motoarele de tracțiune și transmit informații blocul de protecție care în cazul cînd acești curenți depășesc valoarea maxima admisă intervine asupra dispozitivului de comandă a tiristoarelor pentru blocarea impulsurilor de aprindere a tiristoarelor principale. Blocarea este semnalizată optic sau acustic și nu poate fi anulată decât la intervenție veșnicului. Emiterea din nou a impulsurilor de aprindere a tiristoarelor principale este posibilă numai după dispariția suprasarcinii și educerea în poziție de zero a dispozitivului de comandă a pornirii sau frânării.

În regim de frânare prin buclele de curent se comandă și contactorul de sunteare a rezistenței care limitează curentul de frânare recuperativ. Dacă curentul de frânare recuperativ depășește valoarea maxima admisă chiar cînd rezistența de limitare este nesuntată (lipsă tensiunii la linie de contact sau o valoare foarte scăzută a acesteia) se comandă aprinderea tiristoarelor de frânare reostatică.

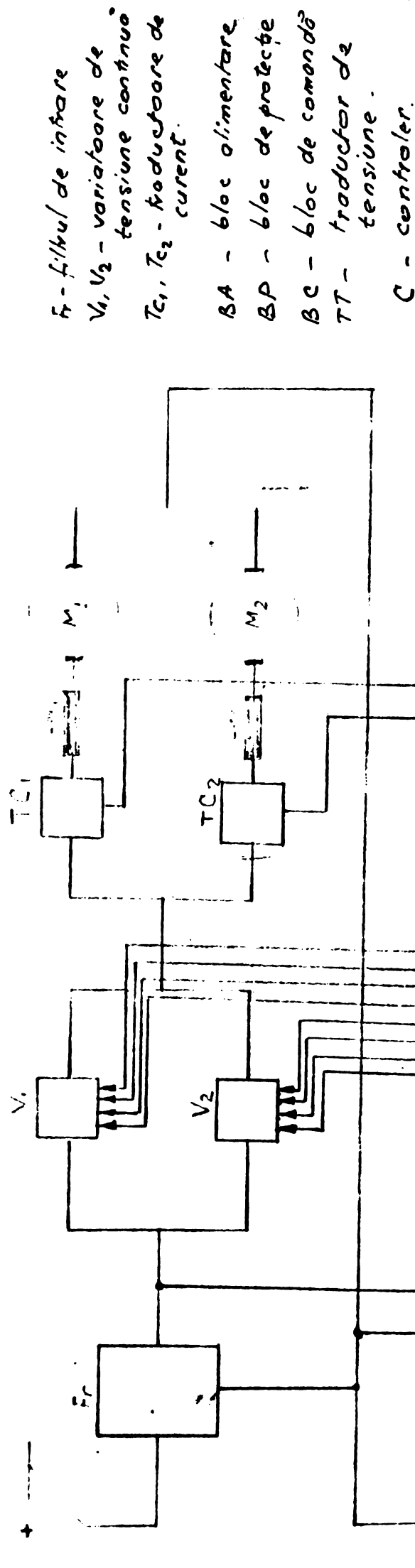


Fig. 53 b/s  
 Schema bloc a instalației de acționare a homovariabilei  
 cu variator de tensiune continuă

Încercările pe care le-am efectuat pe stand conform schemei din fig.54 și măsurările întreprinse pe trămvaiul I.T.T. echipat cu variator de tensiune continuă au condus la o serie de concluzii privind influența echipamentului cu tiristoare asupra motorului de tracțiune, asupra liniei de contact și asupra caracteristicilor de tracțiune ale vehiculului. În figura s-au făcut următoarele notări:

- e - sigurante MPR
- AV<sub>2</sub> - intreruptor automat
- R - rezistență pentru limitarea curentului de încarcare a lui Cf.
- L<sub>f</sub>, C<sub>f</sub> - inductanță, respectiv capacitatea filtrului de intrare.
- R<sub>1</sub> - rezistență pentru limitarea curentului de frânare electrică recuperativă.
- V<sub>1</sub>, V<sub>2</sub> - variator de tensiune continuă
- T<sub>31</sub>, T<sub>32</sub> - tiristoare de frânare
- R<sub>f1</sub>, R<sub>f2</sub> - rezistențe pentru frânarea reostatică
- MT - motor de tracțiune 76 kW, 750 V.c.c.
- KT, KT<sub>2</sub>, KT<sub>3</sub> - contactare pentru funcționarea în regim de tracțiune 150 A, 220 V
- KF<sub>1</sub>, KF<sub>2</sub>, KF<sub>3</sub> - contactare pentru funcționarea în regim de frânare 150 A, 220 V
- L - contactor pentru săturarea rezistenței de limitare 150 A, 220 V.

La funcționarea în regim de motor se închid întreruptorul automat AV<sub>2</sub>, contactorii L, KT<sub>1</sub>, KT<sub>2</sub>, KT<sub>3</sub> și intreruptorul IL.

La funcționarea în regim de frânare electrică se deschid AV<sub>2</sub>, KT<sub>1</sub>, KT<sub>2</sub>, KT<sub>3</sub>, L și se închid KF<sub>1</sub>, KF<sub>2</sub>, KF<sub>3</sub>, KF<sub>4</sub>, L<sub>2</sub>. Poziția contactorului L se stabilește în mod automat de către schema de comandă în funcție de curentul de frânare recuperativă. În această situație motorul funcționează în regim de generator de curent continuu cu excitație serie. Energia electrică recuperată în procesul de frânare se consumă în rezistență R<sub>s</sub>.

Cu ajutorul acestei scheme am studiat caracteristicile de tracțiune și de frânare pentru diferite valori ale raportului ciclic  $\hat{\jmath}$ , respectiv ale turării motorului și

Am urmarit comportarea motorului de tracțiune alimentat prin variator de tensiune, continuu.

Echipamentul cu tiristoare are influența asupra motorului de tracțiune datorită efectului armonicilor tensiunii și curentului, efectului diferențelor tehnici de reglaj, fenomenelor transitorii, protecție motorului etc.

Armonicele curentului de sarcina provoacă pierderi suplimentare în însurări și influențează negativ comutatele motorului.

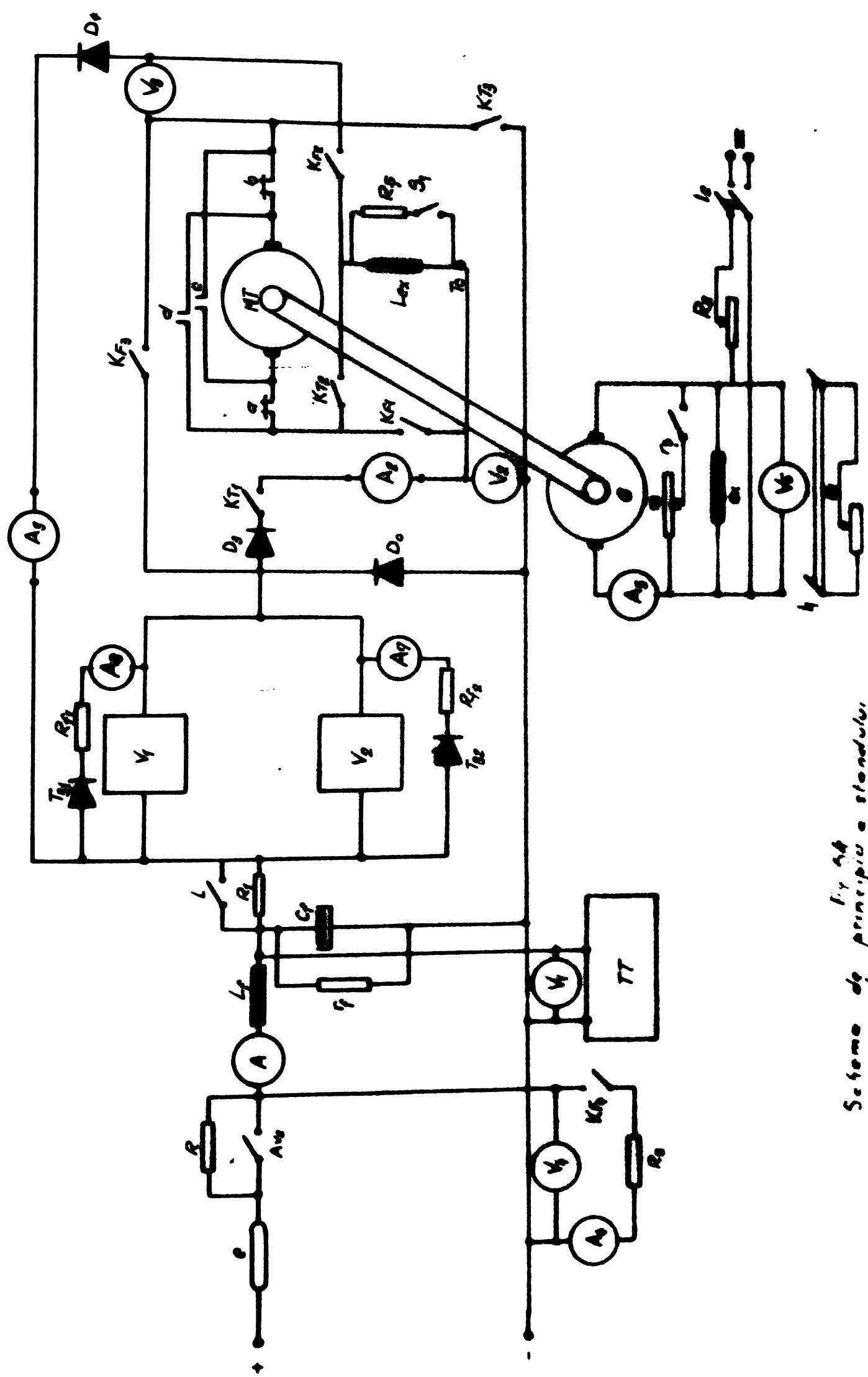
Armonicele tensiunii provoacă pierderi suplimentare în fier.

Cu ocazia încercărilor mi s-a confirmat faptul că la frecvențe de lucru ale variatorului mai mari de 200 Hz, rezistența de scăpare a motorului provoacă o amortizare sensibilă a curentului astfel că se poate renunța la inductanță de netezire exterioară. Curentul prin motor este suficient de bine filtrat și influența armonicilor curentului asupra încalzirii bobinăului nu este sensibila. Influenta armonnicilor curentului asupra comutării motorului a fost evidentă urmărindu-se uzura periilor și a colectorului. Am constatat că uzura periilor și a colectorului este practic aceeași ca și în cazul alimentării motorului în curenț continuu.

Faptul că în timpul pornirii curentul prin motor are o valoare constantă influențează pozitiv funcționarea colectivului. Un mare avantaj al utilizării variatorului asupra comutării este acela că motorului i se aplică întreaga tensiune a liniei de caleidoscop numai în plină sarcină și în aceste condiții el funcționează ca un motor de curenț continuu.

Din punct de vedere al fenomenelor transitorii provocate de intreruperile intempestive ale tensiunii de alimentare am constatat că în cazul alimentării prin variator socul de curenț la reșteria tensiunii este eliminat.

La reșteria tensiunii la bornele motorului tensiunea se aplică progresiv astfel că curentul crește exponential pînă la valoarea de reglaj.



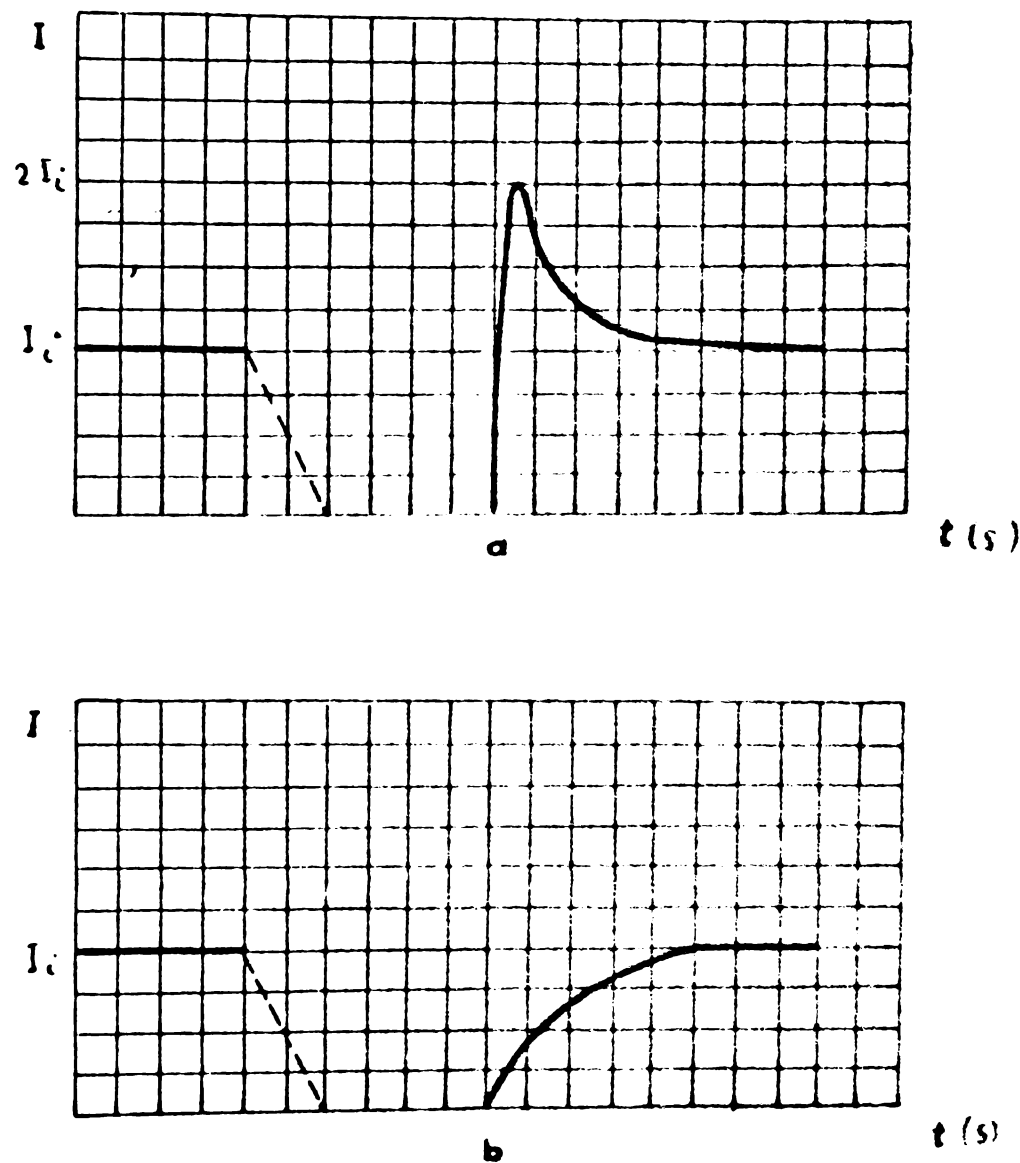
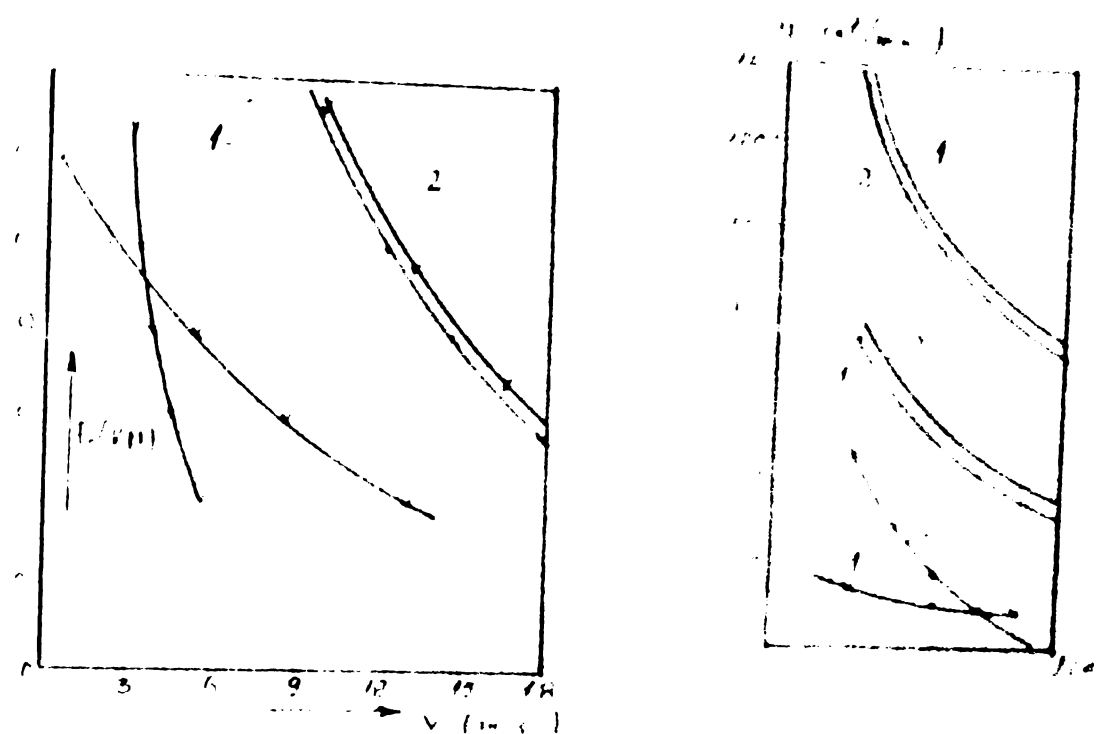


Fig. 55 - Variația curentului absorbit din linie de cotelct în cazul revenirii tensiunii după o întrerupere scurte durată.  
a- în cazul schemei cu reostat de pornire  
b- în cazul schemei cu varistor



**Fig.56 - Caracteristicile de tracțiune și caracteristicile mecanice în cazul schemei cu varistor comparativ cu scheme cu rezistență de porzire.**

1- Pentru scheme cu variator corespunzător la  $\delta = 0,1$ ,  $C = 0,5 \text{ } \mu\text{F} = \delta_{\text{max}}$ .

2- Pentru schema cu reostat de pornire corespunzător conexiunii serie și prime trepte de rezistență scurtcircuitată, conexiunii serie cu toate treptele de rezistențe scurtcircuitate și conexiunii paralel.

In cazul schemelor clasice tensiunea la bornele motorului se aplică dintr-o dată iar curentul prin motor crește brusc la o valoare egală cu de două-trei ori curentul de regim și apoi se stabilează la această valoare (fig. 55.)

Motorul alimentat prin varistor este deci protejat contra suprăcurenților provocăți de fenomenele tranzitorii. Cât privește impulsurile de tensiune suplimentare în constată că acestea nu depășesc nivelul de izolație la care se încearcă în mod normal motorul [22, 89].

Alimentarea motorului de tracțiune prin varistor de tensiune continuă are o influență favorabilă și asupra liniei de contact. Pentru aceleasi condiții de pornire, curentul absorbit din linia de contact este mai mic în cazul alimentării prin varistor comparativ cu cazul folosirii schemei clasice de pornire cu reostat.

Din punct de vedere ai caracteristicilor de tracțiune se remarcă două avantaje importante și anume : reglajul continuu al forței de tracțiune în întreg domeniul  $F, V$  și obținerea unor caracteristici  $F = f(V)$  mai inclinate care conduc la valori  $\Delta F \Delta V$  mari mari, mai slăzi în domeniul vitezelor mici (fig. 56)

#### Cap.7. Implicațiile tehnico-economice ale folosirii varistorului de tensiune continuă în schemele de acționare electrică a tramvaielor.

Folosirea varistorului de tensiune continuă în schemele de acționare electrică a tramvaielor prezintă avantaje tehnice, avantaje economice și avantaje privind confortul călătorilor și al personalului de bord.

Ce principale avantaje tehnice se menționează :

- caracteristica efort-viteză mai inclinată
- reglajul continuu al efortului de tracțiune în tot domeniul ( $F, V$ )
- eliminarea șocurilor de curent la revenirea tensiunii după o intrerupere intempestivă de scurtă durată.
- absorbirea unui curent mai mic din rețea de alimentare atât în timpul pornirii cât și în funcționare.
- posibilitatea folosirii frânării electrice prin la oprirea vehiculului.

- posibilitatea folosirii frânării electrice recuperative fără a complica schema.

Înțeptul că, caracteristica efort-viteză este mai înclinată prezintă importanță la funcționarea vehiculului pe o anumită caracteristică mecanică deoarece la variații mari ale forței de tracțiune corespund variații mici ale vitezei iar echilibru la variația întâmplatoare a forței de aderență se restabilește mai repede și elunecarea roților pe săna se înlatura mai ușor.

Reglajul continuu al efortului de tracțiune în tot domeniul (F.V) ca urmare a aplicării unei tensiuni progresive la bornele motoarelor de acționare rezolvă două probleme deosebite de importanță pentru buna funcționare a vehiculului și anume: folosirea deplină a aderenței și îmbunătățirea confortului călătorilor.

In cazul reglajului prin reostat forța de tracțiune la pornire și frânare variază între limita maximă  $F_{\text{max}}$  și limita minima  $F_{\text{min}}$ . Rezultă că forța de tracțiune medie  $F_{\text{m}}$  a cărei valoare este dată de relația

$$F_{\text{m}} = \frac{F_{\text{max}} + F_{\text{min}}}{2} \quad (170)$$

Abaterea forței de tracțiune față de valoarea medie va fi :

$$\Delta F_{\text{o}} = \frac{F_{\text{max}} - F_{\text{min}}}{2} \quad (171)$$

Se poate deci introduce un coeficient de neuniformitate a forței de tracțiune

$$K_{\eta_{F_o}} = \frac{\Delta F_{\text{o}}}{F_{\text{m}}} = \frac{1 - \frac{F_{\text{min}}}{F_{\text{max}}}}{1 + \frac{F_{\text{min}}}{F_{\text{max}}}} \quad (172)$$

Cum diferența  $F_{\text{max}} - F_{\text{min}}$  depinde de numărul treptelor reostatului de pornire rezulta că coeficientul de neuniformitate este cu atât mai mic cu cât reostatul are mai multe trepte.

In cazul folosirii variatorului de tensiune continuă se poate considera că reostatul are o infinitate infinitate de trepte și că urmăre  $K_{\eta_{F_o}} = 0$ .

Pentru evitarea patinării trebuie respectată condiția

$$F_o \leq \gamma G_a$$

(123)

Ge fiind greutatea aderență și  $\gamma$  coeficientul de aderență.

In cazul schemei cu rezistență de pornire condiție devine.

$$F_{o_{max}} \leq \gamma G_a$$

(124)

Rezulta ca forța medie de tracțiune va fi

$$F_{\bar{o}_m} = F_{o_{max}} - \Delta F_o$$

(125)

In cazul schemei cu variație de tensiune continuă se poate asigura ca

$$F_o - F_{o_{max}} = \gamma G_a$$

(126)

Deci schema cu variație permite folosirea deplină a aderenței.

Se știe că în perioadele tranzitorii

$$F_o = \sum R + F_a$$

(127)

unde

$F_o$  = forța de tracțiune la obâză

$\sum R$  = suma rezistențelor ce se opun mișcării

$F_a$  = forța de accelerare

Rezulta :

$$F_a = m a = F_o - \sum R$$

(128)

$m$  = masa vehiculului

$$a = \frac{F_o - \sum R}{m}$$

(129)

In cazul schemei cu variație trecerea de la o viteză la alta se face la  $F_o = \text{const.}$  deci accelerarea este determinată numai de inerția sistemului.

In cazul schemei cu rezistență pe linie accelerăriile determinată de inerția sistemului sporește <sup>suplimentar</sup> accelerările determinată de variație forței de tracțiune. Si cum aceasta variație se face brusc, rezulta că și accelerările pe care ele le produc sunt speciale și au consecințe defavorabile atât supraelementelor de transmisie cât și asupra conformului călătorilor.

Aceste fenomene apar și mai pregnant atunci cînd manipulantul nu respectă instrucțiunile de manevrare a controlerului (fig.57) [55]

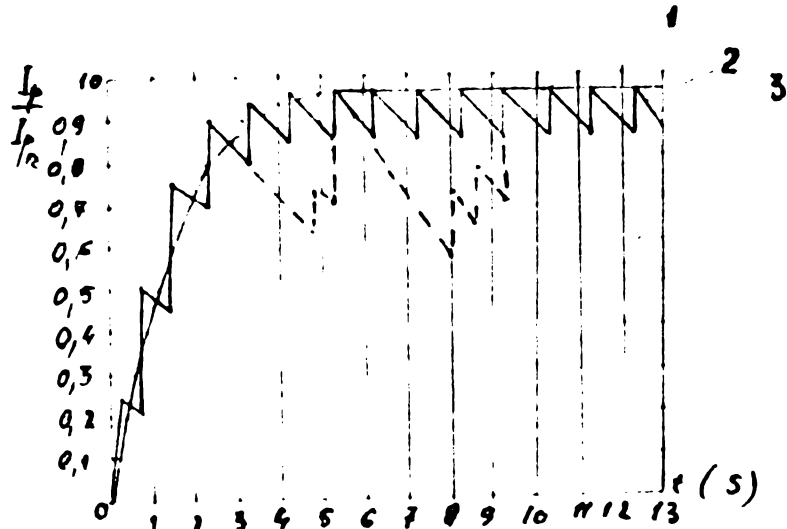


Fig.57 - Variația curentului de pornire.

1 - în cazul schemei cu variator de tensiune continuă.

2 - în cazul schemei cu reostat de pornire cînd pornirea este comandată automat.

3 - idem cînd pornirea este comandată manual

Intreruperile de scurtă durată ale tensiunii de alimentare a motoarelor de tracțiune sunt destul de frecvente. Ele se înregistrează atât la trecerile peste alte linii cît și din cauza deelanșării întreruptoarelor automate din substații ca urmare a unor suprasarcini pe un anumit tronson de linie.

Rezăriția tensiunii la linia de contact găsește motorul în condiții asemănătoare cu cele din perioada pornirii și dacă manipulantul nu a trecut controlerul macar pe o poziție intermediară apare un şoc de curent atât în motorul de tracțiune cît și în linia de contact. Marimea acestui şoc de curent depinde de durata interruperii și de viteza vehiculului. În condițiile normale ale trecerii peste încrucișări de linii acest şoc de curent stinge căm dublul valorii curentului de regim.

In cazul schemei cu variator de tensiune continuă, din motive care au fost deja explicate este necesar ca schema să fie prevăzută cu dispozitiv de protecție la dispariția sau chiar scăderea tensiunii sub o anumită valoare. Acest dispozitiv interupe impulsurile de aprindere a tiristorului principal.

Rezultă deci că la apariția tensiunii în linie de contact variatorul de tensiune continuă asigură că la bornele motoarelor tensiunea să se aplique progresiv pînă la valoarea nominală. În aceste condiții și curentul va avea o creștere exponențială pînă la valoarea de regim (fig.55). Acest lucru este deosebit de important atât pentru motor cât și pentru linia de contact mai ales atunci cînd pe o secțiune se aglomerează mai multe tramvaie.

Analizînd pornirea și funcționarea motorului de tracțiune în cele două situații (cu reostat și cu variator de tensiune continuă) se constată următoarele :

1. La același curent prin motor, curentul absorbit din linie de contact este mai mic în cazul schemei cu variator decît în cazul schemei cu reostat de pornire. Întradevar curentul prin tiristorul principal este întrerupt pe durata  $(1 - \delta)T$ . Deci, dacă curentul prin motor este  $I_m$ , curentul absorbit din rețea va fi  $\delta I_m$ . Analizînd acest curent în cele două posibilități de comandă a variatorului (prin frecvențe impulsurilor sau prin lățimi de impulsurilor) rezultă că la același curent prin motoare, curentul absorbit din rețea va fi cu atît mai mic cu cît frecvența de lucru, este mai mică respectiv cu cît lățimea impulsurilor este mai mică.

Deci raportul între curentul absorbit din rețea în schema cu reostat  $I_{m_R}$  și cu variator de tensiune continuă  $I_{m_V}$  este dat de relația

$$\frac{I_{m_R}}{I_{m_V}} = \frac{I_m}{\delta^2 I_m} = \frac{1}{\delta^2}$$

2. Se observă că acest raport este mai mare la pornire și scade pe măsură ce se funcționează pe caracteristici mecanice mai apropiate de caracteristica mecanică naturală. La funcționarea pe caracteristica mecanică naturală raportul respectiv are valoarea minimă.

Pe lîngă avantajele tehnice, schemele cu variator de tensiune continuă prezintă și avantaje economice cele mai importante fiind legate de reducerea consumului de energie electrică absorbită din rețea de alimentare și a cheltuielilor de întreținere.

Economia de energie absorbită din rețea poate fi evidențiată prin trei componente :

- energia economică ca urmare a lipsei reostatului de pornire ;

- energia economisată ca urmare a absorbirii din rețea a unui curent mai mic.

- energia economisată ca urmare a posibilității folosirii finanțării cu recuperare de energie.

Este cunoscut faptul că la pornirea cu reostat în acesta se consumă o energie a carei valoare poate fi calculată cu suficientă aproximativitate folosind relația

$$W_{P_R} = \frac{U}{2} I_{P_m} \cdot t_p \quad (181)$$

unde

$W_{P_R}$  - energia electrică consumată în reostatul de pornire (W.h)

$U$  - tensiunea liniei de contact (V)

$I_{P_m}$  - curentul mediu de pornire (A)

$t_p$  - timpul de pornire (h)

Am considerat că reostatul de pornire are un număr mare de trepte care asigură o variație liniară a tensiunii la bornele motoarelor de tracțiune.

Pi în folosirea schemelor cu variator de tensiune continuă la pornire se consumă din rețea o cantitate de energie electrică dată de relația

$$W_{V_p} = \frac{U}{2} \sigma I_p \cdot t_p \quad (182)$$

La pornirea prin reostat din rețea se consumă energia

$$\text{Rezultă } W_{R_p} = U I_p \cdot t_p \quad (183)$$

$$\frac{W_{V_p}}{W_{R_p}} = \frac{\sigma}{2} \leq 50\% \quad (184)$$

In funcționare normală economia de energie este determinată de faptul că, și se arată, curentul absorbit din rețea în cazul schemei cu variator de tensiune continuu este mai mic decât la scheme cu reostat.

Rezulta

$$\frac{W_{v_n}}{W_{r_n}} = \alpha \quad (185)$$

In relație de mai sus s-au notat :

$W_{vp}$  - energia consumată la pornire în cazul schemei cu variator.

$W_{RP}$  - idem în cazul schemei cu reostat

$W_{Vn}$  - energia consumată în funcționare normală în cazul schemei cu variator.

$W_{Rn}$  - idem în cazul schemei cu reostat.

Experiența arată că economia de energie la pornire și în funcționare în cazul folosirii variatorului de tensiune continuu depășește 38% [42, 77]

Potibilitatea realizării frânării electrice recuperative în cazul schemei cu variator de tensiune continuu constituie un alt mijloc de economisire a energiei electrice.

La o frânare, energia recuperată este dată de relație :

$$W_f = U \alpha I_f t_f \quad (186)$$

unde

$W_f$  - energia furnizată relației la frânarea electrică recuperativă (wh)

$U$  - tensiunea la bornele dipolului activ (V)

$I_f$  - curentul de frânare (A)

$t_f$  - timpul de frânare (h)

Măsurările efectuate pe stand în laborator au dus la concluzia că dacă se adaugă această energie, la energia economisită la pornire și în funcționare normală se ajunge la o economie totală de cca. 40% în funcție de condițiile concrete ale traficului.

Pe lîngă avantajele menționate, schemele de acțiuneare cu varistor de tensiune continuă au și unele neajunsuri.

Printre cele mai importante se remarcă fiabilitatea mai redusă a acestor scheme comparativ cu schema cu reostat de pornire. Folosind metodele aplicabile conexiunilor structurale compuse care au la bază fie schema logică fie teorema lui Bayes se pot scrie relațiile care exprimă probabilitatea de defectare (nefiabilitatea) unei scheme structurale tip paralel (specifică schemelor de acțiuneare cu varistor) respectiv probabilitatea de bună funcționare (fiabilitatea) a unei scheme structurale serie (specifică schemelor de acțiuneare cu reostat de pornire).

$$F(t) = \prod_{i=1}^n F_i(t) \quad (187)$$

$F_i$ , fiind probabilitatea de defectare a elementelor componente

$$R(t) = \prod_{i=1}^n R_i(t) \quad (188)$$

$R_i$ , fiind fiabilitatea elementelor componente definite prin relație

$$R_i(t) = e^{- \int_0^t z(t') dt'} \quad (187)$$

$Z(t)$  reprezintă intensitatea de defectare.

Din cele de mai sus se poate constata că la acțiunari de mică putere care folosesc un număr redus de elemente, schemele cu varistor asigură o fiabilitate mai bună decât cele cu reostat de pornire. Într-o schema pentru acțiunearea tramei iului însă, având în vedere curenții mari și faptul că ventilele semiconductoare realizate în prezent nu suportă curenți și tensiuni inverse prea mari, numărul elementelor componente în cazul schemelor cu varistor este mult mai mare decât în cazul schemelor cu reostat de pornire.

...//...

Dăsi fiabilitatea fiecarui element separat este mai mare, pe ansamblu, având în vedere că numărul elementelor este de 2-3 ori mai mare, fiabilitatea schemei cu varistor împărtășește condițiile realizării ei ca o schema structurală paralelă comparativ cu o schemei cu reostat de pornire rezultă: [106]

$$R_v(t) = \frac{1}{\pi} \left[ 1 - e^{-\frac{t}{2}} \right]^{1/2} \quad (190)$$

$$R_e(t) = \frac{\pi}{2} e^{-\frac{t}{2}} \quad (191)$$

Calculele efectuate de mine folosind relațiile (190) (191) pentru schema din fig.50 comparativ cu cele pentru schema clasică folosită la acționarea tramvaiului Moloboghiu [18] utilizând ca indicator intensitatea medie de defectare luată după [107] au dus la concluzie că fiabilitatea schemei cu varistor este cu cca. 20% mai scăzută decât a celei cu reostat de pornire. Datele obținute sunt prezentate în anexa nr.3.

Un alt inconvenient al schemelor cu varistor în condițiile actuale îl reprezintă costul mai ridicat (cu cca. 50%) față de schema cu reostat de pornire determinat în mare parte de faptul că aproximativ 60% din valoarea elementelor care compun scheme de acționare se procură din import. Această problemă va fi însă rezolvată având în vedere că programul de asimilare al MICM prevede că începând din 1977 IPBS-Băneasa să realizeze tiristoare și diode cu caracteristici care să satisfacă condițiile impuse de schemele de acționare a vehiculelor pentru transportul în comun.

Trebuie menționat deosebitul zgomotul provocat de sistemul de ventilație a varistorului și de inductanțele schemei ca și greutatea și volumul echipamentului aferent schemei cu varistor.

Reducerea influenței perturbațiilor provocate de schemele cu varistor de tensiune continuă nu poate fi rezolvată numai prin alegerea corectă a frecvenței de lucru a varistorului și a filtrului de rețea. Se impun măsuri suplimentare de separare prin filtre LC, ecranarea circuitelor și a surseilor de perturbații, alegerea corectă a traseelor circuitelor etc., toate acestea conducând în final la scumpirea instalației.

### Cap. 8. Rezultate obținute

Incepînd din anul 1971 am intensificat preocupările pe linie de căsirii soluțiilor optime în rezolvarea problemelor legate de utilizarea varistorului de tensiune continuă în acționarea electrică a mijloacelor de transport în comun urban. În acest sens am efectuat studii și experimentări asupra mai multor variante de scheme pentru acționarea troleibuzului și tramvaiului. Experimentările au fost efectuate inițial în laborator pe stand iar apoi, în exploatare pe troleibuz și pe tramvai.

Studiile și experimentările au avut ca scop evidențierea comportării și performanțelor varistorului de tensiune continuă, a comportării motorului de tracțiune în condițiile comenzi prin impulsuri de tensiune, a influenței schemei cu varistor asupra caracteristicilor de tracțiune și de frânare, asupra instalațiilor de telecomunicații, asupra liniei de contact și asupra economiei de energie electrică.

#### 8.1. Comportarea varistorului

Varistorul de tensiune continuă împreună cu blocurile de comandă aferente le-am supus unor încercări minuțioase care să pună în evidență comportarea acestora în diferite condiții de funcționare: temperaturi ale mediului ambient cuprinse între  $-35^{\circ}\text{C}$  și  $+65^{\circ}\text{C}$ , umiditatea relativă 93-98%, vibrații cu frecvență cuprinsă între 20 Hz și 50 Hz și accelerări de 3 g și scuturături cu frecvență de 120 lovitură pe minut și accelerări de 3 g.

Încercarea echipamentului la temperatură de  $+65^{\circ}\text{C}$  am efectuat-o într-o etuve termostatică în care acesta a fost menținut timp de două ore.

Încercarea la temperatură de  $-35^{\circ}\text{C}$  am efectuat-o timp de 2 ore cu echipamentul în stare de funcționare în interiorul unei camere climatice tip NEMA instalată în cadrul laboratorului de cercetări protecției climatice din ICPE - București.

...//..

Încercarea comportării la umiditate a efectuat-o menținind echipamentul timp de 48 ore într-o cameră având umiditatea de 95 % și temperatură constantă de  $25^{\circ}\text{C}$  pe totă durata încercării. La sfîrșitul perioadei am verificat rezistența de izolație a circuitelor față de carcasa cu ajutorul unui indicator de 500 V și rigiditatea dielectrică a izolației față de carcasa aplicând timp de 1 minut tensiunea de 500 V, 50 Hz, obținută de la o stație de încercare cu puterea de 2500 VA.

Încercarea comportării la vibrații și scuturături a realizat-o cu ajutorul standurilor speciale existente în ICPE care permit alegerea corespunzătoare a frecvenței și accelerării.

În aceste condiții cu ajutorul instalației prezentate schematic în fig.59 s-a verificat principali parametri funcționali și varistorului și anume :

- variația tensiunii la ieșire în funcție de raportul ciclic (fig.58)
- intrarea în funcțiune a protecției de tensiune cind tensiunea de alimentare scade sub 500 V și deblocarea, acestei protecții la creșterea tensiunii la valoarea de 500 V.
- intrarea în funcțiune a protecției de curent cind curentul de sarcină depășește valoarea prescrisă.

Variată tensiunii de ieșire din varistor în funcție de raportul ciclic a determinat-o la funcționarea în gol a varistorului alimentat la tensiunea constantă ( $U = 750$  V). În aceste condiții s-a măsurat tensiunea la ieșirea din varistor pentru diferite valori ale lui  $\delta$  ( $0,2; 0,4; 0,5; 0,8; 0,94$ ).

Scăderea tensiunii de alimentare sub valoarea de 500 V nu este admisă de normele în vigoare. În acesta situație protecția de tensiune trebuie să intre în funcțiune în mod sigur cind tensiunea de alimentare atinge valoarea de 500 V. Verificarea acestei condiții a efectuat-o tot la funcționarea în gol a varistorului. Am săzut treptat tensiunea de alimentare a varistorului prin intermediul redresorului comandat  $R_{com}$  (fig.59) și am urmat valoarea tensiunii la care se activează protecția și valoarea tensiunii la care această protecție se deblochează permitând generarea impulsurilor de sprindere și știngere a tiristorului principal. Protecția este prevăzută cu posibilitate

de reglaj a valorii tensiunii la care se intreupă impulsurile de sprindere și de stingere. Am efectuat mai multe măsuratori pentru a determina dispersia valorilor tensiunii de întrerupere și de restabilire a impulsurilor obținând următoarele date (vezi tabelul 1).

Din fig. 58 și din datele prezentate în tabelul menționat se constată că variațiile de temperatură influențează foarte puțin caracteristicile normale de funcționare ale variatorului (determinate pentru temperatură ambientă de  $25^{\circ}\text{C}$  și umiditatea relativă de 65%) aceasta ca urmare a stabilității parametrilor funcționali ai elementelor componente (tiristoare, diode, transzistori, condensatoare)

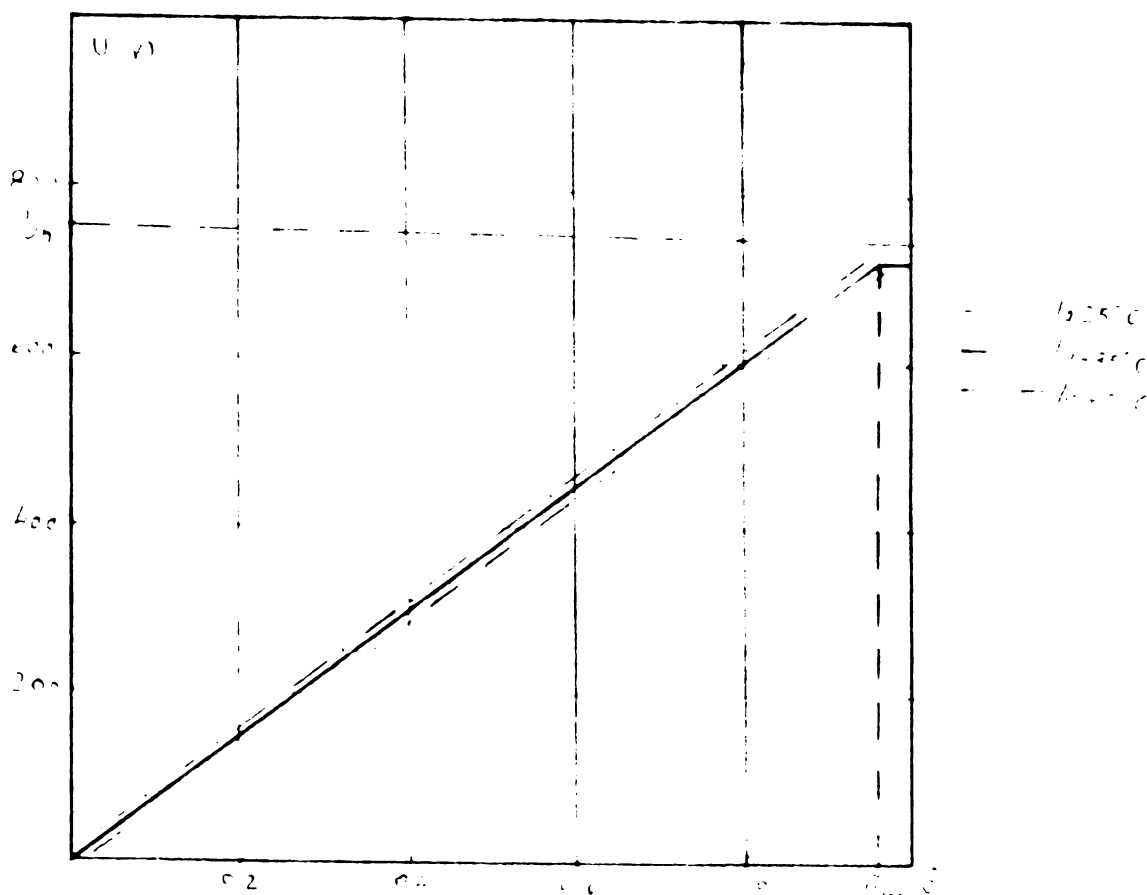


Fig.58 - Variația tensiunii la ieșirea din variator în funcție de raportul ciclic.

Verificarea funcționării protecției de curent am realizat-o tot fără scheme din fig. 59. variatorul funcționând la tensiunea nominală ( $750\text{ V}$ ). Cu ajutorul rezistorului ajustabil R am modificat treptat valoarea curentului de sarcină pînă la valoarea maxima admisă ( $400\text{ A}$ ). La această

veloare, protecția de curent intră în funcțiune blocând furnizarea impulsurilor de sprindere și de stingere a tiristorului principal. Deblocarea protecției de curent se realizează numai la intervenție operatorului care este obligat să manipuleze un buton. Acest lucru este pus în evidență cu ajutorul sempermetrului A din fig.59.

O alta categorie de încercări au avut ca scop să determine încalzirile principalelor elemente ale variatorului în regim de funcționare de durată la sarcina nominală.

Variatorul alimentat la tensiunea nominală a fost inserat în circuitul unei sarcini rezistiv-inductive astfel calculată, încit prin variator să treacă curentul nominal (225 A) să cum se arată în fig.59.

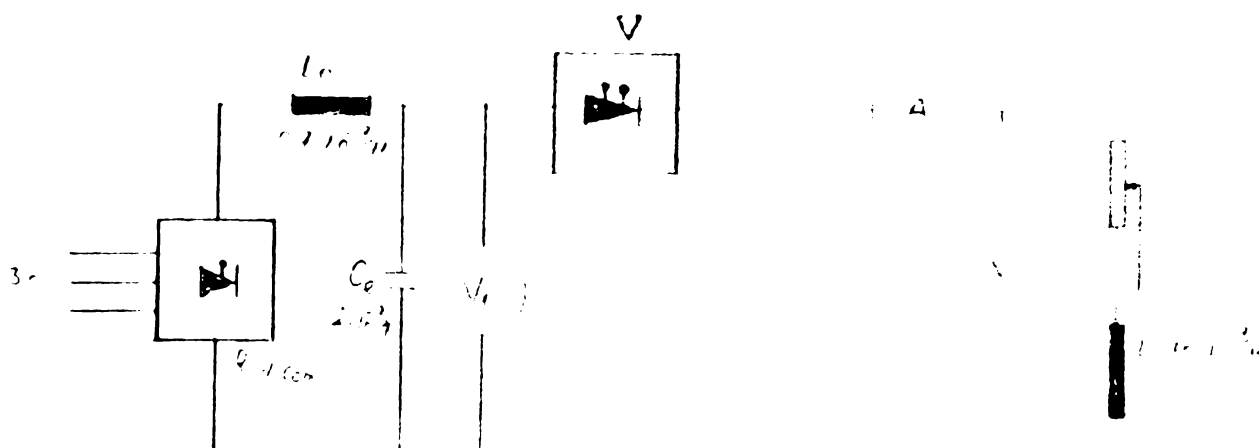
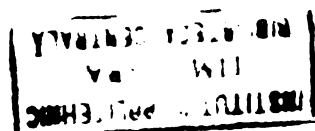


Fig.59 Schema folosită pentru măsurarea încalzirii elementelor componente ale variatorului.

Încalzirile ventilelor semiconductoare și ale condensatoarelor le-am determinat prin măsurări directe cu termocouple iar încalzirile înfășurărilor inductive prin metoda variației rezistenței. Valorile obținute la stabilizarea regimului termic sunt menționate în anexe 1 pentru o temperatură ambientă de  $25^{\circ}\text{C}$ .

Funcționarea de durată a variatorului instalat pe un tramvai tip TIMIS 1 înc. din anul 1975 a scos în evidență necesitatea utilizării unor tiristoare și diode rapide care să suporte în bune condiții solicitările electrodinamice care apar ca urmare a variațiilor repede și rapide ale curentului și tensiunii.



## 8.2. Comportarea motorului de tracțiune

Încercările pe care le-am efectuat în laboratorul ICPE<sup>și</sup> al IMEB asupra mai multor motoare de curent continuu au evidențiat faptul că alimentarea acestora prin variator de tensiune continuă cu tensiune sub formă de impulsuri influențează negativ urmatorii parametri funcționali ai motorului: puterea utilă, cuplul motor, turăția, rendământul. De asemenea în acest caz încalzirile îngășărilor motorului și ale circuitului magnetic cresc comparativ cu cele obținute în cazul alimentării directe dela sursă de tensiune continuă.

Ondulația curentului prin motor are o importanță deosebită în realizarea parametrilor funcționali și privind încalzirea acestuia.

În baza relațiilor (38)(39), ondulația curentului prin motor rezulta:

$$\Delta I_m = I_{max} - I_{min}$$

care după efectuarea calculelor conduce la expresia

$$\Delta I_m = \frac{U_1}{r} \frac{(1 - e^{-\frac{\delta T}{2}})(1 - e^{-\frac{\delta T'}{2}})}{1 - e^{-\frac{T}{2}}} \quad (192)$$

Se observă că pentru un motor dat ondulația curentului depinde de raportul ciclic  $\delta$  și de perioada de reglare  $T$ .

Dacă se dezvoltă în serie termenii relației (192) și se iau primii doi termeni ai seriei se obține relația

$$\Delta I_m = \delta(1 - \delta) \frac{T}{2} \frac{U_1}{r} = \delta(1 - \delta) \frac{T \cdot U}{L} \quad (193)$$

Aceasta relație are valoarea maxima pentru  $\delta = 0,5$  (aceasta rezultă din condiția  $\frac{d\Delta I_m}{d\delta} = 0$ ). Rezultă deci că în cazul alimentării motorului de la un variator comandat prin lățimea impulsurilor în circuit trebuie să se introducă o inductanță de netezire suplimentară care să scurteze automat cînd raportul ciclic se găseste în domeniul  $0,7 \leq \delta \leq 0,3$ .

În fig.60 am reprezentat grafic relația (193) în funcție de  $\delta$  pentru  $U_1 = 750$  V și diferite valori ale frecvenței de lucru a variatorului și ale inductanței circuitului.

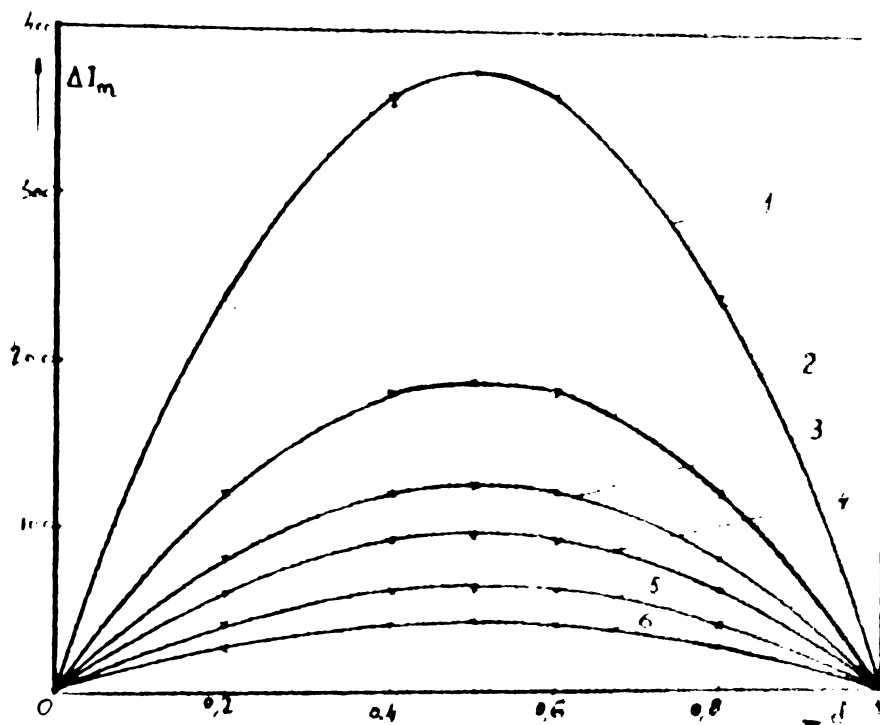


Fig. 60 - Curbele corespunzătoare relației (193)

Curbele din fig.60 corespund următorelor condiții :  
Curba nr.1

$$f = 100 \text{ Hz}$$

$$L = 5 \cdot 10^{-3} \text{ H}$$

Curba nr.2.

a) $f = 100 \text{ Hz}$	b) $f = 200 \text{ Hz}$
$L = 10 \cdot 10^{-3} \text{ H}$	$L = 5 \cdot 10^{-3} \text{ H}$

Curba nr.3.

a) $f = 100 \text{ Hz}$	b) $f = 300 \text{ Hz}$
$L = 15 \cdot 10^{-3} \text{ H}$	$L = 5 \cdot 10^{-3} \text{ H}$

Curba nr.4

$$f = 200 \text{ Hz}$$

$$L = 10 \cdot 10^{-3} \text{ H}$$

Curba nr.5

a) $f = 200 \text{ Hz}$	b) $f = 300 \text{ Hz}$
$L = 15 \cdot 10^{-3} \text{ H}$	$L = 10 \cdot 10^{-3} \text{ H}$

Curba nr.6

$$f = 300 \text{ Hz}$$

$$L = 15 \cdot 10^{-3} \text{ H}$$

Analizînd curbele prezentate în fig.60 rezulta urmatoarele concluzii deosebit de importante :

- la frecvențe de lucru mai mici de 200 Hz - ondularea curentului de sarcină variază foarte pronunțat în funcție de reportul ciclic,

→ valoarea maxima depășind de cca. două ori valoarea medie;

- menținînd constantă aceasta frecvență, ondularea poate fi redusa înscriind în circuitul motorului o inducțanță suplimentară;

- la frecvențe de lucru ale variatorului mai mari de 300 Hz, ondularea curentului este suficient de mică fără a mai fi necesară înscrierea unei inducțanțe suplimentare în circuitul motorului;

- creșterea frecvenței de lucru a variatorului sau înscrierea inducțanței corespunzătoare au ca efect obținerea unor valori  $\frac{\Delta I_m}{\Delta \phi}$  mai mici, reducerea valorii maxime a ondularii ce și a reportului între valoarea maxima și cea medie. Se vede că la  $f = 300$  Hz și  $L = 10 \cdot 10^{-3}$  H (o inducțanță apropiată ca valoare de inducțanță unui motor de curent continuu de tracțiune tip TN 73 de 120 kW)

$$\frac{(\Delta I_m)_{med}}{(\Delta I_m)_{max}} \approx 1,3.$$

Efectuînd calculele pe baza relației (193) pentru motorul de curent continuu cu excitare serie de 74 kW, 750V, 1470 rot/min avînd  $L = 5,7 \cdot 10^{-3}$  H și  $r = 0,42 \Omega$ , alimentat prin variator cu frecvență de lucru de 100 Hz rezultă

$$(\Delta I_m)_{med} = \frac{U \cdot T}{4L} = 329 A$$

$$(\Delta I_m)_{max} = 210 A$$

In cazul funcționării la  $c' = \sigma_{max} = 0,94$  rezultă

$$\Delta I_m = 74 A$$

Stiind că curentul nominal al motorului este 100 A rezultă că

$$\frac{\Delta I_m}{I_m} \times 100 = 74 \%$$

...//..

Dacă se mărește frecvența de lucru a variatorului la 300 Hz și larea se micșorează de trei ori și ducă :

$$\Delta I_m / I_m = \log 4$$

$$(\Delta I_m / I_m)_{\text{real}} = 24,64$$

Rezulta că și în aceasta situație vîrfurile de curent la care este supusă înășurarea motorului pot atinge valori foarte mari (peste 1,5  $I_m$ ).

Pentru a limita aceste vîrfuri la valori acceptabile (sub 1,1  $I_m$ ) este necesară inserierea unei inductanțe suplimentare a cărei valoare rezultă din condiția

$$\frac{\Delta I_m}{I_m} \leq 0,2$$

$$L = 85,4 \cdot 10^{-3} H - 5,7 \cdot 10^{-3} H = 79,1 \cdot 10^{-3} H$$

pentru cazul cînd se lucrează în zonă

$$0,3 \leq \beta \leq 0,7 \quad \text{și}$$

$$L = 19,3 \cdot 10^{-3} H - 5,7 \cdot 10^{-3} H = 13,6 \cdot 10^{-3} H$$

pentru cazul cînd se lucrează în zonă

$$0,7 \leq \beta \leq 0,3$$

Încercările pe care le-am efectuat la IME3 asupra unui motor de curent continuu tip TN 74,750V, 178.A, 1405 rev/min au evidențiat faptul că gradul de ondulare scade cu creșterea curentului de sarcină și depinde de gradul de excitație al mașinei (vezi tabelul nr. 2 în anexă).

Ridicînd caracteristica mecanică a aceluiasi motor în cazul alimentării prin variator și în cazul alimentării directe de la o sursă de curent continuu am obținut urmatoarele date (vezi tabelul nr. 3 în anexă).

Să observă că la sarcina nominală tură, ie măsurată difere față de turărie indicată de producător cu 3,92 % în cazul alimentării directe și cu 0,71 % în cazul alimentării prin variator.

Pentru a evidenția influența alimentării prin variator de tensiune continuă asupra încalzirii înășurărilor am incercat motorul tip TN 74 încărcat la sarcina nominală în serviciul S1. Motorul a funcționat pînă la stabilizarea regimului termic cu grad de excitație 80% și grad de ondulare a curentului 37 %.

Incalzirile înfașurărilor sunt determinat prin metoda variației rezistenței cu temperatură folosind expresia

$$\Delta t = \frac{R_2 - R_1}{R_1} / 234,5 + t_1 - (t_2 - t_1) \quad (194)$$

unde

$\Delta t$  - supratenperatura ( $^{\circ}$ C)

$R_1, t_1$  - rezistența înfașurării ( $\Omega$ ) respectiv temperatură ambiantă ( $^{\circ}$ C) în stare rece a motorului.

$R_2, t_2$  - rezistența înfașurării ( $\Omega$ ) respectiv temperatură ambiantă ( $^{\circ}$ C) în stare de regim a aparatului.

Am obținut rezultatele prezentate în tabelul nr. 4 în anexă.

Întrucât formularea unei concluzii clare am efectuat încercări pentru determinarea incalzirii în cele două situații de alimentare și asupra următoarelor măsură electrice de curenț continuu.

Caracteristici Tipul motorului	TH73		TN75		MCM 8e0	MCM 8e2	MCM 8e3	MCM 8e6
tens. nominală(V)	750	750	440	440	440	440	440	440
puterea nominală (W)	120	185	37	75	11	22		
curențul nominal(A)	178	270	94	20	30	57		
rândamentul (%)	90	90	90	84	84	88		
tură,ia nominală (rot/min)	1480	1350	575	900	800	850		
clasa de izolație								
- rotor	B	F	B	B	B	B		
- stator	F	F	B	B	B	B		

În urma calculelor efectuate am obținut rezultatele prezentate în tabelul 5 în anexă.

Din aceste date se desprind următoarele concluzii :

- pentru o gamă largă de puteri incalzirea înfașurării indușului nu crește cu mai mult de 15 %, a înfașurării de excitație cu mai mult de 20%, a înfașurării polilor auxiliari cu mai mult de 23% și a înfașurării de compensație cu mai mult de 10,6 %;

- influența alimentării prin varistor asupra încalzirii este mai pronunțată la motoarele de putere mare.

Din încercările efectuate asupra motorului tip TN73 75kW, 120 kW alimentat direct la sursa de curent continuu și alimentat prin varistor de tensiune continuă s-au obținut următoarele date comparative corespunzătoare sarcinii nominale (vezi tabelul nr. 6 în annex).

Rezultă următoarele concluzii :

- la aceeași valoare a curentului mediu prin motor în cazul alimentării prin varistor se înregistrează scăderea puterii utile cu 2 %, a răndamentului cu 1,5 % și a turării cu 3,5 %;

- perioadele în cupru cresc cu mai puțin de 1 % iar cele în fier cu aproape 2% la alimentarea prin varistor comparativ cu alimentarea directă de la sursa de curent continuu;

- în ambele cazuri valorile obținute se încadrează în toleranțele prevazute de STAS 5679-68.

### 8.3. Influența schemei cu varistor asupra caracteristicilor mecanice și de tracțiune

Cu ajutorul schemei din fig.54 am ridicat caracteristicile mecanice a motorului de 74 kW pentru diferite valori ale raportului ciclic care corespund situațiilor caracteristice întâlnite la schema de comandă cu reostat de pornire.

Aceste caracteristici determinate experimental sunt prezentate în fig.56. În cazul schemei cu reostat s-a folosit o rezistență de pornire de  $2,7 \Omega$ .

Din figura se observă că în domeniul turărilor mici în cazul schemei cu varistor turăria scade foarte puțin la creșterea curentului confirmindu-se astfel și experimental concluziile teoretice formulate în paragraful 4.1. Aceasta este un important avantaj pentru pornirea vehiculului atât sub aspectul asigurării unui câștig corespunzător cât și privind evitarea șocurilor în timpul pornirii.

Măsurările pe care le-am efectuat asupra echipamentului montat pe vehicul au evidențiat următoarele :

1. În cazul schemei cu variator de tensiune continuu se realizează o creștere a valorii medii a accelerării la pornire (pînă la viteză de 10 Km/h) cu aproape 15 % față de accelerarea obținută la pornirea cu reostat (fig. 61), cu toate că în procesul pornirii cu reostat valerile momentane ale accelerării sunt mai mari, ele constînd și una din cauzele care provoacă șocuri la pornire.

Măsurările pe care le-am efectuat pînă la atingerea vitezei de regim (40 km/h) pe un traseu drept și necirculat asupra unui tramvai tip Timis-1 echipat cu variator de tensiune continuu și asupra altui tramvai Timis-1 echipat cu reostat de pornire încarcate cu sarcina nominală, au condus la datele prezentate în tabelul nr. 7. (vezi tabelul nr. 7 în anexă).

2. Capacitatea de demaraj îmbunătățita se menține pînă la viteză de cca. 15 Km/oră.

3. ~~XXX~~ La vîzeze mai mari de 20 Km/oră caracteristicile devin aproape paralele și ca urmare accelerările medii și valori apropiate fiind mai mari la schema cu reostat datorită faptului că la aceeași tensiune a liniei de contact tensiunea la bornele motorului este mai mare în această situație.

4. Curentul absorbit din rețea în primul moment al pornirii reprezintă numai 4,5 % din curentul de pornire măsurat în cazul schemei cu reostat de pornire.

...//...

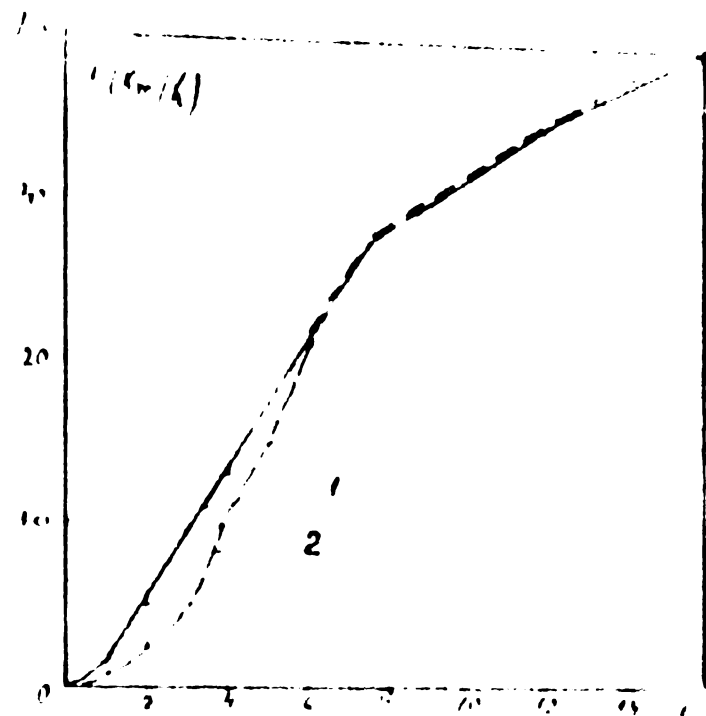


Fig.61 - Variația vitezei în funcție de timp la deversaj.

- 1 - la schema cu variator
- 2 - la schema cu rezistență de pornire

### 8.3. Perturbații provocate de funcționarea schemei cu variator de tensiune continuă

Experimentările pe care le-am făcut în laborator și asupra echipamentului instalat pe tramvai au confirmat considerațiile teoretice prezentate în paragraful 3.5. privind influențe pe care schema cu variator de tensiune continuă o are asupra circuitelor de telecomunicații și telecomandă și asupra instalațiilor electrice de pe vehicul echipat cu o astfel de schema.

Tensiunile de înaltă frecvență se induc în circuitele menționate mai sus datorită valorilor  $\frac{C}{L}$  mari (de ordinul zecilor și chiar sutelor de amperi pe microsecunde) se manifestă prin următoarele efecte nefedive ce se înregistrează în funcționarea varistorului :

- supratensiuni importante și valori  $\frac{C}{L}$  ridicate care pot duce la distrugerea ventilelor semiconductoare;
- comenzi false pentru aprinderea tiristorelor;
- înrăuțarea funcționării unor elemente ale schemei de acționare și de comandă ca urmare a modificării stării

normale a tranzistoarelor, inductanțelor, amplificatoarelor magnetice etc;

- comenzi false în circuitele serviciilor auxiliare de pe vehicul care au condus la apariția de semnalizări false.

Măsurările efectuate de către colectivul de specialitate de la ICPE privind perturbațiile radioelectrice provocate de funcționarea variatorului au evidențiat faptul că acestea influențează spațialele de radio și televiziune alimentate rețesua de curent alternativ, cît și de la baterie. Dacă nu se iau măsuri speciale aceste perturbații sunt deosebit de puternice făcând chiar imposibila recepționarea programelor de radio și televiziune.

Pentru diminuarea efectului perturbator al echipamentului cu variator principala măsura pe care am avut-o în vedere încă de la conceperea schemei prezentate în cap.6 a fost realizarea acestora să funcționeze cu frecvență de lucru constantă.

Am ales deasemeni frecvența filtrului de rețea în conformitate cu precizările din [17] și am determinat valourile elementelor acestui filtru ( $L_e, C_e$ ), care realizează valori acceptabile pentru supratensiunile la bornele variatorului și ale ondularii curentului prin linia de contact.

Tensiunea maxima, măsurată la bornele variatorului a fost de 985 V în cazul comenzi decalate a variatoarelor și de 1070 V în cazul comenzi simultane.

Valoarea de vîrf a curentului de linie în prima situație a fost 265 A iar în a doua situație 370 A, la o valoare medie a curentului de sarcină de 225 A.

Pentru reducerea perturbațiilor s-au luate deasemeni măsuri constructive și anume :

- montarea pe trasee separate a circuitelor de forță față de cele de comandă și ale serviciilor auxiliare;

- ecranarea cablurilor de legătură între filtru de rețea și variator;

- separarea galvanică a surselor de alimentare pentru schema de comandă față de cele destinate altor servicii;

- intercalarea de circuite RC pe elementele care în funcționare generează perturbații radioelectrice ;
- montarea diodelor de circulație care scurcircuită tensiunile parazite determinate de intreruperile rapide ale curentului prin circuitele schemei de forță și ale celei de comandă :

In afara perturbațiilor de natură electromagnetică scheme cu varistor de tensiune continuă produce și o poluare sonică destul de supărată. Principalele surse de zgomot sunt inductanțele circuitului și mai ales inductanța circuitului de stingere.

Măsurările efectuate din acest punct de vedere au evidențiat faptul că zgomotul produs de aceste echipamente are frecvențe cuprinse între 100 și 400 Hz [94]

Soluțiile utilizate pînă în prezent nu au condus la rezolvarea corespunzătoare a acestei probleme.

#### 8.4. Economia de energie electrică

Măsurările efectuate de autor împreună cu colectivul de realizare asupra vehiculelor echipate cu varistor de tensiune continuă conform schemelor prezентate în [95] au evidențiat faptul că în condiții normale de trafic vehiculul echipat cu varistor realizează un consum de energie electrică cu peste 35 % mai mic decît cel echipat cu reostat de pornire. Astfel la troleibuz pe o distanță de 28 Km cu o sarcină de 9,5 t s-a înregistrat un consum de 107 Wh/t.km. la schema cu varistor și 165 Wh/t.km la o schema cu reostat. Diferența se măreste substanțial în perioadele de vîrf cind traseele sunt aglomerate și se circulă cu viteza redusă.

Cu ajutorul schemei din fig.54 am determinat energia recuperată în regim de frânare în condițiile cind aceasta energie poate fi consumată integral de altă receptoare. Ea reprezintă 16,2 % din consumul orar util de energie electrică.

...//...

### Cap.9. CONCLUZII

9.1. Dezvoltarea electronicii de putere a determinat preocupari intense pentru realizarea de scheme cu tiristoare care să poată fi folosite la acționarea electrică a mijloacelor de transport în comun urban. La ora actuală s-au impus și se extind schemele cu variator de tensiune continuă (Chopper) care prezintă avantajul că folosesc echipamentul de bază existent (linia de contact de curent continuu și motorul de c.c. cu excitarea serie) asigurând performanțe funcționale cu caracteristici tehnice și economice superioare.

9.2. Am prezentat tipurile mai semnificative de variatoare de tensiune continuă și particularitățile folosirii acestora în cazul acționării motorului de curent continuu cu excitare serie în schemele de pornire, modificarea tuturor și frânare electrică, evidențiind avantajele și dezavantajele fiecarui sistem descris.

9.3. În contextul particularităților funcționării schemelor cu variator de tensiune continuă am analizat ansamblul variator, linie de contact, motor evidențiind necesitatea prezentei filtrului de rețea și modul de alegere corectă a frecvenței de lucru a variatorului și a frecvenței filtrului pentru reducerea efectelor negative ale acestora asupra motorului, a liniei de contact și a instalațiilor de telecomunicații.

9.4. Am analizat o schema cu variator de tensiune continuă pentru acționarea electrică a tramvaiului la noi în țară care realizează pornirea și modificarea vitezei tramvaiului prin variația continuă a tensiunii de alimentare a motoarelor de tracțiune, frânarea electrică și comandată în mod automat în funcție de tensiunea liniei de contact motoarele funcționând în regim de generator cu excitare serie. Stabilitatea funcționării în regim de frânare este asigurată prin încrucișarea înfașurărilor de excitație

...//..

și preexcitarea generatorelor de la baterie și scumuleare a tramvaiului. Pe baza rezultatelor obținute pe stand și a datelor din exploatarea tramvaiului Timis 1 echipat cu variator de tensiune continuă am stabilit performanțele variatorului, comportarea motorului de tracțiune în diferite regimuri de funcționare și influența curenților de pornire asupra liniei de contact.

9.5. Am analizat implicațiile tehnico-economice ale folosirii variatorului de tensiune continuă în acționarea electrică a tramvaiului evidențiind avantajele tehnice, avantajele economice și dezavantajele acestui sistem de tracțiune.

9.6. Am participat efectiv la încercările efectuate pentru omologarea echipamentului cu variator de tensiune continuă pentru acționarea troleibuzului și a tramvaiului realizat de un colectiv de cercetare din ICPE. Din aceste măsuratori și rezultat avantajele schemei cu variator : economii de energie electrică de 35 %, accelerării la porniri mai mari ( $0,7 \text{ m/s}$  față de  $0,3 \text{ m/s}^2$ ) și fără securi, curentul lăsat de la linia de contact în primul moment al pornirii mult mai mic ( $10 \text{ A}$ , față de  $22 \text{ A}$ )

Echipamentul cu tiristore funcționează corect într-o gamă largă de temperaturi ale mediului său ( $-35^\circ\text{C} \rightarrow 65^\circ\text{C}$ ) și nu este influențat de vibrații și zdruncinăsturi cu accelerării pîna la 3 g.

Nu se poate emite pretenție că problemele levate de utilizarea schemelor cu variator de tensiune continuă pentru acționarea electrică a tramvaiului să fie rezolvate în totalitate și complet. În țara noastră realizările în acest domeniu sunt de abia la început dar suficient de promițătoare pentru a reclama intensificarea preocupărilor stîrpe pe linie cercetărilor pentru fundamentarea teoretică a problemelor noi și a elaborării de scheme și de elemente care să conduca la valorificarea la maxim a avantajelor oferite de acest sistem și la rezolvarea cerințelor privind creșterea fiabilității, reducerea prețului de cota și a gabaritului subensemblelor.

In încheiere, autorul aduce calde mulțumiri înovașului Prof.Dr.ing.E. Serescu pentru îndrumarea permanentă și sprijinul acordat în buna desfașurare a programului de pregătire și la realizarea lucrării ca și conducerii I.C.P.E . care a creat condiții deosebite pentru cercetari și experimentari.

Mulțumesc totodată colectivului de cercetare din ICPE condus de tov. ing. I. Strainescu și conducerii Intreprinderii de transporturi și construcții de vagoane de tramvai Timișoara pentru sprijinul acordat în efectuarea experimentelor pe stand și pe tramvai în exploatare.

---

ANEXA - 1

PERFORMANTELE

variatorului de tensiune continuă determinate pe baza încercărilor în laborator.

Tensiunea la bornele de ieșire ale variatorului

- maxima	0,96 Uc
- minima	0,03 Uc

Tensiunea de alimentare la care se produc blocares semnalelor de sprindere a tiristoarelor principale

- maxima	900 V
- minima	500 V

Curentul maxim de sarcină admis de variator

400 A

Supratensiunea maxima la bornele de intrare ale variatorului datorită funcționalității acestuia.

1070 Vev

Supratemperatura maxima a elementelor componente în regim de funcționare de durată la sarcină nominală<sup>X)</sup>

- tiristeare principale	36,7°C
- tiristoare de încarcare	30,5°C
- tiristoare de stingere	37,2°C
- tiristoare de frânare	31,2°C
- condensatoare	15,7°C
- diode	37,5°C
- inductanțe	77,5°C

Măsurările s-au facut la o temperatură ambientă de 25°C.

DATE COMPARATIVE

privind comportarea motorului de curent continuu tip TN 73 alimentat prin variator de tensiune continuă și prin conectarea directă la surse de tensiune, continuă.

Marimea urmarita	Valori comparative
Puterea utilă	0,98
Cuplu motor	1,02
Turația	0,965
Rendamentul	0,985
Supratemperatură înfașurării rotorice	1,15
" " de excitație	1,2
" " polilor auxiliari	1,23
" " de comutare	1,106

Note

Cifrele reprezintă raportul între valorile obținute în cazul schemei cu variator de tensiune continuă și în cazul alimentării directe, la tensiune și sarcină nominală.

ANEXA - 2DATE DE BAZA

pentru calculul fiabilității schemei de acționare electrică a tramvaiului determinate pentru un timp mediu de funcționare de 50.000 ore.

Nr. Elementul crt. component	Schema clasică			Schema cu variator		
	Total Conectate în serie	Conectate în paralel	$Z_m$ $10^{-6}/h$	$R_1$ $10^{-6}/h$	$R$ $10^{-6}/h$	Total Conectate în serie
1. Comutator cu cane	2	2	-	0,19	0,999	0,998
2. Contactor (peretechi contacte)	18	5	13	0,25	0,997	0,985
3. Reostat	1	1	-	0,13	0,999	0,999
4. Bobine de inducție	-	-	-	-	-	-
5. Bobine de filtrare	-	-	-	-	-	-
6. Diode de siliciu	-	-	-	-	-	-
7. Triistor	-	-	-	-	-	-
8. Condensator electronic	-	-	-	-	-	-
9. Rezistență bobină	-	-	-	-	-	-

$$\rho_A(t) = 0,982$$

$$\frac{R_A(t)}{R_B(t)} = 1,207$$

$$\rho_B(t) = 0,8156$$

TABELL - 1

Numarul determinantei	1	2	3	4	5	6	7	8	9	10
Tensiunea de blocare (V)	1a - 35°C	492	495	497	495	497	498	497	495	496
	1a 25°C	495	498	499	498	500	500	499	497	496
	1a 65°C	497	501	502	501	502	502	501	500	498
Tensiunea de deblocare (V)	1a - 35°C	501	497	500	498	499	501	499	498	498
	1a 25°C	503	500	502	501	502	502	501	499	498
	1a 65°C	504	501	503	502	503	504	504	501	500

- 146 -

TABELL 2

Im(A)	150	200	250	300	Obs
( $\frac{\Delta I_m}{I_m}$ )(%)	40	37	35,5	34	grad de excitatie 80%
	32	29	26	23,5	grad de excitatie 100 %

TABELUL nr.3

I(A)	80	120	160	180	200	250	300	
n(rot/min)	<u><math>n_1</math></u>	2250	1780	1525	1460	1375	1275	1180
	<u><math>n_2</math></u>	2075	1650	1450	1410	1330	1230	1145
$\frac{\Delta n}{n_2} = \frac{n_1 - n_2}{n_2}$	(%)	8,45	6,25	5,17	3,54	3,38	3,66	3,06

$n_1$  - se referă la alimentarea directă

$n_2$  - se referă la alimentarea prin varistor

TABELUL Nr.4

Locul de măsurare	Valori obținute (°C)	
	la alimentare prin variator	la alimentare directă
Înășurarea îndusului	97,5	91
Înășurarea de excentricitate	103	95
Înășurarea polilor auxiliari	95	78
Înășurarea de compensație	97	83

TABLEUL Nr.5

Insurătoare	Incalzirile rezultate ( $^{\circ}$ C)											
	Tipul motorului											MCW 806
	TN 73	TN 75	KCW 800	MCW 802	MCW 803	I	II	I	II	I	II	
I	II	I	II	I	II	I	II	I	II	I	II	III
Indusorul	107	93	79,5	73,1	100,4	98	97	96,5	79	73,5	70,1	64,8
de excitație	149	123	170,2	154,5	98	93,9	109,7	106,7	95	85	89,7	88,6
pollar surbilanță	120	97	85,2	79,7	76	74,5	63,7	61,2	99,5	92	109,1	98,2
de compen-	101	98,5	67,5	63,4	88,9	86,8	-	-	-	-	-	-
se și de.												

I - la alimentarea prin varistor ( $\beta = 0,95$  și grad de ondulare 20%)

II - la alimentarea directă

TABELUL Nr. 6

Mărimea determinată	Valearea obținută prin variator	Valearea obținută prin directă
Curentul (A)	178	178
Puterea utilă (W)	118.000	120.000
Rendementul (%)	90	91,12
Turărie (rot/min)	1410	1460
Cuplu (kgfm)	81,5	80
Pierderile în C u (W)	6871	6825
P <sub>N+F</sub> (W)	2945	2480

TABELUL Nr. 7

Intervalul de timp (s)	Accele- xile medii masu- rate m/s <sup>2</sup>	
	la schema cu variator	la schema cu reostat
0-2	0,7	0,35
2-4	1,16	1,02
4-6	1,11	1,53
6-8	1,04	1,14
8-10	0,35	0,42
10-12	0,565	0,635
12-14	0,45	0,52
14-16	0,22	0,29

B I B L I O G R A F I E

1. \*\*\* - Anwendungsmöglichkeiten von Frequenz-thyristoren aus der UdSSR. Mitteilung der Zentralen Leitstelle für Applikation Im Elektronikhandel Berlin.  
In : Elektrică, RDG, 25 nr.6 iunie 1971 p. 159.
2. Andrușciuk, V.v. - Analiz elektromagnitnih protsesov tiristornih Sirotns impulsnih preobrozovatelei.  
In: Elektrostro, URSS, nr.2, febr.1973 p.36-39.
3. Bihoi,Gh. - Contribuții la îmbunătățirea performanțelor locomotivelor Diesel-electrice prin slebirea continua a cîmpului motorielor electrice de tracțiune cu ex- citare serie, cu referire la locomotive Diesel elec- trică CFR 060-DA și 060-DA-1.  
Teză de doctorat . Timișoara 1974.
4. Bossi,J.H. Löcker, H.Winkler, K - Complexe de conver- tisseurs de traction sous caténaire à courant alternatif et continuu. In : Buletin de l'Association Suisse des Electriciens nr.1-1971 p.6-17.
5. Buckel, R,M - Répercussion de la Commande par thyristors d'engins-moteurs de Chemins de fer à courant continu cu alternatif sur des installations de telecommunications et de signalisation.  
In: Bulletin de l'AEI nr.1 1971, p.66-75.
6. Boileau,R. - L'électricité dans les transports.  
L'électricité et les transports sur rail. Le freinage électrique des engins de traction.  
In: Revue Générale de l'Électricité, France Tomul 52, nr.5, mai 1973 p.345-351.
7. Buyse,H, Woitrix, D.  
Accélération et freinage progressifs des véhicules électriques.  
In: Revue Générale de l'Électricité, France Tomul 52, mai 1973 p. 360 - 365.

...//...

8. Bochi, G. - Actionarea reversibila a motoarelor de c.c. cu tiristoare.  
In: Elettrificazione, Italia, nr.5 mai 1971 p.257-260.
9. Berlieux, R - Les thyristors, organes de commutation en courant continu.  
In: Revue Générale de l'Electricité ,Tomul 79, nr.11, dec. 1970 p.907 -913.
10. Botan, V.N. - Reglarea vitezei sistemelor de acționare electrice. Editura Tehnică, Bucuresti 1974.
11. Bogoevici, N, Brașovan, M, Seracinc E.  
Acționari electrice. Probleme și aplicări industriale.  
Ed. Tehnică Bucuresti 1963.
12. Brașovan, M, Seracinc , E.  
Metode noi de proiectare a acționarilor electrice.  
Ed. Academiei RSR Buc. 1968.
13. Beechler, U. - Répercussions causées par des véhicules moteurs alimentés par thyristors.  
In: Bulletin AEE nr.1, 1971 p.76-79.
14. Cassie, A - Compte rendu d'essais et de mesures à la S.N.C.F. sur des engines de traction équipés de hacheurs.  
In: Revue Générale de l'Electricité, France, nr.4, mai 1973 p.249 - 253.
15. Cassie, A - Les applications des thyristors en traction électrique.  
In: Revue Générale de l'Electricité, France nr.6 iunie 1971 p. 509-519.

..//..

16. Cheuprade, R - Les thyristors dans les systèmes de conversion d'énergie.  
In: Revue Générale de l'Electricité, France nr. 5 iunie 1971 p. 481-496.
17. Cochot, Marcel. - Le Véhicule électrique urbain.  
In: Revue Française de l'Electricité nr. 237, 1972 p. 29-31.
18. Cantemir, Lorin ; Oprisor, Mircea.  
Tracțiune electrică. Editura didactică și pedagogică Bucuresti 1971.
19. \*\*\* - CEI Publicație 77-1968.  
Règles applicables à l'appareillage électrique de traction.
20. \*\*\* - CEI Publicație 164 - 1964.  
Recommendations dans le domaine des grandeurs et unités utilisées en électricité.
21. \*\*\* - CEI Publicație 165 - 1973 - Règles pour les essais des véhicules moteurs de traction après achèvement et avant mise en service.
22. \*\*\* - CEI Publicație 349 - 1971 - Règles applicables aux machines électriques tournantes des véhicules ferroviaires et routiers.
23. Dierkens, F - Propositions sur des véhicules électriques.  
In: Electricité , Belgia, nr.147, 1971 p.37-40.
24. Dubois, R.  
Les thyristors, organes de commutation.  
Commutation à la fermeture.  
In: Revue Générale de l'Electricité , France, Tomul 79 nr.11, dec. 1970 p. 902-906.

25. Demidov, L.S - Repartiția curentului între tiristoarele conectorate în paralel.  
In: Elektrotehnika, URSS, nr.6, iunie 1973 p.8-11.
26. Dașkevici, B.A.  
Povisenie effektivnosti ispolzovenia elektriceskoi energii V elektrotransporte.  
In :Elektricestvo, URSS, nr.9, sept. 1972 p.15-19.
27. Döttor, K, Faust, W.  
Regleur électronique de c.c. pour un trolleybus  
In: Revue B.B.C. oct. 1966 p.180-187.
28. x x x - L'equipment électrique des nouvelles voitures articulées du pré-metro de la STIB.  
In: ACEC Revue nr.1 - 1973 p. 3-20.
29. Erler, K.  
Applikation von Linearmotoren im Transportwesen.  
In: Elektrie, RDG 25, nr.6, iunie 1971, p.211-212.
30. x x x - Elektrofahrzeuge in der BRD.  
In Elektrie, RDG 27, nr.5, mai 1973 p. 231-232.
31. x x x - Entwicklung von Elektromobilen.  
In - Elektrie, 27 nr.11, nov. 1973 p.570.
32. Efremov, I.S., Mosiagin, G.K. - Rozenfeld, E.U.  
O viberi optimelnogo neprisjelia dlia linii skorostnogo tramvaya.  
In: Elektricestvo URSS nr.10, oct.1972 p.73-78 .
33. Rirst, Antonin - Primenenie impulsnogo preabrozovatelya postolannogo toka V tramvaih tips F i KT.  
3-is mejdunarodnsie naucno, tehnicheskais konferenčie ob elektroonih avtomatizirovannih privodah.  
CSSR, Praga, oct. 1971.
34. Peller,F - Fortschritte bei der Futsstenerug von Gleisstromfahrmotorren.  
In: Elektrie, RDG, 25 nr.6, iunie 1971, p.223-225

35. Gouthiere, J, Gregoire, J, Hologne, H.  
Les magnétoirs à thyristors en traction électrique  
In: ACEC Revue nr. 2 - 1970.
36. Gaudichon, M- L'électricité dans les transports  
sur rail. Emploi des thyristors en traction électrique.  
In: Revue Générale de l'Electricité, France, Tomul  
82, nr.5, mai 1973 p 335-344.
37. Geiger, D.E.  
Duty cycle speed control of low inductance c.c.  
motors.  
In: Control Engineering, SUA, 20 nr. 11 nov. 1973  
p.69-71.
38. Glazemko, T.A.- Poluprovodnikovie preobrazovateli  
v elektrápričedah postojanlogé tóka.  
Ed. Energija, Leningradskor Otdelenie 1973.
39. Germanier, R și Hintze, H - Determination du circuit  
de puissance des véhicules moteurs à thyristors ali-  
mentés en courant alternatif.  
In: Bulletin ASE nr.1, 1971, p.46-54.
40. Hennebert, C.  
Essais et mesures de perturbations dues à une motrice  
à hacheur de courant.  
In: Revue, Générale de l'Electricité, France nr.4  
aprilie 1973, p.254-258.
41. Hvostov, S.V, Govrilov, J.IA - Vagon metropoliten  
s impulsnim reguliravaniem skorosté pri puske i  
termojenii.  
In: Elektricestvo, URSS nr.9, sept. 1972 p.19-25.
42. Ječny, F - Tyristorové rízení pohonu - cesta k  
racionalizaci spotreby energie.  
(Reglarea tiristorica a acțiunilor - calea rationa-  
lizării consumului de energie).  
In: Elektrotehnika, RSCS, nr.11, 1973 p.38-321.

43. Jacques, L - Les véhicules électriques. Apercu des réalisations actuelles.  
In: Bulletin - SRBE, Belgia, an 89, no.2, 1973 p.103-109.
44. Ječny Frantisek - Tyristorové rizení pohonných jednotek v tramvajové městské dopravě. Vyuzití energie v tramvajové městské dopravě. In: Elektrotechnik RSCS nr.5, mai 1973 p.126-129.
45. Kapustien, D.I. K. výboru shemi tiristornog preobrazovatelja elektrovazov peremennogo toka s recuperatiunim tormojeniem.  
In: Elektrotehnika, URSS, nr.6, 1973, p.5-9.
46. Kostka Vlastimil - Conceptie și reglarea acționarilor vehiculelor electrice.  
In: Elektrotehnika, Praha, nr.10, 1974 ,p.296-301.
47. Kill, E.- Die Elektrotechnik in spurgebundenen Verkehr der Zukunft.  
In: E.T.Z.A RFG, nr.12, 44, 1973, p.717-725.
48. Kolosnikov, M.V.- Obratimie preobrazovateli i nekotorie voprosi teorii venteluih shen.  
In: Elektricestvo, URSS nr9, sept.1972 p.30-36.
49. Klein, Denys - Les moteurs linéaires nouvelle Jeunesse des transports collectifs.  
In: Revue Française de l'Électricité nr.239, 1972 p.58-72.
50. Kelley, E.W., Foley P.E. - Semi-conducteurs de puissance pour engins moteurs à redresseurs de la Pen Central Transportation Co.  
In: Bulletin ASSE nr.1, 1971, p.35-43.

51. Kulikovskii A.A. - Sprevocinik po radio elektronike Tom 3 Izdatelstvo Energia, Moscow 1970.
52. Kosicka, M - Calculul caracteristicilor mecanice ale sistemelor tiristorizate de acționare electrice. In: Prace Instytutu Elektrotechniki RPB vol.23, nr. 88 p.109.
53. Leroy, J, Guiberaeu, S - Le hacheur de courant Kässer en traction, Realisations et perspectives d'avenir pour le métropolitain. In : Revue Générale de l'Electricité, France Tomul 82, nr.4, aprilie 1973, p. 243-248.
54. Ledenicnikov, A,L. Orlov, G.E. - K reschetu impulsnoi sistemi reguliroveniya elektriceskikh masin s ne ravno vremenennim modulatorom sirini impulsow. In: Elektricestvo nr.8, august 1972 p.65-69.
55. Leitenberger, W - Repercussion des automates commandées par thyristors sur le service des installations de signalisation et de télécommunications des voies ferroviaires. In: Bulletin ASE nr.1, 1971 p.80-81.
56. Lowe, T - Controlul variatoarelor cu tiristoare și introducerea curentului armonic în circuitele de cale. In: Proceedings of IEE, Anglia 1974 vol.121, nr.4 p.269.
57. Meyer, Monfred - Über die Kommutierung mit Kapazitivem Energiespeicher. In: E.T.Z. , RFG nr.2, febr. 1974, p. 9-85.
58. Mrez, František - Le sisteme de reglaje per impulsions a thyristors, du trolleybus Skoda. 3-ia mejdunrodnaisia nauchno - tehniceskaisa konferencija ob elektronsih avtomatizirovannyh privodakh. CSSR, Praha oct. 1971

59. Moser, E, Pinter, F - Hochleistungsmotoren fur elektrische Triebfahrzeuge.  
In: Bulletin ASE, Elveția, 65, nr.5 martie 1974 p.321-331.
60. Meyer, Monfred - Tiristoarele în practica. Mutatoare cu comutăție forțată.  
Editura Tehnică Bucuresti - 1970.
61. Möltgen , Gottfried - Tiristoarele în practica. Mutatoarele cu comutăție de la rețea.  
Ed.Tehnica, Bucuresti 1960.
62. x x x - Memoratorul inginerului electrician.  
Ed. Tehnica, Bucuresti, 1974.
63. Miklosi, Corneli și Sora, Constantion  
Tracțiunea electrică.  
Ed.de STAT didactica și pedagogica Bucuresti 1961.
64. Meyer, E. - Qu attendent les chemins de fer de l'utilisation des thyristors sur leurs Engins-moteurs  
In: Bulletin de l'Association Suisse des Electrocienrs nr.1, 1971, p.1-5.-
65. Moser, R - Le moteur de traction alimenté par redresseur contrôlé ou par hacheur.  
In: Bulletin ASE nr.1, 1971 p.19-28.
66. Miron D - Schema cu varistor de tensiune continuă pentru acționarea electrică a tramvaiului.  
Dosar OSIM nr. 81684/18.III.1975.
67. Miron D - Cu privire la unele aspecte tehnico-economice ale utilizării schemelor cu tiristoare în acționarea electrică a mijloacelor de transport în comun urbane  
In: Electrotehnica, Electronica și Automatica nr.1 Ian. 1976.
68. Miron D. - Contribuție privind studiul frânării elec-

trice a motorilor de curent continuu cu excitație serie utilizate la acționarea vehiculelor destinate transportului în comun urban în cazul alimentării acestora prin variații de tensiune continuă.

Comunicare susținuta la cea de-a XII-a sesiune de comunicari științifice a ICPE, Buc. 1976.

69. Miron D.

Cu privire la modificarea tuturor tuturor motorului e curent continuu cu excitație serie utilizat la acționarea electrică a vehiculelor prin slabirea timpului folosind scheme cu variator de tensiune continuă.

Comunicare susținuta la cea de-a XII-a Sesiune de comunicari Științifice a ICPE, Buc. 1976.

70. Meintz, K - Elektronische Gleichstromsteuerung von aus Fahleinrichtungen gespeisten Gleichstrom - Triebfahrzeugen.

In: E.T.Z. - A vol.187, nr.5 1966 p. 165-170.

71. Melellan, P - Variatoare cu tiristori care folosesc un condensator în puncte pentru comutare.

In: Proceedings of IEE, Anglia, 1975, vol.122, nr.5

72. Nikoloff, I - Stabilitätsprobleme bei Antrieben mit Gleichstromsteller für fahleinrichtungsgespeiste, Gleichstromtriebfahrzeuge.

In: Elektric, RDG, 26, nr.12 dec. 1972 p.269-371.

73. Nikoloff, I și alții.

Gleichstromstellerschaltungen mit Energierückspeisung aus dem Kommutierungskreis.

In: Elektric, RDG, nr.4, aprilie 1974, p.181-183.

74. Negrescu, A - Frecvențe optime la reglarea motorilor serie de curent continuu prin lajimi de impulsuri de tensiune.

Teza de doctorat 1970.

75. Oprisor, M., Diaconescu, M., Moga V.  
Reglarea în impulsuri a motorului serie de c.c.  
In: Buletinul Institutului Politehnic Iași fascicolele 3-4 1972 secția III, p -157-164.
76. Oprisor , M și colectiv - Caracteristicile de reglaj pentru o schema îmbunătățita de comanda a mașinii serie de curent continuu.  
In" Electrotehnica 2(1976) nr.7 ,p.259-263.
77. Pieškalov, V,D, Rogocev, A,I - Comande optime după pierderile de energie a unei acționari electrice pe principiul redresor comandat - motor.  
In: Elektromehanika, URSS, nr.10 oct. 1974, p.1162-1165
78. Pinciuk, I,S - Comanda separata a convertizorului în punte cu tiristoare debitind pe un motor de c.c.  
In: Elektrotehnika, URSS, vol.42, nr.10, oct.1971  
p. 15-17.
79. Peter, M.J - Die Grenzen des di/dt von Thyristoren und Schutzmethoden.  
In: Elektrie, RDG nr.6, iunie 1971 p.266-267.
80. Peter, M.J.  
L'evoluton des équipements électriques et électroniques sous l'influence des thyristors.  
In: Revue Generale de l'Electricite, Tomul 79, nr.11 dec. 1970, p.914-921.
81. Pezzani, R - Limites d'utilisation des thyristors, triacs et redresseurs de puissance en régime d'impulsions.  
In: L'electricien industriel, France, nr.2167, dec.1974  
p. 369-372.
82. Reiche,W - La commande des convertisseurs à courant In: ETZ- A, RDG, vol.95, nr.91 1974 p. 446-449.

83. Soledaho, IA

O vilișnii ventilnoge elektropriveda na pîtsiusciuiu set.

In: Elektrotehnika, RSS, nr. 10, 1974 p 35-38.

84. Scholtis, G - Comeuzi tiristorizate pentru acionari feroviare îñ c.c.

In: Modern Railways, Anglia, vol. 28 nr. 277 oct. 1971 p. 152-153.

85. Strelleom - Dowues, J.M. - Controlling speed with thyristor circuits.

In: Electrical Review, Anglia, nr. 19 aprilie 1974 p. 402-405.

86. Savescu M și a - Circuite electronice vol.III Ed. Tehnica, Bucuresti 1974.

87. x x x - Simposium über die Anwendung Sowjetischer thyristoren.

In: Elektrică, RDG nr. 9, sept. 1974, p. 451-458.

88. x x x - STAS 5679-68 Motoare electrice de curent continuu pentru tracțiunea urben. Condiții generale.

89. x x x - STAS 1893-72 Mașini electrice rotative. Condiții tehnice generale de calitate.

90. x x x - STAS 7814-73 - Mașini electrice de curent continuu. Metode de încercare.

91. x x x - Secowest, Italia  
Thyristors phase control applications switching applications 1974.

92. Strainescu Ion - Variator de curent continuu cu tiristoare. Dosar OSIM nr. 16.536/1974.

93. Strainescu, Ion și Dan , Ion  
Sistem și echipament pentru acționarea vehiculelor echipate cu două sau mai multe motoare de curent continuu cu excitare serie.  
Breve t de inventie nr. 79832.
94. Strainescu Ion - Contribuții la schemele automate optimale de acționare curent continuu - curent continuu în tractiunea electrice cu aplicație în tractiunea urbană în R.S. România.  
Teza de doctorat , Bucuresti 1974.
95. x x x - Trehgeznîi tiristornîi regulator postoionnogo toks.  
In: Biuletén tehniko - ikonomiceskoi informații, URSS, nr.9, 1974 p.37.
96. Thierolf, H - Drehzahlgeregelte Gleichstromantriebe  
In: EMA, RFG, Vol.53 nr.10, 1974 , p.284-288.
97. Timmel, H; Kabus, H.K.  
Bemerkungen Zür Zweipunktgeschwindigkeitsregelung von Linearmotorantrieben.  
In: Elektric, RDG nr.9, sept.1974 p.484-488.
98. Tunsoiu Gheorghe - Acționări și automatizări electrice Ed. Didactice și Pedagogice, Bucuresti 1968.
99. Venemaus, W.D - Traction en courant continu à Thyristors. Problèmes et expériences de N.S.  
In: Bulletin de l'Association Suisse des Electrotechniciens nr.1-1971 p.29-34.
100. Vondrášek, František - Impulsné preobratovateli a tocíki zrené s cestvou komutacijscego kontura.  
3-e Mejdunarodnaja naucijno - tehnicheskaja konferenčija po elektriceskim automatizirovannim privodam.  
Praga, oct. 1971.

101. \*\*\* - Les Véhicules électriques au Japon.  
In: "L'Électricité automobile et techniques spécialisées" nr. 419, oct. 1974, p. 37.
102. \*\*\* - La variation de vitesse des moteurs à courant alternatif de moyennes et grandes puissances par variateurs statiques de fréquence.  
In: ACEC Revue nr. 12, 1974.
103. Wagner, Rudolf - Thyristortechnik für Gleichstrombahnen  
In: Siemens Zeitschrift nr. 10, oct. 1974, p. 780-784.
104. Walter, K.; Wolf, G-U-Böhn- Zug mit Gleichstromstellern - Steuerung.  
In: Elektric, RDG 26, nr. 9, sept. 1972 p. 219.
105. Zwicky, R- Bases théoriques de l'influencement de circuits à <sup>courant</sup> faible par des engins-moteurs alimentés par thyristors.  
In : Bulletin ASE nr. 1, 1971, p. 45-55.
106. Proceedings.  
ninth national symposium on reliability quality control.  
San Francisco, janvier 1963
107. Proceedings.  
eighth national symposium on reliability quality control.  
San Francisco, janvier 1962.
108. Efremov U.C.,  
Metodika rasceta tormoznogo reostata v impulsnoi sisteme slediashcheego elektriceskogo termojenija.  
In: Elektricestvo nr. 8, aug. 1976 p. 46-50.